



図 2-2 作業動線と評価点（使用済燃料ピットへの通水確保（海水））



: 枠囲みの内容は防護上の観点から公開できません。



図 2-3 作業動線と評価点（原子炉補機冷却水系統への注水確保（海水））



: 枠囲みの内容は防護上の観点から公開できません。

3.屋内作業の扱いについて

事故後早期に操作を開始する屋内作業の中で最も長い作業時間は、運転員の作業の「Bーアニュラス空気浄化設備空気作動弁代替空気供給及びダンパ手動開操作」、「Bー充てんポンプ（自己冷却）系統構成・ベンディング・通水・流量調整」及び「可搬型格納容器内水素濃度計測ユニット起動準備・起動」の2時間5分である。これらの屋内作業は原子炉格納容器以外の遮蔽を考慮できることから、屋外作業に比べて被ばく線量率は低くなること、また、被ばく評価対象としている「燃料取替用水ピットへの補給（海水）」の4時間10分より短いことから、屋外作業である「燃料取替用水ピットへの補給（海水）」、「使用済燃料ピットへの注水確保（海水）」及び「原子炉補機冷却水系統への通水確保（海水）」の被ばく評価によって代表できていると考えている。

また、1.2項で評価対象作業として選定された屋外作業を実施する災害対策要員は、以下の表に示す屋内作業を実施するが、原子炉格納容器以外の遮蔽を考慮できることから、屋内作業による被ばくへの寄与は小さく、同一の災害対策要員が屋内外作業を実施しても作業期間中100mSvを下回る。

要員	屋内作業
災害対策要員A	非常用母線受電準備及び受電
災害対策要員B	非常用母線受電準備及び受電、蓄電池室換気系ダンパ開処置、コントロールセンタコネクタ差し替え、中央制御室非常用循環系ダンパ開処置
災害対策要員C	Bーアニュラス空気浄化設備空気作動弁代替空気供給及びダンパ手動開操作、Bー充てんポンプ（自己冷却）系統構成・ベンディング・通水
災害対策要員D	代替格納容器スプレイポンプ起動準備、蓄電池室換気系ダンパ開処置、コントロールセンタコネクタ差し替え、中央制御室非常用循環系ダンパ開処置

4.災害対策要員について

災害対策要員は、夜間及び休日においても7名が発電所に常駐している。

「燃料取替用水ピットへの補給（海水）」、「使用済燃料ピットへの注水確保（海水）」及び「原子炉補機冷却水系統への通水確保（海水）」は災害対策要員3名での作業を想定すると、余剰として災害対策要員4名を確保しており、被ばく線量の状況によっては交替することも可能である。

また、災害対策要員の勤務形態は、通常時から4班2交替のサイクルで運用していることから、比較的長時間が経過した後の屋外作業においては、現実的には発電所構外からの参集要員との交替も可能である。

5.長期的な作業の扱いについて

長期的な作業として、可搬型大型送水ポンプ車及び代替非常用発電機への燃料補給作業があるが、これらの作業については、参集要員による交替が可能であり、適切な線量管理の下、作業を継続していくことが可能である。

原子炉格納容器への核分裂生成物の放出割合の設定について

本評価では、原子炉格納容器への核分裂生成物の放出割合の設定について、重大事故時までの洞察を含む米国の代表的なソースタームである NUREG-1465 に示された放出割合、放出時間を用いている。

1. NUREG-1465 の放出割合、放出時間の適用性について

NUREG-1465¹のソースタームは、燃料被覆管破損時点より、原子炉容器が破損しデブリが炉外に放出される状態に至るまでを対象としたものであり、本評価で想定している事故シーケンスと同様のシーケンスについても対象に含まれている。NUREG-1465 で対象としているシーケンスを第 1 表に示す。

第 1 表 NUREG-1465 で対象としているシーケンス

Table 3.2 PWR Source Term Contributing Sequences

Plant	Sequence	Description		
Surry	AG	LOCA (hot leg), no containment heat removal systems		
	TMLB'	LOOP, no PCS and no AFWS		
	V	Interfacing system LOCA		
	S3B	SBO with RCP seal LOCA		
	S2D-δ	SBLOCA, no ECCS and H ₂ combustion		
	S2D-β	SBLOCA with 6" hole in containment		
Zion	S2DCR	LOCA (2"), no ECCS no CSRS		
	S2DCF1	LOCA RCP seal, no ECCS, no containment sprays, no coolers—H ₂ burn or DCH fails containment		
	S2DCF2	S2DCF1 except late H ₂ or overpressure failure of containment		
	TMLU	Transient, no PCS, no ECCS, no AFWS—DCH fails containment		
Oconee 3	TMLB'	SBO, no active ESF systems		
	S1DCF	LOCA (3"), no ESF systems		
Sequoyah	S3HF1	LOCA RCP; no ECCS, no CSRS with reactor cavity flooded		
	S3HF2	S3HF1 with hot leg induced LOCA		
	3HF3	S3HF1 with dry reactor cavity		
	S3B	LOCA (½") with SBO		
	TBA	SBO induces hot leg LOCA—hydrogen burn fails containment		
	ACD	LOCA (hot leg), no ECCS no CS		
	S3B1	SBO delayed 4 RCP seal failures, only steam driven AFW operates		
	S3HF	LOCA (RCP seal), no ECCS, no CSRS		
	S3H	LOCA (RCP seal) no ECC recirculation		
	SBO	Station Blackout	LOCA	Loss of Coolant Accident
	RCP	Reactor Coolant Pump	DCH	Direct Containment Heating
	PCS	Power Conversion System	ESF	Engineered Safety Feature
	CS	Containment Spray	CSRS	CS Recirculation System
	ATWS	Anticipated Transient Without Scram	LOOP	Loss of Offsite Power

NUREG-1465 では、重大事故時に炉心から原子炉格納容器へ放出される核分裂生成物の割合について第 2 表のような事象進展各フェーズに対する放出割合、放出時間を設定している。

¹ Accident Source Terms for Light-Water Nuclear Power Plants

NUREG-1465 の中でも述べられているように、NUREG-1465 のソースタームは炉心溶融に至る種々の事故シーケンスを基にした代表的なソースタームである。特に、炉心損傷後に環境に放出される放射性物質が大きくなる観点で支配的なシーケンスとして、本評価で対象としている「大破断 LOCA 時に ECCS 注入及び CV スプレイ注入を失敗するシーケンス」を含む低圧シーケンスを代表するよう設定されたものである。

第 2 表 原子炉格納容器への放出期間及び放出割合 (NUREG-1465 Table3.13)

	Gap Release***	Early In-Vessel	Ex-Vessel	Late In-Vessel
Duration (Hours)	0.5	1.3	2.0	10.0
Noble Gases**	0.05	0.95	0	0
Halogens	0.05	0.35	0.25	0.1
Alkali Metals	0.05	0.25	0.35	0.1
Tellurium group	0	0.05	0.25	0.005
Barium, Strontium	0	0.02	0.1	0
Noble Metals	0	0.0025	0.0025	0
Cerium group	0	0.0005	0.005	0
Lanthanides	0	0.0002	0.005	0

* Values shown are fractions of core inventory.

** See Table 3.8 for a listing of the elements in each group

*** Gap release is 3 percent if long-term fuel cooling is maintained.

事象進展の各フェーズは大きく以下のように整理されている。

・ Gap-Release/Early In-Vessel

燃料被覆管損傷後のギャップからの放出 (Gap-Release) と、燃料の溶融に伴う原子炉容器損傷までの炉心からの放出 (Early In-Vessel) を想定。

・ Ex-Vessel/Late In-Vessel

原子炉容器損傷後、炉外の溶融炉心からの放出 (Ex-Vessel) 及び 1 次系に沈着した核分裂生成物の放出 (Late In-Vessel) を想定。

事象が発生してから炉心が溶融を開始し、原子炉容器が破損する事象進展のタイミングについて、MAAP を用いた泊発電所 3 号炉の解析結果と NUREG-1465 の想定を比較すると、第 3 表のとおりとなる。

第 3 表 溶融開始から原子炉容器が破損するまでのタイミングの比較

	燃料被覆管損傷が開始し、ギャップから放射性物質が放出される期間	炉心溶融が開始し、溶融燃料が原子炉容器を破損するまでの期間
MAAP 解析結果	0～約 19 分	約 19 分～約 1.6 時間
NUREG-1465	0～30 分	30 分～1.8 時間

炉心溶融開始及び原子炉容器破損のタイミングについては、ほぼ同じであり、核分裂生成物が大量に放出される初期の事象進展に大きな差がないと判断している。

NUREG-1465 のソースタームは、低燃焼度燃料を対象にしている。そのため、米国において、 NUREG-1465 のソースターム（以下、「更新ソースターム」という。）を高燃焼度燃料及び MOX 燃料に適用する場合の課題に関し、1999 年に第 461 回 ACRS(Advisory Committee on Reactor Safeguards) 全体会議において議論がなされている。そこでは、ACRS から、高燃焼度燃料及び MOX 燃料への適用について判断するためには解析ツールの改良及び実験データの収集が必要とコメントがなされている。これに対し、NRC スタッフは、実質的にソースタームへの影響はないと考えられると説明している。

その後、各放出フェーズの継続時間及び各核種グループの放出割合に与える影響等について専門家パネルでの議論が行われており、その結果が ERI/NRC 02-202² (2002 年 11 月) にまとめられ公開されている。この議論の結果として、以下に示す通り、解決すべき懸案事項が挙げられているものの、高燃焼度燃料及び MOX 燃料に対しても更新ソースタームの適用について否定されているものではない。

Finally, there is a general expectation that the physical and chemical forms of the revised source terms as defined in NUREG-1465 are applicable to high burnup and MOX fuels.

(ERI/NRC 02-202 第 4 章)

議論された高燃焼度燃料は、燃料集合体の最大燃焼度 75 GWd/t、炉心の平均燃焼度 50 GWd/t を対象としている。

専門家パネルの議論の結論として示された、各フェーズの継続時間及び格納容器内への放出割合について、添付資料 1 の第 1-1 表及び第 1-2 表に示す (ERI/NRC 02-202 Table 3.1 及び Table 3.12)。表のカッコ内の数値は、NUREG-1465 の値を示している。また、複数の数値が同一の欄に併記されているのは、パネル内で単一の数値が合意されなかった場合における各専門家の推奨値である。それぞれの核種について NUREG-1465 と全く一致しているとは限らないが、NUREG-1465 から大きく異なるような数値は提案されていない。

以上の議論の結果として、ERI/NRC 02-202 では、引用した英文のとおり高燃焼度燃料に対しても NUREG-1465 のソースタームを適用できると結論付けている。

なお、米国の規制基準である Regulatory Guide の 1.183 においては、NUREG-1465 記載の放出割合を燃料棒で最大 62 GWd/t までの燃焼度の燃料まで適用できるものと定めている。

² ACCIDENT SOURCE TERMS FOR LIGHT-WATER NUCLEAR POWER PLANTS:HIGH BURNUP AND MIXED OXIDE FUELS

3.2 Release Fractions¹⁰

The core inventory release fractions, by radionuclide groups, for the gap release and early in-vessel damage phases for DBA LOCA are listed in Table 1 for BWRs and Table 2 for PWRs. These fractions are applied to the equilibrium core inventory described in Regulatory Position 3.1.

For non-LOCA events, the fractions of the core inventory assumed to be in the gap for the various radionuclides are given in Table 3. The release fractions from Table 3 are used in conjunction with the fission product inventory calculated with the maximum core radial peaking factor.

¹⁰ The release fractions listed here have been determined to be acceptable for use with currently approved LWR fuel with a peak burnup up to 62,000 MWD/MTU. The data in this section may not be applicable to cores containing mixed oxide (MOX) fuel.

その後も更新ソースタームを高燃焼度燃料や MOX 燃料に適用する場合の課題に対して検討が行われており、2011 年 1 月には、サンディア国立研究所から報告書が出されている (SAND2011-0128³)。

高燃焼度燃料及び MOX 燃料の放出割合は、添付資料 1 の第 1-3 表及び第 1-4 表に示すとおり、低燃焼度燃料のそれと著しく異なるものではないことが示されている。このことから、現段階においては、NUREG-1465 の高燃焼度燃料や MOX 燃料の適用について否定されるものではないと考える。第 4 表にそれらのデータを整理する。

第 4 表 全放出期間での格納容器への放出割合の整理

	NUREG-1465	ERI/NRC 02-202 (高燃焼度燃料)※	ERI/NRC 02-202 (MOX 燃料)※	SAND 2011-0128 (高燃焼度燃料)	SAND 2011-0128 (MOX 燃料)
希ガス類	1.0	1.0	1.0	0.97	0.96
よう素類	0.75	0.85	0.82	0.60	0.62
Cs 類	0.75	0.75	0.75	0.31	0.55

※ 複数の値が提示されているため、平均値を使用した。

以上のように、解決すべき懸案事項があるものの、現在の知見では、高燃焼度燃料及び MOX 燃料に対しても更新ソースタームを否定されているものではないことが Regulatory Guide 1.183, ERI/NRC 02-202 及び Sandia Report に示されている。

泊発電所 3 号炉の燃料集合体の最高燃焼度は、ウラン燃料で 55 GWd/t, MOX 燃料で 45 GWd/t であることから、ERI/NRC 02-202 における適用範囲、燃料集合体の最高燃焼度 75 GWd/t 及び Sandia Report の適用範囲、燃料集合体最高燃焼度 59 GWd/t と比較し適用の範囲内にある。また、泊発電所 3 号炉の燃料棒最高燃焼度はウラン燃料で 61 GWd/t, MOX 燃料で 53 GWd/t であり、Regulatory Guide 1.183 に示される適用範囲、燃料棒最高燃焼度 62 GWd/t の範囲内にある。こ

³ Accident Source Terms for Light-Water Nuclear Power Plants Using High-Burnup or MOX Fuel

のため、泊発電所3号炉に対し、使用を否定されていない更新ソースタームの適用は可能と判断される。

ERI/NRC 02-202 に示された放出割合の数値については、専門家の意見も分かれていること、Sandia Report 記載の数値についても、MOX 燃料については単一の格納容器の型式を対象とした解析にとどまっており、米国 NRC にオーソライズされたものではないことを考慮し、今回の評価においては、NUREG-1465 の数値を用いた。

2. 今回の評価モデルでの評価と MAAP 解析での評価の比較について

2.1 原子炉格納容器外への放出割合について

「大破断 LOCA 時に ECCS 注入及び CV スプレイ注入を失敗するシーケンス」における原子炉格納容器外への放出割合について、今回の評価モデルでの評価結果と MAAP 解析での評価結果についての比較を第 5 表に、また、比較方法を第 6 表に示す。

今回の評価では、NUREG-1465 に示されている割合で原子炉格納容器に放出された後、エアロゾルについては、原子炉格納容器等への沈着や代替格納容器スプレイによる除去を考慮し、原子炉格納容器外への放出割合を算出している。

一方、MAAP コードでは、内蔵された評価式により、原子炉格納容器気相部からのエアロゾルの沈着による除去効果として水蒸気凝縮に伴う壁面・水面への沈着、重力沈降等を模擬しており、原子炉格納容器内気相部温度等を用いて、原子炉格納容器外への放出割合を算出している。

炉心から原子炉格納容器内への放出割合については、今回の評価結果を MAAP コードによる評価結果と比較すると、数値が小さい核種もあり、すべての核種に対しては保守的ではない。しかし、放出放射能量評価に直接寄与する原子炉格納容器外への放出割合について、今回の評価結果を MAAP コードによる評価結果と比較すると、数値が大きくなっている。これは、MAAP コードに内蔵されたエアロゾルの自然沈着等の評価式による低減効果が、今回の評価での低減効果に比べて大きいためである。よって、原子炉格納容器への核分裂生成物の放出割合の設定については、米国の代表的なソースタームである NUREG-1465 に示された放出割合を用いることで保守的に評価できると考える。

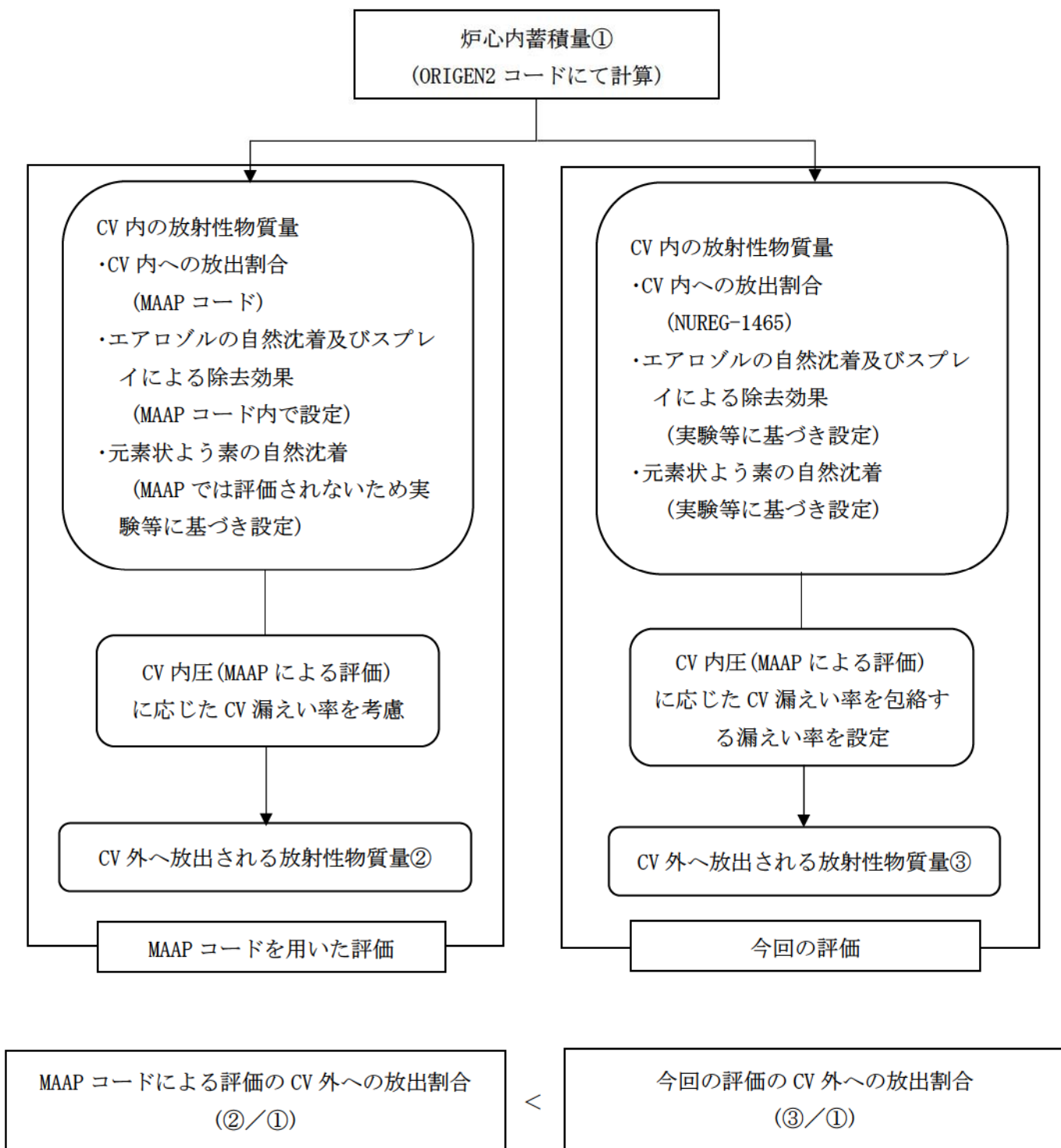
第5表 MAAP コードによるソースターム解析をした評価結果と今回の評価結果の比較

核種グループ	本評価で用いたモデル	MAAP 解析* 2
希ガス類	約 1.1×10^{-2}	約 9.6×10^{-3}
よう素類	約 3.6×10^{-4}	約 3.0×10^{-4}
Cs 類	約 2.0×10^{-4}	約 1.9×10^{-5}
Te 類	約 8.0×10^{-5}	約 1.5×10^{-5}
Ba 類	約 3.2×10^{-5}	約 6.9×10^{-7}
Ru 類	約 1.3×10^{-6}	約 1.3×10^{-6}
Ce 類	約 1.4×10^{-6}	約 4.7×10^{-8}
La 類	約 1.4×10^{-6}	約 7.4×10^{-9}

* 1 表における割合の数値は、有効数値 3 桁目を四捨五入し 2 桁に丸めた値

* 2 Cs のように複数の化学形態 (CsI, CsOH グループ) を有する核種については、Cs の炉心内蓄積量に対するそれぞれの化学形態グループの放出割合を合計している。

第6表 MAAP コードによる放出量と本評価による放出量の比較方法



2.2 原子炉格納容器内の線源強度等について

MAAP 解析では、原子炉格納容器内を多区画に分割しており、原子炉格納容器内の各区画に対して固有の線源強度を設定することが可能となる。これにより、遮蔽体としては、原子炉格納容器内の遮蔽構造物（1次遮蔽、2次遮蔽等）を考慮した現実的な遮蔽を考慮したモデルを設定することができる。

一方、本評価で用いたモデルでは、原子炉格納容器内を1つの区画としたモデルを設定し、原子炉格納容器内の線源に対して代替格納容器スプレイによる原子炉格納容器の下部区画への移行を考慮し、上部区画及び下部区画に均一に分布した線源強度を設定している。また、遮蔽体としては、外部遮蔽のみを考慮したモデルとしている。

MAAP 解析において、原子炉格納容器内の遮蔽構造物による現実的な遮蔽効果を考慮した場合、遮蔽構造物に囲まれている区画の線量の低減効果が大きく、直接線及びスカイシャイン線の観点で線量に寄与する領域は上部区画となる。

直接線及びスカイシャイン線の線源強度について、本評価で用いたモデルでの下部区画へ移行した放射性物質を除いた線源強度と、MAAP 解析での上部区画の線源強度の比較を行った。結果を第7表に示す。

第7表 原子炉格納容器内の線源強度における
本評価で用いたモデルでの評価と MAAP 解析での評価の比較

項目	本評価で用いたモデル	MAAP 解析
線源強度 (MeV)	約 3.1×10^{24}	約 2.5×10^{24}

第7表に示すとおり、本評価で用いたモデルでの直接線及びスカイシャイン線の評価が線源強度の観点でより保守的な値となっている。更に本評価で用いたモデルの評価では、下部区画へ移行した放射性物質に対して外部遮蔽以外の遮蔽構造物の遮蔽効果を見込んでいない。

2.1及び2.2より、本評価で用いたモデルでの評価は、MAAP 解析での評価と比較して保守的に評価できる。

第 1-1 表 ERI/NRC 02-202 における格納容器への放出 (高燃焼度燃料)

Table 3.1 PWR Releases Into Containment (High Burnup Fuel)^a

Duration (Hours)	Gap Release	Early In-Vessel	Ex-Vessel	Late In-Vessel
	0.4 (0.5) ¹	1.4 (1.3)	2.0 (2.0)	10.0 (10.0)
Noble Gases	0.05; 0.07; 0.07; 0.07; NE ³ (0.05)	0.63, 0.63; 0.63; 0.65; 1.0TR (0.95)	0.3 (0)	0 (0)
Halogens	0.05 (0.05)	0.35; 0.95TR (0.35)	0.25 (0.25)	0.2 (0.1)
Alkali Metals	0.05 (0.05)	0.25; 0.90TR (0.25)	0.35 (0.35)	0.1 (0.1)
Tellurium group	0.005 (0)	0.10; 0.30; 0.30; 0.35, 0.7TR (0.05)	0.40 (0.25)	0.20 (0.005)
Barium, Strontium	0 (0)	0.02; ^{note 4} (0.02)	0.1 (0.1)	0 (0)
Noble Metals	(0)	(0.0025)	(0.0025)	(0)
Mo, Tc	0	0.15; 0.2; 0.2; 0.2; 0.7TR ²	0.02; 0.02; 0.2; 0.2; TR	0; 0; 0.05; 0.05, TR
Ru, Rh, Pd	0	0.0025; 0.0025; 0.01; 0.01; 0.02TR	0.0025; 0.02; 0.02; 0.02; TR	0.01; 0.01; 0.01; 0.10, TR
Cerium group	(0)	(0.0005)	(0.005)	(0)
Ce	0	0.0002, 0.0005; 0.01; 0.01; 0.02TR	0.005; 0.005, 0.01; 0.01; TR	0
Pu, Zr	0	0.0001; 0.0005; 0.001; 0.002; 0.002TR	0.005, 0.005; 0.01; 0.01; TR	0
Np	0	0.001; 0.01; 0.01; 0.01; 0.02TR	0.005; 0.005; 0.01; 0.01; TR	0
Lanthanides (one group) ⁵	0; 0; 0; (0)	0.0005; 0.002; 0.01 (0.0002)	0.005; 0.01; 0.01 (0.005)	0; 0; 0 (0)
La, Eu, Pr, Nb	0; 0	0.0002; 0.02TR	0.005; TR	0; TR
Y, Nd, Am, Cm	0; 0	0.0002; 0.002TR	0.005; TR	0; TR
Nb	0; 0	0.002; 0.002TR	0.005; TR	0; TR
Pm, Sm	0; 0	0.0002; 0.002TR	0.005; TR	0, TR

^a Note that it was the panel's understanding that only about 1/3 of the core will be high burnup fuel. This is a significant deviation from the past when accident analyses were performed for cores that were uniformly burned usually to 39 GWd/t

¹ The numbers in parenthesis are those from NUREG-1465, Accident Source Terms for PWR Light-Water Nuclear Power Plants (Table 3.13).

² TR = total release. The practice in France is to assign all releases following the gap release phase to the early in-vessel phase.

³ NE=No entry; the panel member concluded that there was insufficient information upon which to base an informed opinion.

⁴ Barium should not be treated the same as Strontium. There is experimental evidence that barium is much more volatile than strontium. VERCORS and HU/VI (ORNL) experiments cited; these show a 50% release from the fuel and a 10% delivery to the containment. Strontium has a 10% release from fuel and 2% to the containment, based upon all data available to date.

⁵ Three panel members retained the NUREG-1465 lanthanide grouping, e.g., one group, while two panel members subdivided the group into four subgroups.

第 1-2 表 ERI/NRC 02-202 における格納容器への放出 (MOX 燃料)

Table 3.12 MOX Releases Into Containment⁴

Duration (Hours)	Gap Release	Early In-Vessel	Ex-Vessel	Late In-Vessel
	0.3; 0.4; 0.4; 0.4, 0.4 (0.5) ¹	1.4; 1.4; 1.4; 1.4; 1.5 (1.3)	2.0 (2.0)	10.0 (10.0)
Noble Gases	0.05, 0.05, 0.05; 0.05; 0.07 (0.05)	0.65; 0.65; 0.75; 0.93; 0.95 TR ² (0.95)	0, 0.2; 0.3, 0.3; TR (0)	0 (0)
Halogens	0.05; 0.05; 0.05; 0.05; 0.07 (0.05)	0.325; 0.35; 0.35, 0.375; 0.95TR (0.35)	0.15; 0.2; 0.25; 0.25; TR (0.25)	0.2; 0.2; 0.2; 0.2; TR (0.1)
Alkali Metals	0.05; 0.05; 0.05; 0.05; 0.07 (0.05)	0.25; 0.30; 0.30; 0.30; 0.65TR (0.25)	0.25; 0.25; 0.30; 0.30; TR (0.35)	0.10, 0.15; 0.15, 0.15, TR (0.1)
Tellurium group	0; 0; 0; 0.005; 0.005 (0)	0.1; 0.15; 0.3; 0.35; 0.7TR (0.05)	0.4; 0.4; 0.4; 0.4; TR (0.25)	0.1; 0.2; 0.2; 0.2; TR (0.005)
Barium, Strontium	NE ³ , NE, NE; 0, 0 (0)	NE, NE, NE; 0.01; 0.1 (0.02)	NE, NE, NE; 0.1; 0.1 (0.1)	NE, NE, NE; 0; 0.05 (0)
Noble Metals	(0)	(0.0025)	(0.0025)	(0)
Mo, Tc	NE, NE, NE; 0, 0	NE, NE, NE; 0.1; 0.1	NE, NE, NE; 0.01, 0.01	NE, NE, NE; 0.1; 0.1
Ru, Rh, Pd	NE, NE, NE; 0, 0	NE, NE, NE; 0.05; 0.1	NE, NE, NE; 0.01; 0.01	NE, NE, NE; 0.01, 0.01
Cerium group	(0)	(0.0005)	(0.005)	(0)
Ce	NE, NE, NE; 0, 0	NE, NE, NE; 0.01	NE, NE, NE; 0.01; 0.01	NE, NE, NE; NE, 0
Pu, Zr	NE, NE, NE, 0, 0	NE, NE, NE; NE; 0.001	NE, NE, NE; 0.001; 0.001	NE, NE, NE; NE; 0
Np	NE, NE, NE; 0, 0	NE, NE, NE; NE; 0.01	NE, NE, NE; 0.01; 0.02	NE, NE, NE; NE; 0
Lanthanides	NE, NE, NE; 0, 0 (0)	NE, NE, NE; NE; 0.005 (0.0002)	NE, NE, NE, NE; 0.01 (0.005)	NE, NE, NE; NE; 0 (0)

¹ The numbers in parenthesis are those from NUREG-1465, Accident Source Terms for PWR Light-Water Nuclear Power Plants (Table 3.13).

² TR = total release. The practice in France is to not divide the source term into early in-vessel, ex-vessel, and late in-vessel phases.

³ NE = No entry; the panel member concluded that there was insufficient information upon which to base an informed opinion.

⁴ The values in Table 3.12 are for releases from the MOX assemblies in the core and not from the LEU assemblies.

第1-3表 SAND2011-0128における格納容器への放出（高燃焼度燃料）

Table 13. Comparison of PWR high burnup durations and release fractions (bold entries) with those recommended for PWRs in NUREG-1465 (parenthetical entries).

	Gap Release	In-vessel Release	Ex-vessel Release	Late In-vessel Release
Duration (hours)	0.22 (0.5)	4.5 (1.5)	4.8 (2.0)	143 (10)
Release Fractions of Radionuclide Groups				
Noble Gases (Kr, Xe)	0.017 (0.05)	0.94 (0.95)	0.011 (0)	0.003 (0)
Halogens (Br, I)	0.004 (0.05)	0.37 (0.35)	0.011 (0.25)	0.21 (0.10)
Alkali Metals (Rb, Cs)	0.003 (0.05)	0.23 (0.25)	0.02 (0.35)	0.06 (0.10)
Alkaline Earths (Sr, Ba)	0.0006 (0)	0.004 (0.02)	0.003 (0.10)	- (-)
Tellurium Group (Te, Se, Sb)	0.004 (0)	0.30 (0.05)	0.003 (0.25)	0.10 (0.005)
Molybdenum (Mo, Tc, Nb)	-	0.08 (0.0025)	0.01 (0.0025)	0.03 (0)
Noble Metals (Ru, Pd, Rh, etc.)	-	0.006 (0.0025)	[0.0025]	-
Lanthanides (Y, La, Sm, Pr, etc.)	-	1.5×10^{-7} (2×10^{-4})	1.3×10^{-5} (0.005)	-
Cerium Group (Ce, Pu, Zr, etc.)	-	1.5×10^{-7} (5×10^{-4})	2.4×10^{-4} (0.005)	-

第1-4表 SAND2011-0128における格納容器への放出（MOX燃料）

Table 16. Comparison of proposed source term for an ice-condenser PWR with a 40% MOX core (bold entries) to the NUREG-1465 source term for PWRs (parenthetical entries).

	Gap Release	In-vessel Release	Ex-vessel Release	Late In-vessel Release
Duration (hours)	0.36 (0.50)	4.4 (1.3)	6.5 (2.0)	16 (10)
Release Fractions of Radionuclide Groups				
Noble Gases (Kr, Xe)	0.028 (0.050)	0.86 (0.95)	0.05 (0)	0.026 (0)
Halogens (Br, I)	0.028 (0.050)	0.48 (0.35)	0.06 (0.25)	0.055 (0.10)
Alkali Metals (Rb, Cs)	0.014 (0.050)	0.44 (0.25)	0.07 (0.35)	0.025 (0.10)
Alkaline Earths (Sr, Ba)	-	0.0015 (0.020)	0.008 (0.1)	9×10^{-5} (0)
Tellurium Group (Te, Se, Sb)	0.014 (0)	0.48 (0.05)	0.04 (0.25)	0.055 (0.005)
Molybdenum (Mo, Tc, Nb)	-	0.27 (0.0025)	[0.0025]	0.024 (0)
Noble Metals (Ru, Pd, Rh, etc.)	-	0.005 (0.0025)	[0.0025]	3×10^{-4} (0)
Lanthanides (Y, La, Sm, Pr, etc.)	-	1.1×10^{-7} (0.0002)	3×10^{-5} (0.005)	-
Cerium Group (Ce, Pu, Zr, etc.)	-	1.0×10^{-7} (0.0005)	5×10^{-4} (0.005)	-

(添付資料 2)

各核種グループの内訳について

NUREG-1465 の高燃焼度燃料及び MOX 燃料の適用については、現在の知見では、否定されるものではないものの、高燃焼度燃料及び MOX 燃料に対する NUREG-1465 の適用に関する専門家での議論の中で、NUREG-1465 に比べて大きな放出割合が提案されている核種グループもある。本評価で用いたモデルでの評価において、各核種グループの内訳を確認する。

環境に放出される放射性物質について、NUREG-1465 に示される各核種グループの内訳として I-131 等価量換算値を第 2-1 表に、ガンマ線エネルギー 0.5MeV 換算値を第 2-2 表に示す。MOX 燃料に対する NUREG-1465 の適用に関する専門家での議論の中で、NUREG-1465 に比べて大きな放出割合が提案されている Te 類や Ru 類については、大気中への放射性物質における寄与割合は小さく、本評価の観点には大きな影響を及ぼすものではない。

第 2-1 表 環境に放出される放射性物質の
各核種グループの内訳 (I-131 等価量換算)

核種グループ	放出放射能量 ^(注1, 2) (Bq)	内訳 (%)
希ガス類	約 0.0×10^0	0
よう素類	約 8.2×10^{13}	55
Cs 類	約 1.7×10^{13}	12
Te 類	約 3.8×10^{12}	3
Ba 類	約 6.1×10^{12}	4
Ru 類	約 5.9×10^{11}	<1
Ce 類	約 2.2×10^{13}	15
La 類	約 1.7×10^{13}	12
合計	約 1.5×10^{14}	100

(注 1) 7 日間積算放出量

(注 2) 有効数値 3 桁目を四捨五入し 2 桁に丸めた値

第 2-2 表 環境に放出される放射性物質の
各核種グループの内訳 (γ 線エネルギー 0.5 MeV 換算)

核種グループ	放出放射能量 ^(注1, 2) (Bq)	内訳 (%)
希ガス類	約 8.7×10^{15}	91
よう素類	約 6.7×10^{14}	7
Cs 類	約 1.7×10^{14}	2
Te 類	約 3.1×10^{13}	<1
Ba 類	約 1.7×10^{13}	<1
Ru 類	約 9.9×10^{11}	<1
Ce 類	約 1.1×10^{12}	<1
La 類	約 2.9×10^{12}	<1
合計	約 9.5×10^{15}	100

(注 1) 7 日間積算放出量

(注 2) 有効数値 3 衔目を四捨五入し 2 衔に丸めた値

よう素の化学形態の設定について

本評価では、よう素の化学形態に対する存在割合として R.G.1.195 “Methods and Assumptions for Evaluating Radiological Consequences of Design Basis Accidents at Light Water Nuclear Power Reactors” で示されたよう素の存在割合を用いている。

原子炉格納容器への核分裂生成物の放出割合の設定に用いた NUREG-1465 にもよう素の化学形態に対する存在割合についての記載があるが、原子炉格納容器内の液相の pH が 7 以上の場合とされている。(放出全よう素のうち元素状よう素は 5 %を超えないこと、有機よう素は元素状よう素の 3 % (0.15 %) を超えない (95 %が粒子状))。

本評価で想定するシーケンスのように、既設の格納容器スプレイの喪失も想定し、pH 調整がされない可能性がある場合には、元素状よう素への転換割合が大きくなるとの知見もあり、元素状よう素の存在割合が大きくなれば有機よう素の存在割合も大きくなる。元素状よう素は CV 内での自然沈着により一定の低減効果が見込めるのに対し、有機よう素は同様の低減効果を見込めないことから、原子炉格納容器外部への放出の観点からは有機よう素の形態が重要であることを踏まえ、本評価ではよう素の化学形態毎の存在割合の設定について以下のとおり検討、設定した。

NUREG-1465 では、よう素の化学形態毎の存在割合に関して pH<7 の場合での直接的な値の記述はないが、よう素の化学形態毎の設定に関して、NUREG/CR-5732 ” Iodine Chemical Forms in LWR Severe Accidents ” を引用している。NUREG/CR-5732 では、pH とよう素の存在割合に係る知見として、pH の低下に伴って元素状よう素への転換割合が増加する知見を示すとともに、pH 調整がなされる場合及びなされない場合それぞれについて、重大事故時のような素の化学形態に関して複数のプラントに対する評価を行っている。

pH 調整がなされている場合の結果を第 1 表、pH 調整がなされない場合の結果を第 2 表に示す。PWR でドライ型格納容器を持つ Surry の評価結果では、pH が調整されている場合は、ほぼ全量が I^- となって粒子状よう素になるのに対して、pH が調整されていない場合には、ほぼ全量が元素状よう素となる。また、有機よう素についても、非常に小さい割合であるが、pH 調整されている場合よりも、pH 調整されていない場合のほうが、より多くなる結果が示されている。

第1表 重大事故時のpH調整した場合のよう素化学形態
(NUREG/CR-5732, Table 3.6)

Table 3.6 Distribution of iodine species for pH controlled above 7

Plant	Accident	Fraction of total iodine in containment (%)			
		I ₂ (g)	I ₂ (ℓ)	I ⁻ (ℓ)	CH ₃ I (g)
Grand Gulf	TC γ TQUV γ	0.05 0.01	0.03 0.03	99.92 99.96	0.001 0.0003
Peach Bottom	AE γ TC2 γ	0.002 0.02	0.03 0.03	99.97 99.95	0.0001 0.0004
Sequoyah	TBA	0.21	0.03	99.76	0.004
Surry	TMLB' γ AB γ	1.9 2.4	0.03 0.03	98.0 97.5	0.03 0.03

第2表 重大事故時のpH調整を考慮しない場合のよう素化学形態
(NUREG/CR-5732, Table 3.7)

Table 3.7 Distribution of iodine species for uncontrolled pH

Plant	Accident	Fraction of total iodine in containment (%)			
		I ₂ (g)	I ₂ (ℓ)	I ⁻ (ℓ)	CH ₃ I (g)
Grand Gulf	TC γ TQUV γ	26.6 6.6	15.3 18.3	58.0 75.1	0.2 0.06
Peach Bottom	AE γ TC2 γ	1.6 10.9	21.6 18.0	76.8 71.0	0.01 0.07
Sequoyah	TBA	69.2	9.9	20.5	0.4
Surry	TMLB' γ AB γ	97.1 97.6	1.5 1.2	0.7 0.6	0.7 0.6

このように、重大事故時の環境条件を考慮した今回の評価の場合には、NUREG/CR-5732 で示されるpH調整されていないSurryの評価結果による素の存在割合が近いこと、被ばく評価上の保守性等も考慮した適切な評価条件を設定すること、といった観点から考察し、R.G.1.195のよう素の化学形態毎の存在割合（第3表参照）を用いることとした。

第3表 NUREG-1465とR.G.1.195におけるよう素の化学形態毎の存在割合の比較

	NUREG-1465	R.G.1.195
元素状よう素	4.85 %	91 %
有機よう素	0.15 %	4 %
粒子状よう素	95 %	5 %

原子炉格納容器等への元素状よう素の沈着効果について

原子炉格納容器内における元素状よう素の自然沈着について、財団法人 原子力発電技術機構（以下、「NUPEC」とする。）による検討「平成 9 年度 NUREG-1465 のソースタームを用いた放射性物質放出量の評価に関する報告書」において、CSE A6 実験に基づく値が示されている。

数値の算出に関する概要を以下に示す。

原子炉格納容器内での元素状よう素の沈着速度を λ_d とすると、原子炉格納容器内における元素状よう素の濃度 ρ の濃度変化は以下の式で表される。

$$\frac{d\rho}{dt} = -\lambda_d \rho$$

ρ : 原子炉格納容器内における元素状よう素の濃度 ($\mu\text{ g}/\text{m}^3$)

λ_d : 自然沈着率 (1/s)

これを解くことで、原子炉格納容器内での元素状よう素の沈着速度 λ_d は時刻 t_0 における元素状よう素濃度 ρ_0 と時刻 t_1 における元素状よう素濃度 ρ_1 を用いて、以下のように表される。

$$\lambda_d = -\frac{1}{t_1 - t_0} \log\left(\frac{\rho_1}{\rho_0}\right)$$

なお、NUPEC 報告書では、Nuclear Technology “Removal of Iodine and Particles by Spray in the Containment Systems Experiments” の記載（CSE A6 実験）より、「CSE A6 実験の無機ヨウ素の濃度変化では、時刻 0 分で濃度 $10^5 \mu\text{ g}/\text{m}^3$ であったものが、時刻 30 分で $1.995 \times 10^4 \mu\text{ g}/\text{m}^3$ となる。」としており、これらの数値を上式に代入することで、元素状よう素の自然沈着速度 9.0×10^{-4} (1/s) を算出している。これは事故初期のよう素の浮遊量が多く、スプレイが降っていない状態下での挙動を模擬するためと考えられる。なお、米国 SRP6.5.2 では原子炉格納容器内の元素状よう素濃度が 1/200 になるまでは元素状よう素の除去が見込まれるとしている。今回の事故シーケンスの場合、元素状よう素が DF(除染係数)=200 に到達する時期は、「Gap-Release」～「Late In-Vessel」の放出が終了した時点（放出開始から 11.8 時間）となる。原子炉格納容器に浮遊している放射性物質量が放出された放射性物質量の数 100 分の 1 程度に低下する時点までは自然沈着速度がほぼ一定であることがわかっており、原子炉格納容器内の元素状よう素はその大部分が事故初期の自然沈着速度に応じて除去される。よって、ここでは代表的に事故初期の自然沈着速度を適用している。

CSE A6 実験の詳細は前述の Nuclear Technology の論文において BNWL-1244 が引用されている。参考として、BNWL-1244 記載の原子炉格納容器内元素状よう素の時間変化を次に示す。この中で元素状よう素の初期濃度は $10^5 \mu\text{ g}/\text{m}^3$ となっており、泊発電所 3 号炉の原子炉格納容器に浮遊するよう素の濃度と同程度である。

参考 : BNWL-1244, "Removal of Iodine and Particles from Containment Atmospheres by Sprays—Containment Systems Experiment Interim Report"

注 : 本実験では、スプレイ添加物としてアルカリ(NaOH)が用いられているが、沈着速度算出にはスプレイが降る前の濃度の値を用いているため、スプレイ添加物の影響を受けない。

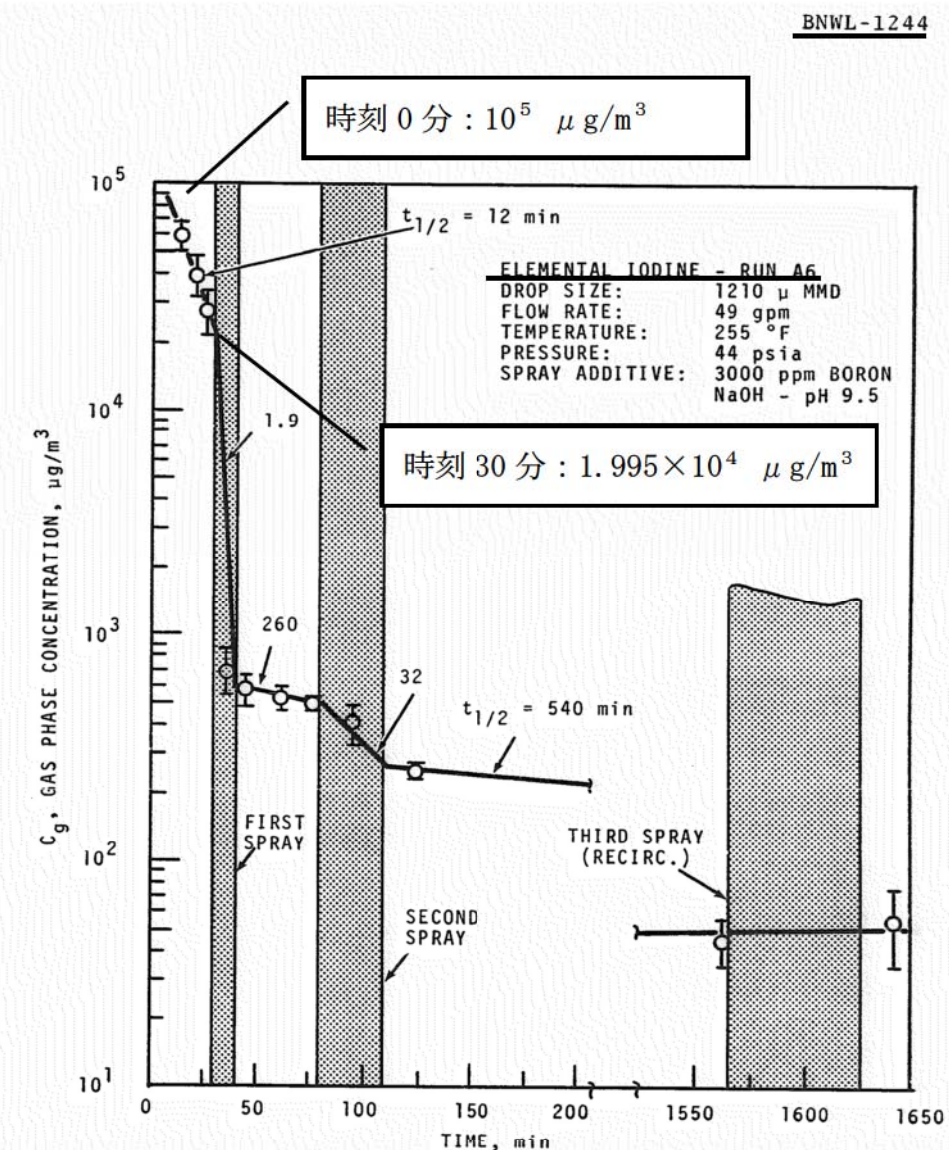


FIGURE 9. Concentration of Elemental Iodine in the Main Room, Run A6

CSE 実験の適用性について

CSE 実験の条件と泊発電所 3 号炉の比較について第 1 表にまとめる。また、NUPEC の報告書においては、スプレイ水が添加される前の期間のよう素濃度を基に自然沈着速度を設定しているため、スプレイ水による CV 内壁等への濡れはない。これは、CV 内壁等の濡れによるよう素の沈着促進を無視していることから保守的な取り扱いと考える。

第 1 表 CSE 実験条件と泊発電所 3 号炉の比較

	CSE 実験の Run No.			泊発電所 3 号炉 解析結果
	A-6 ⁽¹⁾⁽²⁾	A-5 ⁽³⁾	A-11 ⁽³⁾	
雰囲気	蒸気+空気	同左	同左	同左
雰囲気圧力 (MPaG)	約 0.20	約 0.22	約 0.24	約 0.335 ^{*2}
雰囲気温度 (°C)	約 120	約 120	約 120	約 138 ^{*3}
スプレイ	間欠的に有り ^{*1}	なし	なし	あり (元素状よう素に対し ては自然沈着のみ考慮)

- (1) R. K. Hilliard et. al, “Removal of iodine and particles by sprays in the containment systems experiment”, Nucl. Technol. Vol 10 pp499–519, 1971
- (2) R. K. Hilliard et. al, “Removal of iodine and particles from containment atmospheres by sprays”, BNWL-1244
- (3) R. K. Hilliard and L. F. Coleman, “Natural transport effects on fission product behavior in the containment systems experiment”, BNWL-1457

* 1 : 自然沈着速度の算出には第 1 回目のスプレイが降る前の格納容器内
よう素濃度の値を用いている。

* 2 : 格納容器過圧破損防止シーケンスの解析値

* 3 : 格納容器過温破損防止シーケンスの解析値

自然沈着のみのケース (A-5, A-11) の容器内気相部濃度を以下に示す。初期の沈着については、スプレイあり (A-6) の場合と大きな差は認められない。また、初期濃度より 1/200 以上低下した後に沈着が緩やかになること（カットオフ）が認められる。

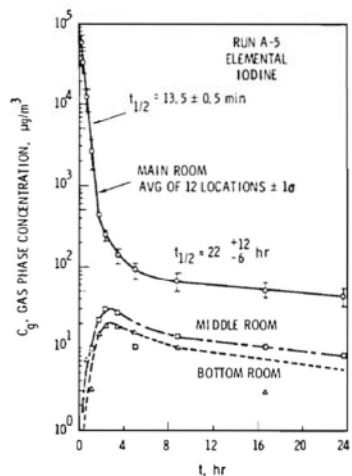


FIGURE B-5.
Concentration of Elemental
Iodine in Gas Space, Run A-5

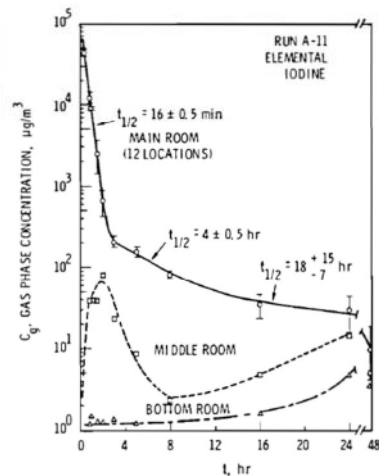


FIGURE B-6.
Concentration of Elemental
Iodine in Gas Space, Run A-11

第 2 表 CSE 実験における沈着の等価半減期

	A-6 ⁽²⁾	A-5 ⁽³⁾	A-11 ⁽³⁾
初期	12 分	13.5 分	16 分
カットオフ後 (ノミナル値)	540 分 (9 時間) * 4	22 時間	18 時間
カットオフ後 (誤差込)	—— (記載なし)	34 時間	33 時間

* 4 : スプレイが行われた後の値

後期の沈着の影響評価として、感度解析を実施した。条件を第3表に、結果を第4表に示す。これより、カットオフ後の沈着速度はCV外への元素状よう素の放出割合に対して影響が小さいため、現行の評価条件は妥当と考える。

第3表 感度解析条件

	ベース条件	感度解析
等価半減期 (初期)	12分 (沈着速度 $9 \times 10^{-4} \text{ s}^{-1}$)	同左
等価半減期 (カットオフ DF=200 後)	同上	40時間 (A-5 実験結果の34時間(誤差込み)に余裕を見た値)

第4表 感度解析結果

	ベース条件	感度解析
よう素の CV 外への放出割合 (炉心インベントリ比)	3.6×10^{-4} (1.00) *	3.7×10^{-4} (1.03) *

* カッコ内はベース条件に対する割合

今回の評価では、CSE 実験における実験開始後 30 分までの元素状よう素の濃度減少から求めた自然沈着率を使用している。ここで、CSE 実験において、DF=200 に達する時間までの元素状よう素の濃度減少から自然沈着率を求めた場合の影響を以下に示す。

CV 内の自然沈着率を設定した根拠としている A-6 試験については、スプレイされることでスプレイによる除去効果があるため、初期濃度に対して DF=200 に達するまでの傾きは、現状の評価に使用している自然沈着のみの傾きよりも大きく、除去効率は大きくなる。

また、スプレイされない試験の結果として、同じく CSE の試験結果 (A-5, A-11 試験) を基に自然沈着率を用いた場合においては、前述のとおり、初期の自然沈着率は現状の評価に使用している自然沈着率と大きな違いはない。さらに、A-5 試験及び A-11 試験の CV 内のよう素濃度は DF=200 付近まで沈着速度は低下していない。したがって、DF=200 まで一定の自然沈着率を用いることは問題ないと考える。

なお、仮に A-5 試験及び A-11 試験のうち等価半減期の長い A-11 試験の結果から得られる等価半減期 16 分を用いてよう素の CV 外への放出割合について算出した結果を第5表に示す。評価結果は第5表に示すとおり、他の試験結果から得られる自然沈着率を用いても現状の A-6 試験結果から得られる自然沈着率と比べて差異は小さいと言える。

第5表 自然沈着率を変動させた場合のよう素のCV外への放出割合

	申請ケース	感度解析①	感度解析②
等価半減期（初期）	12分	同左	16分 ^{*1}
等価半減期（DF=200 到達後）	同上	40時間 ^{*2}	同左
よう素のCV外への放出割合	約3.6E-04	約3.7E-04	約3.7E-04
申請ケースに対する比	1.00	1.03	1.04

*1 : A-11 試験の結果より設定した値

*2 : A-5 試験の結果に余裕を見込んで設定した値

また、自然沈着率は評価する体系の区画体積と内面積の比である比表面積の影響を受け、比表面積が大きいほど自然沈着率は大きくなる。

そこで、CSEの試験体系と泊発電所3号炉の比表面積について第6表に示す。

第6表に示すとおり、CSE試験体系と泊発電所3号炉は同等の比表面積となっており、CSEの試験で得られた沈着速度は泊発電所3号炉に適用可能である。

第6表 CSE試験と泊発電所3号炉の比表面積の比較

	CSE試験体系	泊発電所3号炉
体積(m ³)	約600	約65,500
表面積(m ²)	約570	約69,000
比表面積(m ⁻¹)	約0.96	約1.05

(参考) CSE 試験体系

TABLE I
Physical Conditions Common to All Spray Experiments

Volume above deck including drywell	21 005 ft ³	595 m ³
Surface area above deck including drywell	6 140 ft ²	569 m ²
Surface area/volume	0.293/ft	0.958/m
Cross-section area, main vessel	490 ft ²	45.5 m ²
Cross-section area, drywell	95 ft ²	8.8 m ²
Volume, middle room	2 089 ft ³	59 m ³
Surface area, middle room	1 363 ft ²	127 m ²
Volume, lower room	3 384 ft ³	96 m ³
Surface area, lower room	2 057 ft ²	191 m ²
Total volume of all rooms	26 477 ft ³	751 m ³
Total surface area, all rooms	9 560 ft ²	888 m ²
Drop fall height to deck	33.8 ft	10.3 m
Drop fall height to drywell bottom	50.5 ft	15.4 m
Surface coating	All interior surfaces coated with phenolic paint ^a	
Thermal insulation	All exterior surfaces covered with 1-in. Fiberglas insulation ^b	

^aTwo coats Phenoline 302 over one coat Phenoline 300 primer.
The Carboline Co., St. Louis, Missouri.

^b $k = 0.027 \text{ Btu}/(\text{h ft}^2)$ ($^{\circ}\text{F}/\text{ft}$) at 200°F , Type PF-615, Owens-Corning Fiberglas Corp.

参考：その他の知見(PHEBUS FP 試験)に対する考察について

PHEBUS-FP 計画は、カダラッシュ研究所の PHEBUS 研究炉を用いて、炉心から格納容器に至る FP が移行する過程を、ホットレグ、コールドレグ配管、蒸気発生器等を設置した原子炉システムを模擬した体系で総合的な実験を行ったものである。

試験は約23 GWd/t燃焼した使用済み燃料を18本、未照射燃料棒2本等を使用し、十分な水蒸気雰囲気下で1996年7月に実施された。

PHEBUS FP試験装置の概念図を第1図に示す。

試験は出力を上昇させて燃料を損傷させるフェーズの後、1次回路系が閉じられて格納容器が隔離される。この状態で2日程の格納容器が隔離されたエアロゾルフェーズ、約20分の格納容器下部に沈着したFPを下部サンプル洗い流す洗浄フェーズが取られ格納容器内のFP濃度の測定が行われる。その後、2日程度の格納容器のよう素の化学挙動を確認する化学フェーズが取られ、サンプル水を含めたFP挙動が調べられる。

PHEBUS FP試験の結果を第2図に示す。エアロゾルフェーズにおける格納容器内のガス状よう素（元素状よう素及び有機よう素）の割合は放出後の時間が経過するにつれて約0.05 %（炉心インペントリ比）まで十分低下することが分かり、また時間の経過とともに濃度低下の傾向が小さくなることがわかる。測定データがエアロゾルフェーズ（格納容器隔離後）の値であり、FP放出後数時間経過していることから、この挙動は前述のCSE実験と同様の傾向である。

以上から、より新しい知見であるPHEBUS FP試験がCSE実験の結果と同様の傾向であると判断できるものの、参考資料(1), (2)で整理されたPHEBUS FP試験では事故初期からの沈着速度が示されていないため、無機よう素の沈着速度が示されているCSE実験を評価上適用することとしている。

- (1) 原子力発電技術機構、重要構造物安全評価（原子炉格納容器信頼性実証事業）に関する総括報告書、平成 15 年
- (2) 原子力発電技術機構、重要構造物安全評価（原子炉格納容器信頼性実証事業）に関する総括報告書（要約版）、平成15年

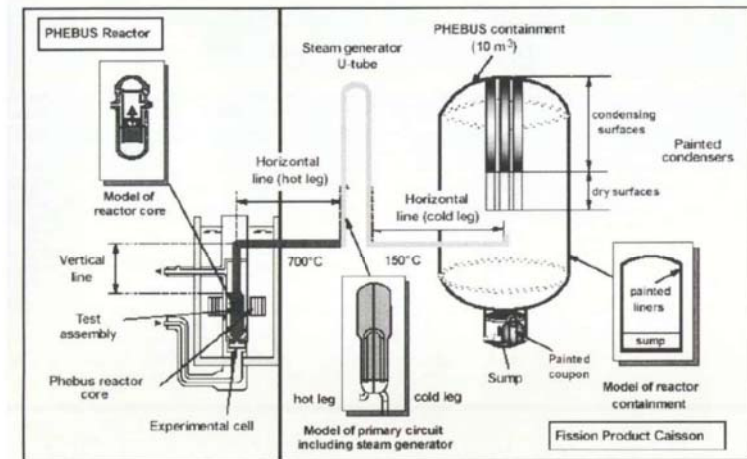
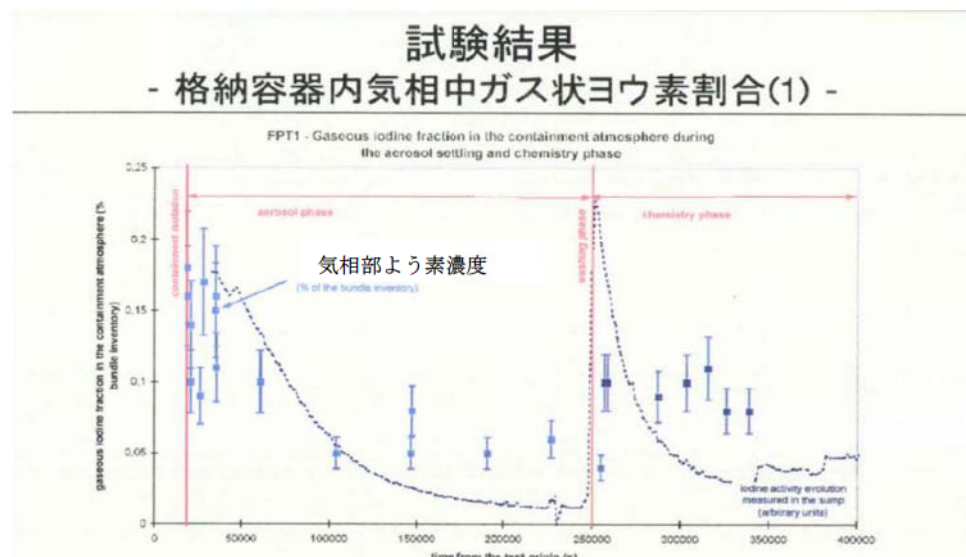


図3.3-2 PHEBUS-FP試験装置概念図

第1図 PHEBUS FP 試験装置 (1)



- 格納容器内のガス状ヨウ素割合(炉心インベントリに対する割合)は、エアロゾルフェーズ初期で約0.2%から後期で0.05%程度まで徐々に減少、洗浄後の化学フェーズでは0.1%程度とほぼ一定
(注)格納容器インベントリに対する割合では、それぞれ約0.3%, 0.08%, 0.15% (格納容器への放出割合が約64%のため)

第2図 PHEBUS FP 試験結果 (2)

原子炉格納容器等へのエアロゾルの沈着効果について

原子炉格納容器内におけるエアロゾルの自然沈着について、財団法人 原子力発電技術機構（以下、「NUPEC」とする。）による検討「平成 9 年度 NUREG-1465 のソースタームを用いた放射性物質放出量の評価に関する報告書」（平成 10 年 3 月）（以下、「NUPEC 報告書」とする。）において、エアロゾルの重力沈着速度を用いたモデルが検討されている。

このモデルの概要を以下に示す。

原子炉格納容器内での重力沈降速度を V_d とすると、原子炉格納容器内の核分裂生成物の沈着による減少率は、原子炉格納容器内が一様に混合されているものとし、以下の式から求められる。なお、泊発電所 3 号炉の原子炉格納容器床面積及び原子炉格納容器自由体積の値を用いている。

$$\lambda_d = V_d \frac{A_f}{V_g} = 6.65 \times 10^{-3} \text{ (1/時)}$$

λ_d	: 自然沈着率 (1/s)
V_d	: 重力沈降速度 (m/s)
A_f	: 原子炉格納容器床面積 (m^2) (泊発電所 3 号炉 $1,250 \text{ m}^2$)
V_g	: 原子炉格納容器自由体積 (m^3) (泊発電所 3 号炉 $65,500 \text{ m}^3$)

ここで、 V_d の算出については、エアロゾルが沈降する際の終端速度を求める式であるストークスの式を適用し、以下のように表される。

$$V_d = \frac{2r_p^2(\rho_p - \rho_g)g}{9\mu_g} \approx \frac{2r_p^2\rho_p g}{9\mu_g}$$

r_p	: エアロゾル半径 (m)
ρ_p	: エアロゾル密度 (kg/m ³)
ρ_g	: 気体の密度 (kg/m ³)
g	: 重力加速度 (m/s ²)
μ_g	: 気体の粘度 (Pa · s)

各パラメータの値を第 1 表にまとめる。なお、ここで示したパラメータは NUPEC 報告書に記載されている値である。

第1表 評価に用いたパラメータ

パラメータ	値	備考
エアロゾル半径 r_p (m)	0.5×10^{-6}	粒径 $1 \mu\text{m}$ のエアロゾルを想定
エアロゾル密度 ρ_p (kg/m ³)	3.2×10^3	NUPEC 報告書より
気体の密度 ρ_g (kg/m ³)	—	エアロゾル密度と比べ小さいため無視
重力加速度 g (m/s ²)	9.8	理科年表より
気体の粘度 μ_g (Pa · s)	1.8×10^{-5}	NUPEC 報告書より

よって、 $\lambda_d = 9.68 \times 10^{-5} \times 1250 / 65500 = 1.847 \times 10^{-6}$ (1/s)
 $= 6.649 \times 10^{-3}$ (1/時) $\rightarrow 6.65 \times 10^{-3}$ (1/時) となる。

(参考)

NUPEC 「平成 9 年度 NUREG-1465 のソースタームを用いた放射性物質放出量の評価に関する報告書 (平成 10 年 3 月)」抜粋

(1) 自然沈着

- ・希ガス 指針類及び設置許可申請書と同様に沈着しない。
- ・有機ヨウ素 (ガス) 指針類及び設置許可申請書と同様に沈着しない。
- ・無機ヨウ素 (ガス) 9.0×10^{-4} (1/s) : 自然沈着率 (λ_d)
 CSE A6実験⁽³⁾の無機ヨウ素の濃度変化では、時刻0分で濃度 $10^5 \mu\text{g}/\text{m}^3$ であったものが、時刻30分で $1.995 \times 10^4 \mu\text{g}/\text{m}^3$ となる。

$$\lambda_d = -\frac{1}{30 \times 60} \log \left(\frac{1.995 \times 10^4}{10^5} \right) = 9.0 \times 10^{-4} (\text{1/s})$$
- ・CsI(エアロゾル) 1.9×10^{-6} (1/s) : 自然沈着率 (λ_d)
 $1 \mu\text{m}$ の大きさのエアロゾルの重力沈降速度を用い、雰囲気中に一様に混合していると仮定して、格納容器床面積と自由体積との比を乗じて求められる。

$$V_d = \frac{2 r_p^2 (\rho_p - \rho_g) g}{9 \mu_g} \approx \frac{2 r_p^2 \rho_p g}{9 \mu_g}$$

$$= \frac{2 \times (1 \times 10^{-6} / 2)^2 \times 3.2 \times 10^3 \times 9.8}{9 \times 1.8 \times 10^{-5}} = 9.68 \times 10^{-5} (\text{m/s})$$

$$\lambda_d = V_d \frac{A_F}{V_G} \approx 9.68 \times 10^{-5} \times \frac{\pi \times 21.5^2}{73700} = 1.9 \times 10^{-6} (\text{1/s})$$
- ・Cs,Te,Sr,Ru,Ce,La CsIと同じ扱いとする。

スプレーによるエアロゾルの除去速度の設定について

重大事故時に炉心から格納容器へ放出されるガス状、粒子状の放射性物質は、沈着や拡散だけでなくスプレーによる除去等の効果によっても、原子炉格納容器内での挙動に影響を受ける。従って、NUREG-1465 や MAAP にはこれらの挙動に係る評価式、評価モデル或いは実験に基づき設定された値等が示されており、審査ガイドでもこれら効果の考慮について示されている。

このうちエアロゾルに対するスプレー効果の考慮について、本評価で知見として参考とした NUREG-1465 ではその効果について適切に考慮することとされていることも踏まえ、SRP6.5.2において示されるエアロゾルに対するスプレー効果及び NUPEC 実験結果に基づいたスプレー効率を用いることとする。設定の考え方について以下に整理した。

1. SRP6.5.2 エアロゾルに対するスプレー効果の式

米国 SRP6.5.2 では、スプレー領域におけるスプレーによるエアロゾルの除去速度を以下の式により算出している。

この評価式は、米国新設プラント(US-APWR, AP-1000)の設計基準事象に対する評価においても用いられており、また、シビアアクシデント解析コードである MELCOR や MAAP に組み込まれているものである。

$$\lambda_s = \frac{3hFE}{2V_s D}$$

- λ_s : スプレー除去速度
- h : スプレー液滴落下高さ
- V_s : スプレー領域の体積
- F : スプレー流量
- E : 捕集効率
- D : スプレー液滴直径

また、米国 R.G.1.195 でもエアロゾルのスプレー効果として、下記のとおり SRP6.5.2 が適用可能としていることから、本評価にも用いている。

- 2.3 Reduction in airborne radioactivity in the containment by containment spray systems that have been designed and are maintained in accordance with Chapter 6.5.2 of the SRP¹

(Ref. A-1) may be credited. An acceptable model for the removal of iodine and particulates is described in Chapter 6.5.2 of the SRP.

2. スプレイ効率 (E/D) の設定について

今回の評価では、E/D を 7 と設定した。その妥当性について以下に示す。

(1) NUPEC 試験

「重要構造物安全評価（原子炉格納容器信頼性実証事業）に関する総括報告書 平成 15 年 3 月 財団法人 原子力発電技術機構」において、シビアアクシデント時のスプレイの効果について模擬試験及び評価が以下の通り実施されている。その結果を適用し、本評価ではスプレイ効率 (E/D) を 7 と設定する。

なお、エアロゾルに対するスプレイ効果については、エアロゾルの除染係数 (DF) がある値に達すると除去速度が緩やかになるという NUREG/CR-0009 の結果に基づき、今回の評価では、除去速度が緩やかになる時点の DF を「カットオフ DF」と定義し、SRP6.5.2 にて提案されているカットオフ DF と同じ 50 と設定した。SRP6.5.2 では DF50 到達以降、E/D を 1/10 とするとの考え方も示されており、その考えに従い、カットオフ DF50 を超えた後のスプレイ効果については、E/D=0.7 として除去速度を算出した。

さらに、同図中には前述のBWRの場合の結果と同様に、NUREG-1465⁽¹⁾から評価したエアロゾル濃度計算値を実線及び破線で示した。これから、PWRの場合にもNUREG-1465で用いているE/D=1の値はスプレイによる除去効果を過小評価し、この場合のE/Dの値は約7で試験結果とほぼ一致することが分かる。これは、BWRの場合と同様主に蒸気凝縮（拡散泳動）によるエアロゾル除去効果がスプレイ期間中の予測値よりも大きいことを示している。

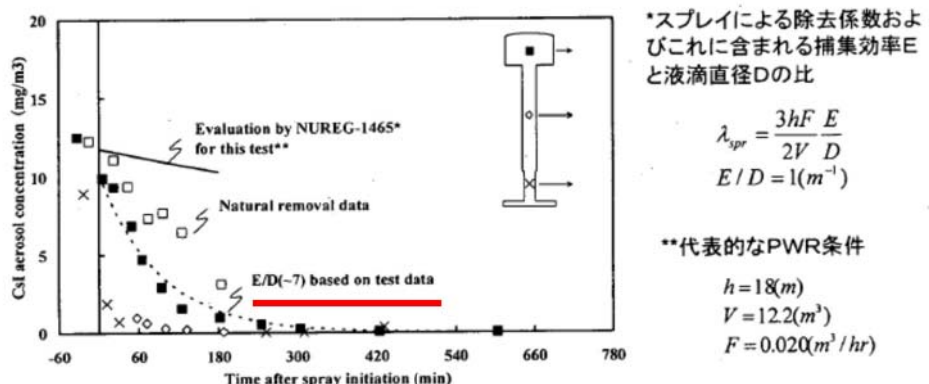


図3.2-12 PWR模擬試験（基本条件）結果とNUREG-1465評価値との比較

(2) 泊発電所 3 号炉への適用

泊発電所 3 号炉の今回の評価では、NUPEC 模擬試験に基づき、E/D=7 としている。

NUPEC 模擬試験では、PCCV4 ループプラントのシビアアクシデント状況を想定し、スプレイによる除去効果を確認した結果、スプレイ粒径 1.5 mm の条件の下で、E/D=7 との結果が得られている。

PCCV プラントと鋼鉄 CV プラントの泊発電所 3 号炉では、重大事故時の温度や圧力について

若干の差があるものと思われるが、CSE 実験での結果から、温度、圧力等の条件の違いがスプレイ効率に与える影響は小さいのに対し、スプレイ粒径は大きく影響を与えることがわかる（添付-1 参照）。

よって、NUPEC の試験結果である E/D=7 を適用するためには、スプレイ粒径が 1.5 mm を上回らないことを確認する必要がある。

この試験では、実機条件でのスプレイノズル 1 個あたり約 1 m³/h を模擬しており、このときのスプレイ液滴径が 1.5 mm であった。泊発電所 3 号炉では代替格納容器スプレイポンプによるスプレイで使用するスプレイリングヘッダに 100 個のスプレイノズルが設置されているため、スプレイ粒径 1.5 mm 以下を達成するためには、スプレイポンプ流量 100 m³/h 以上（スプレイノズル 1 個あたり約 1 m³/h）が必要である。今回の評価で用いた泊発電所 3 号炉の代替格納容器スプレイ流量は 140 m³/h (> 100 m³/h) であり、スプレイ粒径 1.5 mm 以下を達成できているため、E/D=7 を適用することは妥当である。

3. エアロゾル除去速度の算出

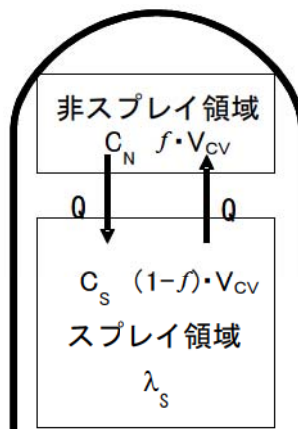
1. で示した SRP6.5.2 のエアロゾルに対するスプレイ領域でのスプレイ効果の式を用い、2. で示したスプレイ効率 (E/D)、泊 3 号炉でのスプレイ液滴落下高さ、スプレイ領域の体積及びスプレイ流量にてエアロゾル除去速度を算出した。

ここでの評価では、今回の評価事象を考慮し、スプレイするための動的機器を代替格納容器スプレイポンプとする。この場合、代替格納容器スプレイは流量も小さく、そのカバー範囲も小さい。そのため、評価においては、原子炉格納容器内でスプレイ水がかからない領域（非スプレイ領域）があることを考慮して、エアロゾル除去速度を算出している。

非スプレイ領域においては、スプレイによるエアロゾル除去効果を直接的に見込むことはできないが、原子炉格納容器内空気の対流による混合効果によって、非スプレイ領域内空気がスプレイ領域に移行することで、間接的に除去される。

米国 Regulatory Guide 1.183 では、スプレイによるエアロゾルの除去効果を評価する際には非スプレイ領域を考慮すること、スプレイ領域と非スプレイ領域の混合割合は非スプレイ領域が 1 時間に 2 回循環することとしていることから、今回の評価でも、非スプレイ領域を考慮し、混合割合は非スプレイ領域が 1 時間に 2 回循環することとする（添付-2 参照）。

評価の概略図を以下に示す。格納容器内全体積 V_{CV} に対する非スプレイ領域の体積割合を f とし、非スプレイ領域においてはスプレイによる除去効果がないものとする。領域 i における浮遊エアロゾル濃度を C_i とし、非スプレイ領域とスプレイ領域の間には、流量 Q の空気循環があり、スプレイ領域へ移行したエアロゾルはスプレイにより除去されると考える。



このモデルにおける非スプレイ領域及びスプレイ領域のエアロゾル濃度の時間変化及び格納容器内の浮遊エアロゾル量は、次式で評価した。

$$\begin{cases} \frac{dC_N}{dt} = -\frac{1}{f \cdot T} \cdot (C_N - C_s) \\ \frac{dC_s}{dt} = \frac{1}{(1-f) \cdot T} \cdot (C_N - C_s) - (\lambda_s \cdot C_s) \end{cases}$$

$$N_E(t) = (f \cdot C_N + (1-f) \cdot C_s) \cdot V_{cv}$$

C_i : 領域 i における浮遊エアロゾル濃度 (Bq/m^3)

N_E : 非スプレイ領域考慮時の CV 内エアロゾル量 (Bq)

f : 非スプレイ領域体積割合 (-)
(泊発電所 3 号炉 93 %)

T : CV 内空気混合時間 (h)

$T \equiv \frac{V_{cv}}{Q}$: (CV 内の空気が十分に混合するまでの時間)

V_{cv} : CV 内自由体積 (m^3)
(泊発電所 3 号炉 65,500 m^3)

Q : CV 内空気循環流量 (m^3/h)
(泊発電所 3 号炉 122,000 m^3)

λ_s : スプレイ領域のスプレイによるエアロゾル除去係数 (h^{-1})

V_s : スプレイ領域体積

(添字 N : 非スプレイ領域, S : スプレイ領域)

ただし、 λ_s はスプレイ領域における除去係数であり、原子炉格納容器全体の体積から非スプレイ領域を差し引いた残りの領域でのスプレイ除去係数である。よって、SRP6.5.2 で示さ

れている「 V_s 」は、スプレイ領域体積として、 $V_{cv} \times (1-f)$ として考える。

上記モデルを使用し、非スプレイ領域を考慮した原子炉格納容器内全体の浮遊エアロゾルのスプレイ除去速度を算出した。

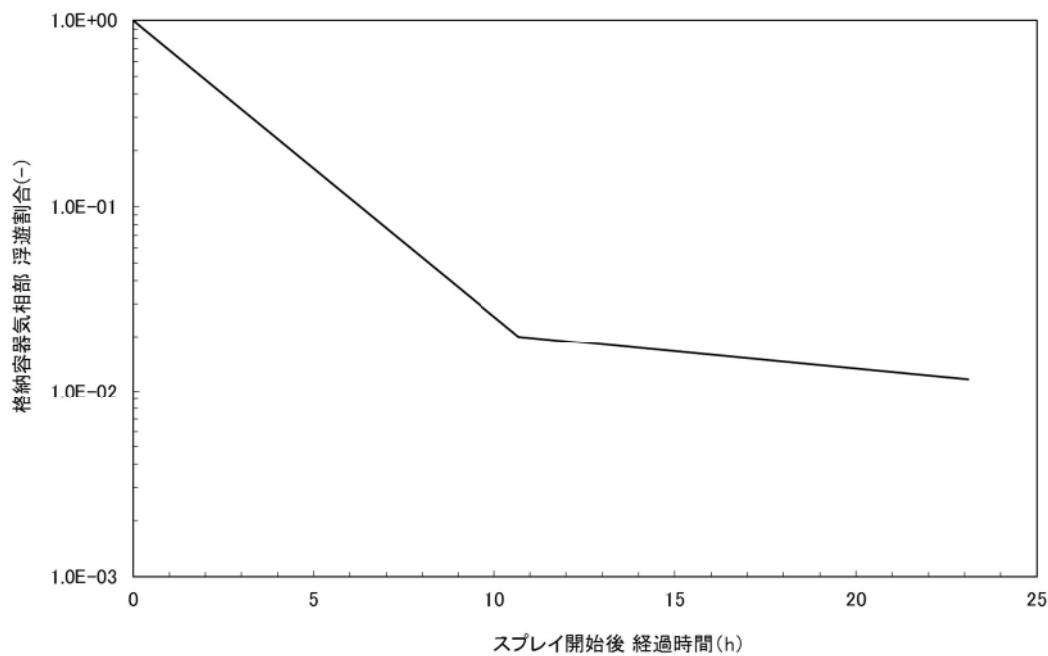
なお、エアロゾルに対するスプレイ効果については、エアロゾルの除染係数（DF）がある値に達すると除去速度が緩やかになるという NUREG/CR-0009 の結果に基づき、今回の評価では、除去速度が緩やかになる時点の DF を「カットオフ DF」と定義し、SRP6.5.2 にて提案されているカットオフ DF と同じ 50 と設定した。SRP6.5.2 ではカットオフ DF が 50 を到達以降は、E/D を 1/10 とするとの考え方も示されており、その考えに従い、カットオフ DF50 を超えた後のスプレイ効果については、E/D=0.7 として除去速度を算出した。

以上のことから、本評価におけるスプレイによるエアロゾル除去速度として第 1 表のように設定した。

また、第 1 表をグラフで表したスプレイ除去効果のモデルを第 1 図に示す。

第 1 表 エアロゾル除去速度

カットオフ DF	エアロゾル除去速度
$DF < 50$	0.36 (1/時)
$DF \geq 50$	0.043 (1/時)



第 1 図 スプレイ除去効果のモデル

(添付-1)

CSE データ ("Removal of Iodine and Particles by Sprays in the Containment Systems Experiment" Nuclear Technology Vol. 10, 1971)

CSE での各試験での条件表を以下に示す。

TABLE II
Experimental Conditions—CSE Spray Tests

	Run A-3	Run A-4	Run A-6	Run A-7	Run A-8	Run A-9
Atmosphere	Air	Air	Steam-air	Steam-air	Steam-air	Steam-air
Temperature, °F	77	77	250	250	250	250
Pressure, psia	14.6	14.6	44	50	48	44
Nozzle type	a	a	a	a	b	c
Drop MMD, μ ^d	1210	1210	1210	1210	770	1220
Geometric standard deviation, σ	1.53	1.53	1.53	1.53	1.50	1.50
Number of nozzles	3	12	12	12	12	12
Spray rate, gal/min	12.8	48.8	49	49	50.5	145
Total spray volume, gal	510	1950	1960	1960	2020	2300
Spray solution	e	e	f	g	f	f

^aSpraying Systems Co. 3/4 7G3, full cone.

^e525 ppm boron as H₃BO₃ in NaOH, pH 9.5.

^bSpraying Systems Co. 3/8 A20, hollow cone.

^f3000 ppm boron as H₃BO₃ in NaOH, pH 9.5.

^cSpraying Systems Co. 3/4 A50, hollow cone.

^g3000 ppm boron as H₃BO₃ in demineralized water pH 5.

^dMass median diameter.

また、この条件で得られたスプレイ効率の結果を以下に示す。

TABLE IX
Summary of Initial Spray Washout Coefficients

Run No.	Elemental Iodine	λ_5 Observed, min ⁻¹ ^a		
		Particulate Iodine	Iodine on Charcoal Paper	Total Inorganic ^b Iodine
A-3	0.126	0.055	0.058	0.125
A-4	0.495	0.277	0.063	0.43
A-6	0.330	0.32	0.154	0.31
A-7	0.315	0.31	0	0.20
A-8	1.08	0.99	0.365	0.96
A-9	1.20	1.15	0.548	1.14

^aFor first spray period, corrected for natural removal on vessel surfaces.

^bIncludes iodine deposited on Maypack inlet.

この結果から、温度及び圧力を変化させて試験を実施した A-4, A-6 及び A-7 での "Particulate Iodine" の結果を比較すると、数割の範囲で一致しており、大きな差は生じていない。これに対し、スプレイ粒径を小さくした A-8 では、3 倍以上スプレイ効率が向上していることがわかる。

スプレイ領域と非スプレイ領域の取り扱いについて

エアロゾルの除去効果については、参考資料に示される条件で実施された NUPEC 試験を基にスプレイ効率と液滴径の比として E/D=7 を用いている。

NUPEC 試験では、下記のとおり CV 自由体積及び代替スプレイ流量を模擬してスケールダウンした体系を用いていることから、E/D=7 の中に CV 内の流動の効果も加味されたものとなっている。

同様に、PWRの場合、代表プラントとして国内で運転中の大容量プラントである110万KWe級の4ループを選定した。この場合、本試験で使用する模擬格納容器は実機と比較して体積比で約1/5900であり、一方、AM条件で使用するノズル数は全数の一部（最下段からのスプレイヘッダのみ；120個程度）と少ないため、本試験で使用するスプレイノズルの個数は1個以下となる。すなわち、PWR模擬試験においては実機のスプレイノズルをそのまま使用できないため、FP除去効果に影響を及ぼすと考えられるAMスプレイ時の液滴径分布をできる限り模擬しうるシミュレータノズルを使用することとした。また、スプレイ流量に関しては、AM時のスプレイ流量が約120 ton/hrであり、これを1/5900でスケールダウンして、シミュレータノズル1個で0.34リットル/minを基準条件とした。

そのため、E/D=7 を評価に用い、更に非スプレイ領域によってエアロゾルの除去が見込めない効果を取り込むことは下記のとおり保守的な扱いとなる。

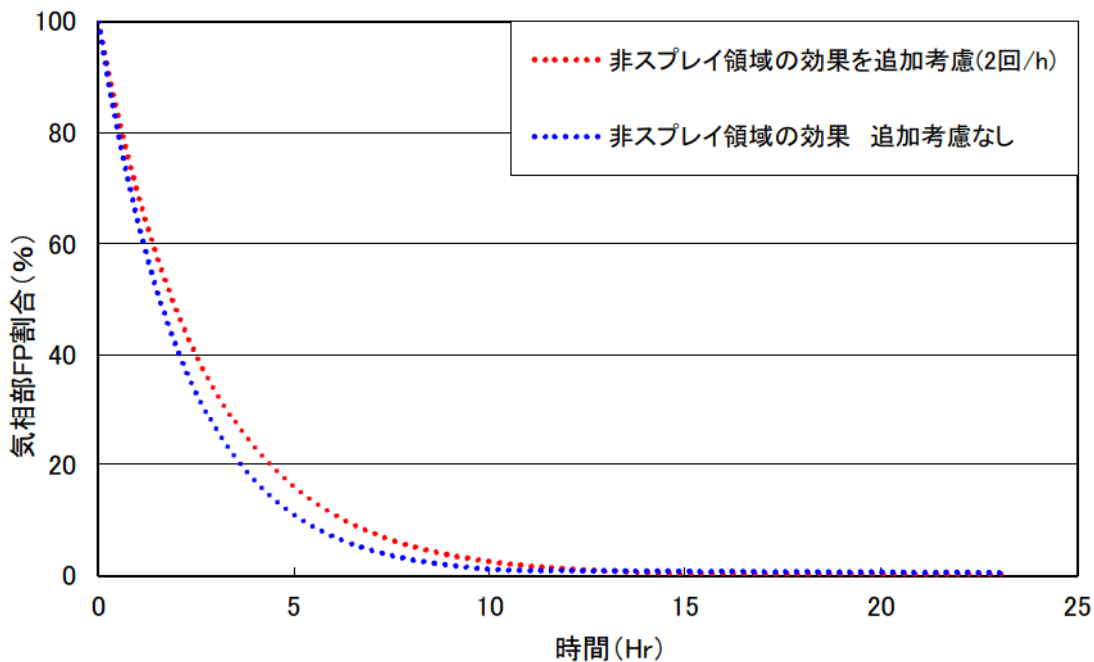


図 スプレー除去効果の比較

(参考資料) NUPEC PWR 模擬試験条件

表3.2-3 PWR模擬試験条件

	実機プラント	本試験	注記
対象シナリオ	AHF	同左	
対象プラント	PWR4炉	同左	
CV体積	71,700m ³	12.2m ³	初期水量2000m ³ を減じる。スケール比1/5877
CV高さ	20m	同左	
スプレイノズル個数	120	1	
スプレイ流量	120m ³ /hr	0.34L/min	
ノズル型式	新倉EX554L	シミュレータノズル	
ノズル出口径	10mm	1.2mm	
スプレイ液滴径	1500ミクロン (±20%)	1470ミクロン (±20%)	
散布形態	約10hr 連続	同左	
スプレイ水温	303K	同左	
スプレイ水質	中性	同左	
CV初期全圧	0.52MPa	同左	
水蒸気分圧	0.39MPa	同左	
Air分圧	0.12MPa	同左	N ₂ で代用
H ₂ 分圧	0.01MPa	同左	Heで代用
CV初期温度	415K	同左	
CV初期水位	(不明)	100mm	BWR基本ケースに合わせた
エアロゾル種類	CsI	同左	
CsI濃度	0.01g/m ³	同左	
CsI粒径	1ミクロン	同左	幾何標準偏差は2.0
試験中のCsI供給	無し	同左	
崩壊熱	3,411MWt	4.3 kW	実機は原子炉停止後10時間の崩壊熱レベル(定格出力の0.7%)、試験は一定で供給
蒸気の状態	飽和蒸気	同左	
蒸気供給高さ	CV下部	同左	

原子炉格納容器漏えい率の設定について

原子炉格納容器からの漏えい率については、有効性評価で想定する事故収束に成功した事故シーケンスのうち、原子炉格納容器内圧力が高く推移する事故シーケンスである「大破断 LOCA 時に ECCS 注入及び CV スプレイ注入を失敗するシーケンス」における原子炉格納容器内の圧力解析結果に対応した漏えい率に余裕を見込んだ値を設定している。

原子炉格納容器からの漏えい率は、原子炉格納容器内圧力が最高使用圧力の 0.9 倍の圧力以下の場合は(1)に示す式を、超える場合は(2)に示す式を使用する。

(1) 原子炉格納容器内圧力が最高使用圧力の 0.9 倍以下の場合

最高使用圧力の 0.9 倍以下の漏えい率を保守的に評価するために差圧流の式（これまでの設計事象にて使用）より算出する。

$$\frac{L_t}{L_d} = \sqrt{\frac{\Delta P_t}{\Delta P_d} \cdot \frac{\rho_d}{\rho_t}}$$

L : 漏えい率

L_d : 設計漏えい率

ΔP : 原子炉格納容器内外差圧

ρ : 原子炉格納容器内密度

d : 添え字 “ d ” は漏えい試験時の状態を表す

t : 添え字 “ t ” は事故時の状態を表す

(2) 原子炉格納容器内圧力が最高使用圧力の 0.9 倍より大きい場合

圧力が上昇すれば、流体は圧縮性流体の挙動を示すため、原子炉格納容器内圧力が最高使用圧力の 0.9 倍より大きい場合は圧縮性流体の層流・乱流の状態を考慮する。漏えい率は差圧流の式、圧縮性流体の層流、または乱流を考慮した式の 3 式から得られる値の内、最大の値とする。

$$\frac{L_t}{L_d} = \max \left[\begin{array}{l} \frac{\mu_d}{\mu_t} \cdot \frac{2k_t}{k_t - 1} \cdot \frac{P_t}{P_d} \cdot \left(\left(\frac{P_{leak,t}}{P_t} \right)^{\frac{1}{k_t}} - \frac{P_{leak,t}}{P_t} \right) \\ \frac{\mu_t}{\mu_d} \cdot \frac{2k_d}{k_d - 1} \cdot \frac{P_d}{P_t} \cdot \left(\left(\frac{P_{leak,d}}{P_d} \right)^{\frac{1}{k_d}} - \frac{P_{leak,d}}{P_d} \right) \\ \\ \frac{2k_t}{k_t - 1} \cdot \frac{P_t}{P_d} \cdot \frac{\rho_d}{\rho_t} \cdot \left(\left(\frac{P_{leak,t}}{P_t} \right)^{\frac{2}{k_t}} - \left(\frac{P_{leak,t}}{P_t} \right)^{\frac{k_t+1}{k_t}} \right)^{\frac{1}{2}} \\ \frac{2k_d}{k_d - 1} \cdot \frac{P_d}{P_t} \cdot \frac{\rho_t}{\rho_d} \cdot \left(\left(\frac{P_{leak,d}}{P_d} \right)^{\frac{2}{k_d}} - \left(\frac{P_{leak,d}}{P_d} \right)^{\frac{k_d+1}{k_d}} \right)^{\frac{1}{2}} \\ \\ \left(\frac{\Delta P_t}{\Delta P_d} \cdot \frac{\rho_d}{\rho_t} \right)^{\frac{1}{2}} \end{array} \right]$$

圧縮性流体（層流）

圧縮性流体（乱流）

差圧流

P : 原子炉格納容器内圧力

P_{leak} : 漏えい口出口での圧力

μ : 原子炉格納容器内の気体の粘性係数

k : 原子炉格納容器内の気体の比熱比

P_{atm} : 大気圧

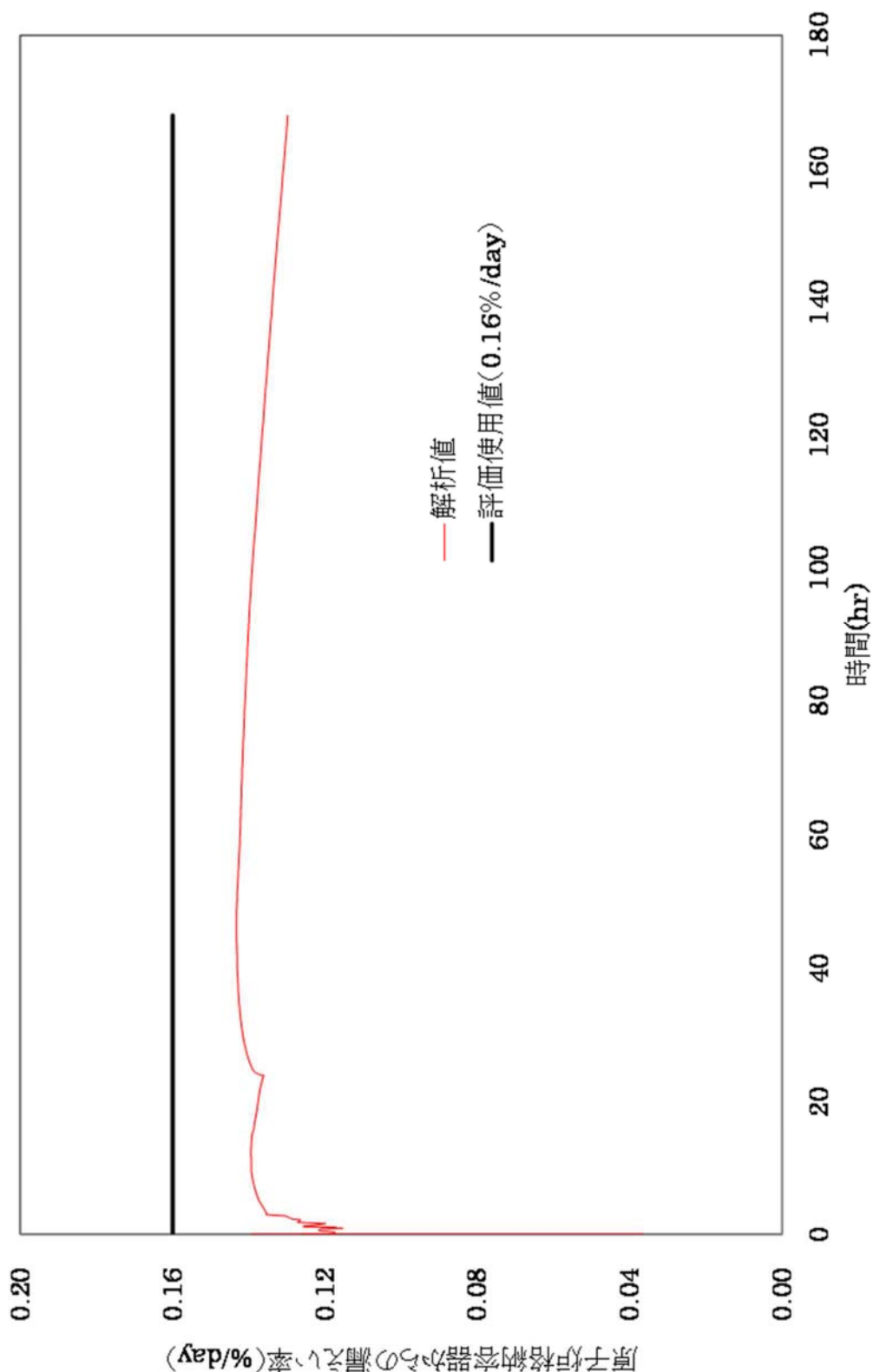
$$\frac{P_{leak,t}}{P_t} = \max \left(\left(\frac{2}{k_t + 1} \right)^{\frac{k_t}{k_t - 1}}, \frac{P_{atm}}{P_t} \right)$$

$$\frac{P_{leak,d}}{P_d} = \max \left(\left(\frac{2}{k_d + 1} \right)^{\frac{k_d}{k_d - 1}}, \frac{P_{atm}}{P_d} \right)$$

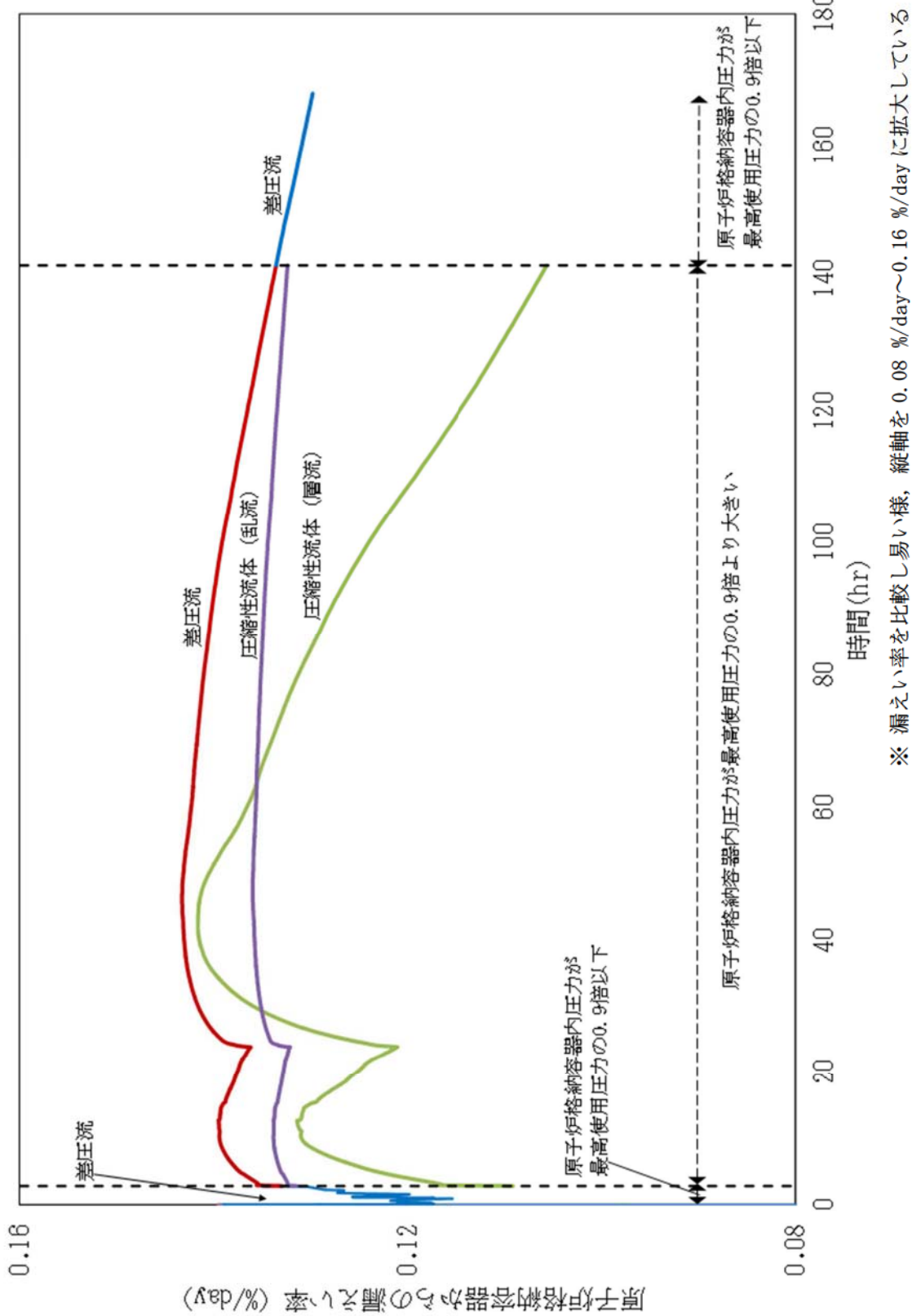
原子炉格納容器からの漏えい率を第1図に示し、上記(1), (2)で述べた各流況の式から得られる漏えい率を第2図に示す。

原子炉格納容器内の圧力解析結果（最高値約 0.360 MPa [gage]）に対応した漏えい率（約 0.144 %/日）に余裕を見込んだ値として、原子炉格納容器からの漏えい率を事故期間（7日間）中 0.16 %/日一定に設定している。この時、漏えい率 0.16 %に対する原子炉格納容器圧力は、最も小さい圧縮性流体（層流）を仮定したとしても、第3図に示すとおり約 0.40 MPa[gage]であり、原子炉格納容器内圧解析結果に対して余裕をみこんでいる。

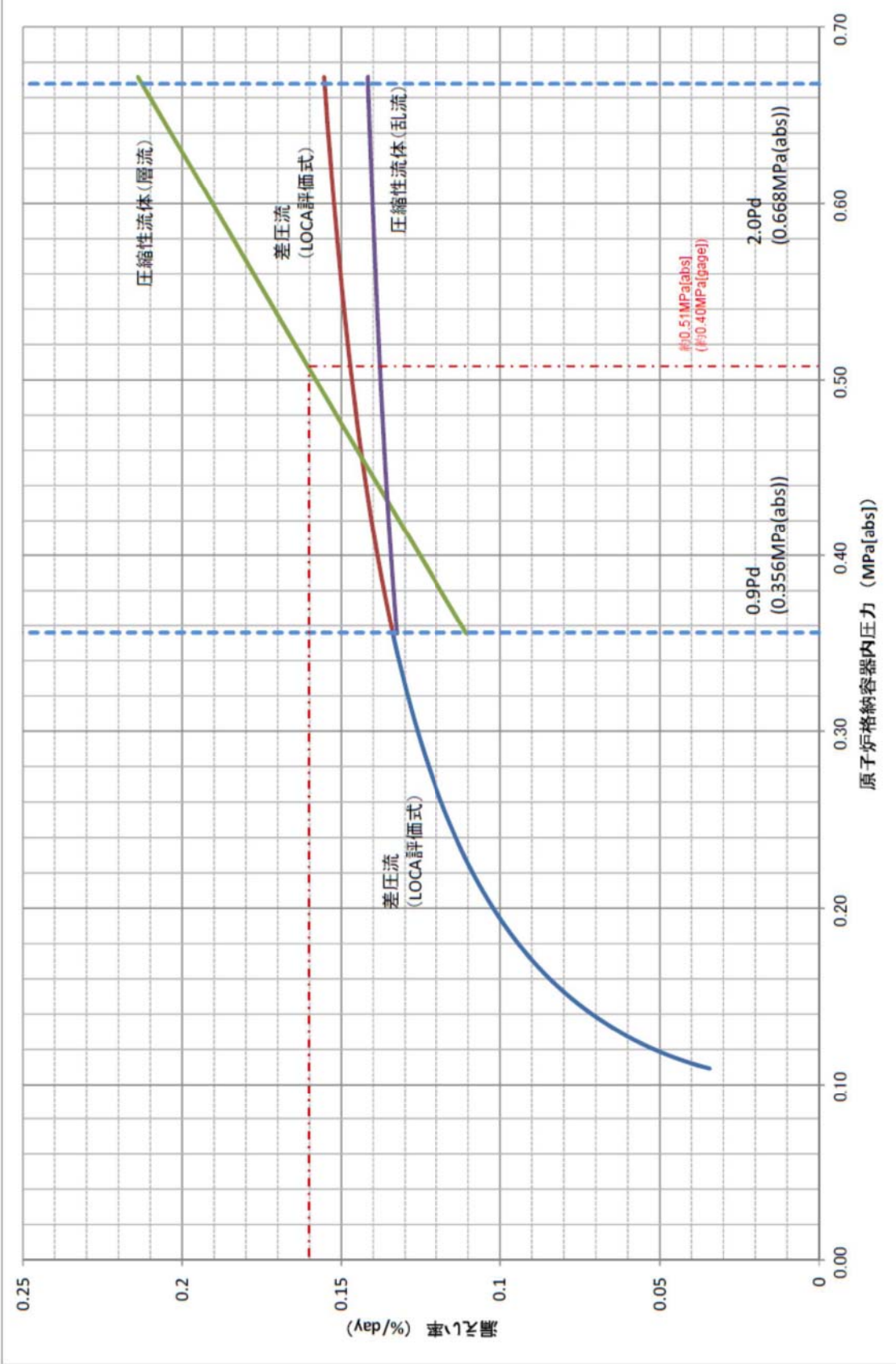
なお、上式には温度の相関は直接表れないが、気体の粘性係数、比熱比等で温度影響を考慮した上で、得られる値のうち最大値を評価している。



第1図 原子炉格納容器内圧力に応じた原子炉格納容器からの漏えい率



第2図 原子炉格納容器内圧力に応じた原子炉格納容器からの漏えい率（算出式別）



第3図：原子炉格納容器内圧力に応じた漏えい率

アニュラス空気浄化設備フィルタ除去効率の設定について

1. 微粒子フィルタ除去効率について

アニュラス空気浄化設備の微粒子フィルタによるエアロゾル除去効率の評価条件として 99 % を用いている。微粒子フィルタについては、納入前の工場検査において上記フィルタ除去効率が確保されていることを確認している。

微粒子フィルタのろ材はガラス纖維をシート状にしたもので、エアロゾルを含んだ空気がろ材を通過する際に、エアロゾルがガラス纖維に衝突・接触することにより捕集される。

- アニュラス空気浄化設備の微粒子フィルタ

- a. 温度及び湿度条件について

本評価で選定した評価事象において、原子炉格納容器内は 150 °C 程度となり、原子炉格納容器からの温度伝播等によりアニュラス内の温度が上昇する。

アニュラス内の温度は最高で 120 °C 程度までの上昇であるため、泊発電所 3 号炉のアニュラス空気浄化設備に設置している微粒子フィルタの最高使用温度を大幅に上回ることはなく、性能が低下することはない。なお、フィルタに捕集された放射性物質の崩壊熱による温度上昇は 1 °C 程度であり、アニュラス内温度への影響は大きいものではない。また、湿度についても、格納容器漏えい率に応じたわずかな湿度上昇はあるものの、アニュラス空気浄化設備起動後は、アニュラス外からの空気混入もあることから、それほど湿度が上がることはないため、フィルタの性能が低下することはない。したがって、微粒子フィルタ除去効率 99 % は確保できる。

- b. 保持容量について

泊発電所 3 号炉のアニュラス空気浄化設備の微粒子フィルタの保持容量は約 8.9 kg/6 枚(全 12 枚のうち上流側 6 枚) である。

評価期間中に原子炉格納容器からアニュラス部へ漏えいしたエアロゾルすべてが捕集されるという保守的な仮定で評価した結果が約 0.9 kg である。

これは、安定核種も踏まえて、格納容器から漏えいしてきた微粒子が全量フィルタに捕集されるものとして評価したものである。なお、よう素は全て粒子状よう素として評価した。(第 3 表及び第 1 図参照)

したがって、アニュラス空気浄化設備の微粒子フィルタには、エアロゾルを十分に捕集できる容量があるので、微粒子フィルタ除去効率 99 % は確保できる。

第 1 表 アニュラス空気浄化設備の微粒子フィルタ保持容量

微粒子フィルタ	アニュラス空気浄化設備
フィルタに捕集されるエアロゾル量	約 0.9 kg
保持容量	約 8.9 kg

2. よう素フィルタの除去効率について

アニュラス空気浄化設備のよう素フィルタは有機よう素及び元素状よう素の除去効率の評価条件として 95 %を用いている。よう素フィルタについては、定期事業者検査で上記除去効率が確保できていることを確認している。

- アニュラス空気浄化設備のよう素フィルタ

- a. 温度及び湿度条件について

よう素フィルタは、低温条件下での除去性能が低いことが分かっており、重大事故時のよ
うな温度が高い状態であれば、化学反応が進行しやすく除去効率が高くなる傾向がある。

また、湿度に対しては、低湿度の方が高い除去効率を発揮できるが、先のとおり、格納容
器漏えい率に応じたわずかな湿度上昇はあるものの、アニュラス空気浄化設備起動後は、ア
ニュラス外からの空気混入もあることから、それほど湿度が上がることはない。したがって、
温度及び湿度の影響によりフィルタの性能が低下することではなく、よう素フィルタ除去効率
として 95 %は確保できる。なお、温湿度条件を踏まえた除去効率の妥当性の詳細について
は、添付に示す。

- b. 吸着容量について

泊発電所 3 号炉のアニュラス空気浄化設備のよう素フィルタの吸着容量は、約 1.4 kg/34
枚である。

評価期間中に原子炉格納容器からアニュラス部へ漏えいしたよう素すべてが吸着される
という保守的な仮定で評価した結果が約 20 g である。

これは、微粒子フィルタと同様の手法で評価したものである（安定核種も考慮）。ただし、
よう素の化学形態は全て元素状よう素または有機よう素とした。（第 3 表及び第 2 図参照）

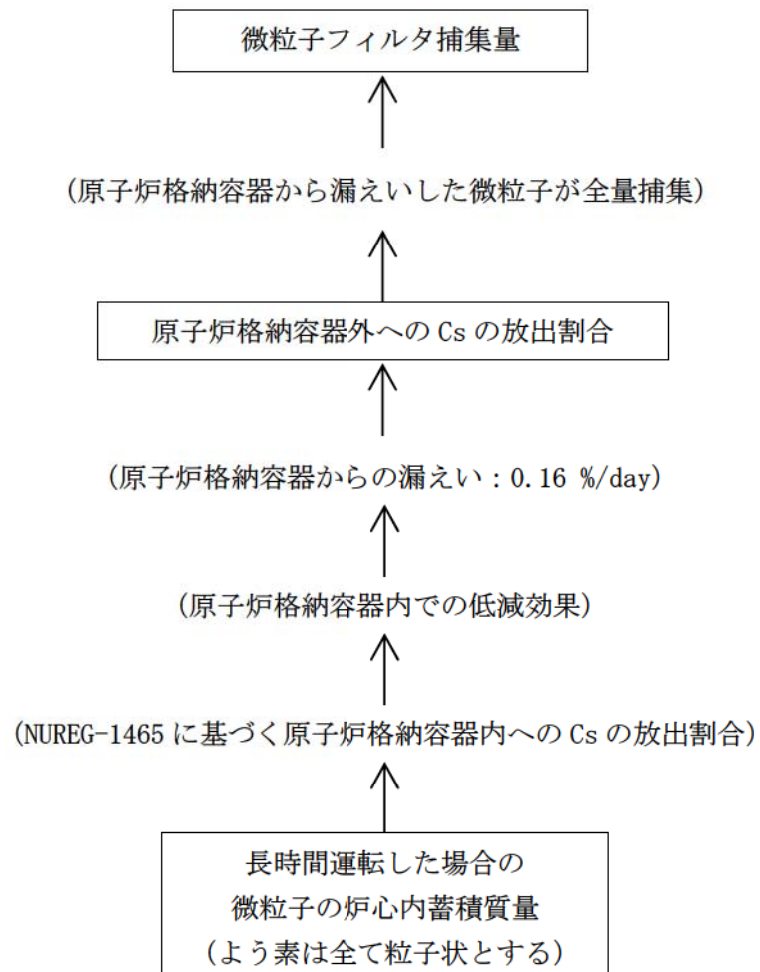
したがって、アニュラス空気浄化設備のよう素フィルタには、よう素を十分に吸着できる
容量があるので、よう素フィルタ除去効率 95 %は確保できる。

第 2 表 アニュラス空気浄化設備のよう素フィルタ吸着容量

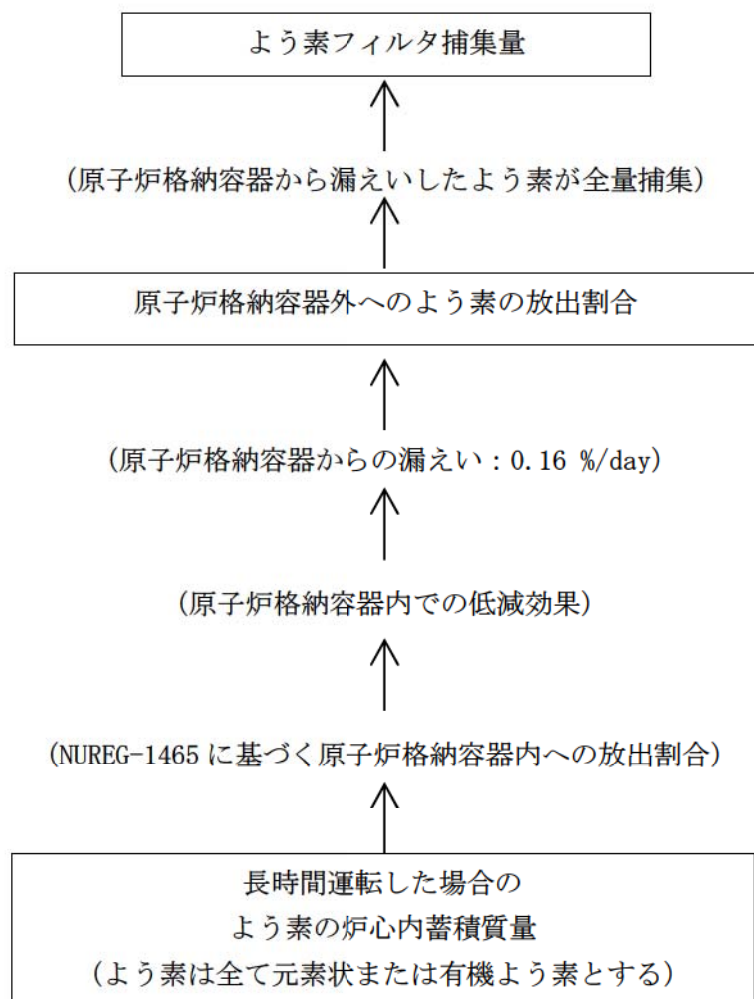
よう素フィルタ	アニュラス空気浄化設備
フィルタに捕集されるよう素量	約 20 g
吸着容量	約 1.4 kg

第3表 炉心内蓄積質量（安定核種を含む）

核種	炉心内蓄積質量 (kg)
よう素類 (よう素)	2. 1E+01 (2. 0E+01)
Cs 類	3. 0E+02
Te 類	5. 0E+01
Ba 類	2. 1E+02
Ru 類	6. 9E+02
Ce 類	9. 4E+02
La 類	1. 0E+03
合計	3. 2E+03



第1図 アニュラス空気浄化設備の微粒子フィルタ捕集量評価の過程



第2図 アニュラス空気浄化設備のよう素フィルタ捕集量評価の過程

添付

よう素フィルタの湿度条件等を踏まえた除去効率の妥当性について

(1) よう素フィルタ除去効率試験について

よう素フィルタについては、定期事業者検査においてよう素フィルタ除去効率試験を実施し、よう素除去性能が要求性能（除去効率95 %以上）を満足することを確認している。

その際の試験条件は「温度：30 °C、湿度：95 %RH」である。

なお、よう素フィルタは高温、低湿度の方が高い除去効率を発揮できる傾向にある。

(2) 泊発電所の温度状況について

泊発電所の温度状況については、設置許可添付 6 に記載する月別の最高温度の平均値、最低気温の平均値（統計期間 1991 年～2020 年）によると、最高値及び最低値はそれぞれ 25.6 °C、-5.8 °C である。

ただし、過去に本評価を行った際の評価条件は、当時の最高値及び最低値である、25.6 °C、-6.1 °C であった（統計期間 1981～2010 年）。以前の評価条件の方が包絡的な評価となるため、過去に実施した評価条件での検討結果を記載する。

表 1 泊発電所周辺の温度状況（設置許可添付 6 に記載する温度の抜粋）

泊発電所の最寄りの気象官署	寿都特別地域 気象観測所		小樽特別地域 気象観測所	
	8月	1月	8月	1月
最高気温月／最低気温月				
最高気温の平均値／最低気温の平均値	24.6 °C	-4.7 °C	25.6 °C	-5.8 °C

(3) 泊発電所の相対湿度状況について

2011年及び2012年の1月～12月までの泊発電所内の相対湿度データに関して日平均として整理した。

横軸に各日単位で1年間、縦軸に日平均の相対湿度を示す。この結果、95 %RH以上の相対湿度の高い日ではなく、相対湿度90 %RH以上は年間13日（2011年）、1日（2012年）であった。

従って、日平均の相対湿度において、フィルタの性能に影響する日平均の相対湿度95 %RHは年間を通してなく、相対湿度90 %RH以上は年間最大4 %程度である。

なお、2011年においても確認を行ったところ、日平均の相対湿度95%RHは年間を通して2日間しかなく、相対湿度90 %RH以上となるのは年間20日（5%程度）であった。

泊　日平均相対湿度（2011年、2012年）

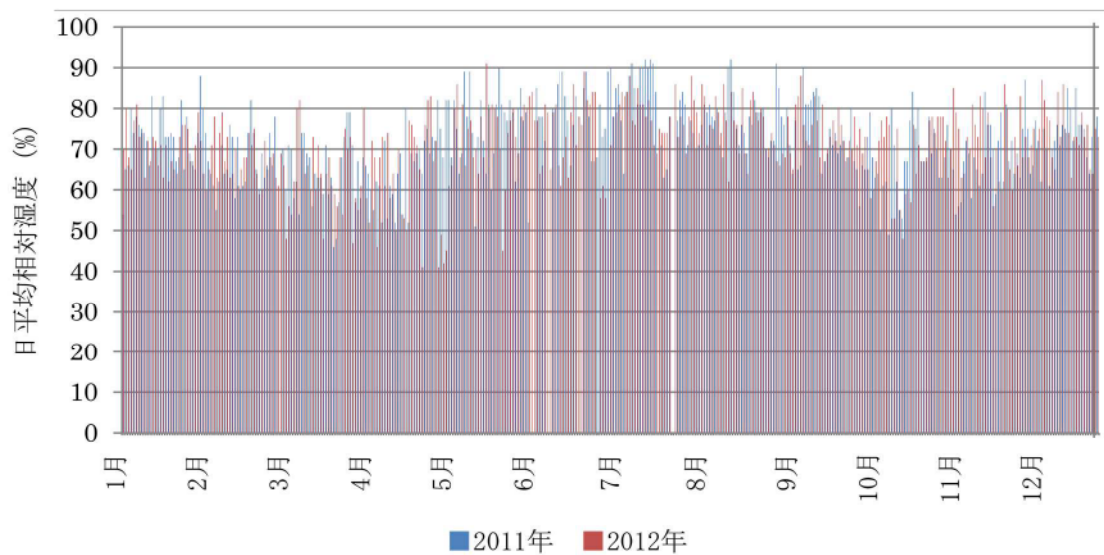


図1 2011年1月～2012年12月の日平均の相対湿度

(4) 事故時のように素フィルタ処理空気条件について

a. アニュラス空気浄化設備

アニュラス空気浄化設備の系統構成を図2に示す。重大事故時のアニュラスには、格納容器から水蒸気が侵入し、格納容器以外から外気が侵入してくる。具体的には、格納容器からの水蒸気侵入量が約7.5 kg/h^(注1)であり、格納容器以外からの水蒸気を含む空気の侵入量は、約3000 m³/h^(注2)である。

泊発電所周辺の夏季及び冬季の外気の温度、湿度を(2)項及び(3)項より25.6 °C, 95 %RH及び-6.1 °C, 95 %RHとすると、重大事故時のアニュラス内空気の水蒸気分圧は、それぞれ、約4.0 kPa、約0.92 kPa^(注3)となる。事故時のアニュラスは、格納容器からの伝熱により通常時の温度(40 °C程度)以下になることは考えられないため、アニュラス内温度を40 °Cと想定した場合、この時の相対湿度は55 %RH以下となり^(注4)、よう素フィルタの効率は確保できる。

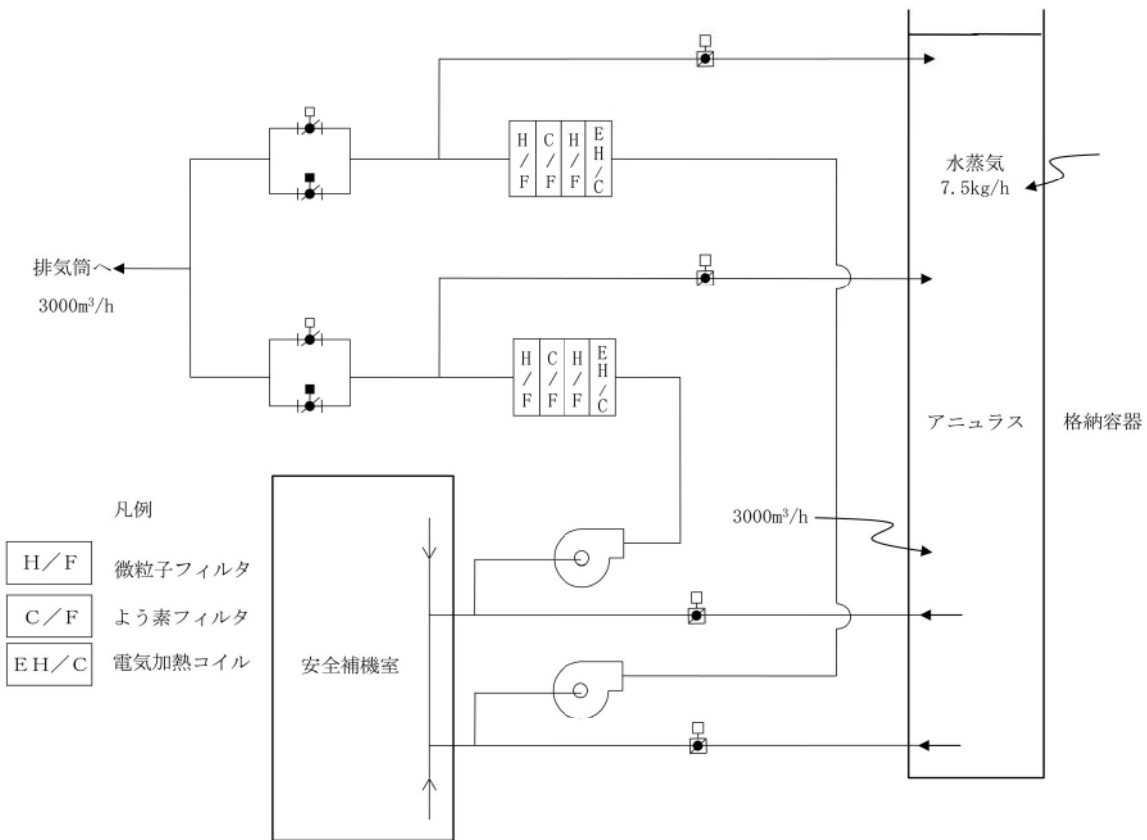


図2 泊3号炉 アニュラス空気浄化設備系統構成

(注1) 格納容器からの水蒸気侵入量は、格納容器内最大質量と格納容器漏えい率より算出している。格納容器内水蒸気最大質量は解析結果の最大値約112000 kgとし、格納容器漏えい率は被ばく評価条件0.16 %/日としている。

(注2) アニュラス少量排気量

(注3) 25.6 °C, 95 %RH及び-6.1 °C, 95 %RHの時のアニュラス内水蒸気分圧は、以下の通りとなる。

外気条件	25.6 °C, 95 %RH	-6.1 °C, 95 %RH
水蒸気密度【 ρ_o' 】	0.024 kg/m ³	0.0049 kg/m ³
空気密度【 ρ_o 】	1.1 kg/m ³	1.3 kg/m ³
アニュラス少量排気量 (L)	3000 m ³ /h	
CV 以外の水蒸気侵入量 【 $M_o' = \rho_o' \times L$ 】	72 kg/h	14.7 kg/h
CV 以外の空気侵入量 【 $M_o = \rho_o \times L$ 】	3300 kg/h	3900 kg/h
CV からの水蒸気侵入量 ($M_{cv'}$)	7.5 kg/h	
アニュラス内空気絶対湿度 【 $X = (M_o' + M_{cv'}) / M_o$ 】	0.025 kg'/kg	0.0057 kg'/kg
アニュラス内水蒸気分圧 【 $P_w = P \times X / (0.622 + X)$ 】 $P = 101.3$ (kPa) (大気圧)	約4.0 kPa	約0.92 kPa

(注4) 事故時のアニュラス内温度を 40 °C とすると、40 °C の飽和水蒸気分圧は7.4 kPaであるから、アニュラス内空気の相対湿度は、以下の通りとなる。

$$25.6 \text{ °C, } 95 \text{ %RH時 : } 4.0 \text{ kPa} / 7.4 \text{ kPa} \times 100 = 54.1 \text{ %RH}$$

$$-6.1 \text{ °C, } 95 \text{ %RH時 : } 0.92 \text{ kPa} / 7.4 \text{ kPa} \times 100 = 12.5 \text{ %RH}$$

被ばく評価に用いた気象資料の代表性について

敷地において観測した1997年1月から1997年12月までの1年間の気象資料により解析を行うに当たり、この1年間の気象資料が長期間の気象状態を代表しているかどうかの検討を行った結果、代表性があると判断した。以下に検定方法及び検定結果を示す。

(1) 検定方法

a. 本居住性評価では、保守的に地上風（標高20m）の気象データを使用して被ばく評価を実施しているが、気象データの代表性を確認するにあたり、標高20mの観測点に加えて排気筒高さ付近を代表する標高84mの観測記録を用いて検定を行った。

b. データ統計期間

統計年：2011年1月～2020年12月（10年間）

検定年：1997年1月～1997年12月

c. 検定方法

異常年かどうか、F分布検定により検定を行った。

(2) 検定結果

第1表に検定結果を示す。また、標高20mでの棄却検定表（風向別出現頻度）及び（風速階級別出現頻度）を第2表及び第3表に、標高84mでの棄却検定表を第4表及び第5表に示す。

標高20m、標高84mでの観測点共に27項目のうち、有意水準（危険率）5%で棄却された項目は、標高20mは0個、標高84mは3個（風向（2項目）及び風速階級（1項目））であり、いずれも過去の安全審査において代表性が損なわれないと判断された棄却項目数（1～3項目）の範囲に入っていることから、検定年が十分長期間の気象状態を代表していると判断される。

第1表：異常年検定結果

観測点	観測項目	検定結果
標高20m	風向別出現頻度	棄却項目なし
	風速階級別出現頻度	棄却項目なし
標高84m	風向別出現頻度	2項目棄却 (風向：SSE, W)
	風速階級別出現頻度	1項目棄却 (風速階級：0.5m/s～1.4m/s)

第2表 瓦却檢定表(風向別出現頻度)(標高 20m)

風向	統計年	觀測場所: 敷地内Z点 標高20m、地上高10m (%)										判定 ○採擷 ×棄却			
		2011	2012	2013	2014	2015	2016	2017	2018	2019	2020	平均值	1997	上限	下限
N	3.17	2.90	3.39	3.98	3.77	3.44	3.66	3.03	2.84	2.82	3.30	2.81	4.28	2.32	○
NNE	2.29	2.15	1.96	2.00	2.24	1.74	1.84	2.21	1.74	1.85	2.00	2.19	2.50	1.50	○
NE	3.50	3.91	3.69	4.52	4.48	3.36	4.86	4.80	4.66	4.70	4.25	4.71	5.61	2.89	○
ENE	6.77	6.66	5.66	8.14	6.68	6.63	8.21	7.09	7.25	7.04	5.95	8.83	5.25	○	
E	9.65	15.28	15.71	15.19	15.02	14.92	14.34	13.64	13.66	14.24	14.17	11.46	18.28	10.06	○
ESE	11.35	9.29	8.65	5.98	6.82	6.44	7.02	7.83	8.07	9.11	8.06	11.04	11.89	4.23	○
SE	4.60	7.35	6.04	6.71	7.15	7.87	5.89	5.40	5.01	6.02	6.20	6.42	8.71	3.69	○
SSE	2.62	2.54	2.48	2.34	2.76	2.31	2.47	2.56	2.36	2.52	2.50	2.76	2.83	2.17	○
S	1.09	1.41	1.46	1.30	1.50	1.37	0.89	0.94	0.93	0.79	1.17	1.06	1.81	0.53	○
SSW	0.73	0.72	0.86	0.66	0.59	0.55	0.75	0.90	0.63	0.76	0.72	0.81	0.98	0.46	○
SW	1.60	1.75	2.52	1.95	1.61	1.82	1.69	2.38	2.06	2.26	1.96	1.84	2.74	1.18	○
WSW	3.56	2.82	3.42	3.36	3.15	2.60	3.08	4.38	3.25	4.99	3.46	4.00	5.16	1.76	○
W	10.82	7.91	9.58	9.54	9.60	7.09	8.46	9.56	8.74	9.56	9.09	9.92	11.60	6.58	○
WNW	15.98	15.40	14.68	13.09	13.22	15.92	16.30	15.97	18.84	16.53	15.59	15.49	19.55	11.63	○
NW	13.92	14.02	13.14	13.45	13.36	17.47	13.74	12.50	13.70	10.95	13.63	13.20	17.49	9.77	○
NNW	7.69	5.46	5.43	7.20	7.38	5.75	6.18	5.98	5.35	4.26	6.07	5.38	8.61	3.53	○

第3表 瓦却檢定表(風速階級別出現頻度)(標高 20m)

風速 階級 (m/s)	統計年	觀測場所: 敷地内Z点 標高20m、地上高10m (%)										判定 ○採擷 ×棄却			
		2011	2012	2013	2014	2015	2016	2017	2018	2019	2020	平均值	1997	上限	下限
0.0~0.4	0.64	0.43	1.33	0.59	0.67	0.71	0.63	0.82	0.92	1.37	0.81	0.95	1.55	0.07	○
0.5~1.4	7.99	6.08	7.63	8.98	8.93	7.84	10.45	11.76	11.38	10.54	9.16	11.76	13.51	4.81	○
1.5~2.4	16.38	15.84	13.44	17.13	18.09	15.15	16.09	16.47	15.40	16.07	16.01	15.14	18.94	13.08	○
2.5~3.4	13.38	13.92	11.61	13.41	14.23	12.30	13.71	12.60	12.05	13.19	13.04	14.44	15.08	11.00	○
3.5~4.4	11.04	11.83	12.36	12.23	10.78	12.70	11.67	10.52	12.12	11.76	11.92	13.53	9.99	○	
4.5~5.4	9.79	12.34	13.84	12.47	12.30	11.67	9.57	10.96	10.65	11.62	9.68	14.83	8.41		
5.5~6.4	8.05	9.34	8.39	7.16	7.65	8.10	7.22	7.28	7.62	7.36	7.82	7.13	9.43	6.21	
6.5~7.4	6.45	5.11	5.40	4.90	4.93	5.03	5.18	5.55	5.60	5.57	5.37	5.75	6.47	4.27	○
7.5~8.4	4.26	4.31	4.57	4.25	4.13	4.39	3.81	4.61	4.85	4.51	4.37	4.55	5.05	3.69	○
8.5~9.4	4.06	3.43	4.00	3.37	3.37	4.46	4.02	3.74	4.47	3.89	3.88	4.26	4.85	2.91	○
9.5~	17.95	17.38	17.43	15.27	13.29	18.96	14.54	15.91	16.23	14.74	16.17	14.43	20.35	11.99	○

第4表 乘却検定表(風向別出現頻度)(標高 84m)

風向	統計年	観測場所: 敷地内C点 標高84m、地上高10m (%)										判定 ○採択 ×棄却			
		2011	2012	2013	2014	2015	2016	2017	2018	2019	2020	平均値			
N	1.55	1.62	1.42	1.53	1.48	1.17	1.33	1.03	1.44	1.23	1.38	1.23	1.82	0.94	○
NNE	0.87	1.10	0.86	1.02	1.38	1.24	1.50	1.17	1.10	1.21	1.15	1.23	1.63	0.67	○
NE	3.18	3.47	3.28	4.11	3.19	3.04	3.73	3.26	3.02	3.23	3.35	3.41	4.15	2.55	○
ENE	11.13	10.25	11.21	14.75	13.73	13.00	14.83	13.67	13.70	12.30	12.86	10.87	16.61	9.11	○
E	19.47	23.30	22.09	18.29	19.84	18.19	16.62	18.23	18.46	20.63	19.51	20.26	24.30	14.72	○
EE	3.69	5.91	4.64	4.44	5.09	5.72	4.69	5.40	4.74	5.83	5.02	5.31	6.70	3.34	○
SE	2.40	2.57	2.16	1.78	1.59	2.45	1.97	1.98	2.05	2.20	2.12	2.77	2.85	1.39	○
SSE	0.49	0.62	0.59	0.76	0.72	0.88	0.62	0.68	0.72	0.82	0.69	1.03	0.96	0.42	×
S	0.85	0.89	0.87	0.71	0.66	0.53	0.62	0.70	0.60	0.75	0.72	0.70	1.01	0.43	○
SSW	0.54	0.63	0.66	0.73	0.77	0.70	0.82	0.70	0.69	0.74	0.70	0.67	0.88	0.52	○
SW	1.10	1.10	1.18	0.87	0.88	0.63	0.81	1.03	0.69	0.75	0.90	0.61	1.35	0.45	○
WSW	4.14	3.42	3.26	2.05	1.54	1.70	1.61	1.97	1.94	1.76	2.34	3.91	4.51	0.00	○
W	19.82	16.69	17.41	19.92	18.61	15.95	17.15	17.73	16.01	17.97	17.93	14.10	21.47	14.39	×
WW	16.42	17.00	17.15	18.01	18.13	24.52	21.02	19.50	23.83	20.37	19.60	22.17	26.33	12.87	○
NW	11.59	8.77	8.76	8.40	9.26	8.13	10.31	10.29	8.57	7.75	9.18	9.30	12.01	6.35	○
NNW	1.88	1.70	1.54	1.92	2.13	1.79	1.72	1.84	1.64	1.68	1.78	2.01	2.18	1.38	○

第5表 乗却検定表(風速階級別出現頻度)(標高 84m)

風速 (m/s)	統計年	観測場所: 敷地内C点 標高84m、地上高10m (%)										判定 ○採択 ×棄却			
		2011	2012	2013	2014	2015	2016	2017	2018	2019	2020	平均値			
0.0~0.4	0.88	0.97	0.91	0.73	1.00	0.38	0.66	0.81	0.80	0.76	0.79	0.42	1.22	0.36	○
0.5~1.4	8.87	8.82	7.79	8.62	9.20	7.07	9.55	8.73	8.94	8.34	8.59	6.11	10.28	6.90	×
1.5~2.4	14.79	15.76	13.79	16.75	16.16	14.37	15.37	14.60	13.96	15.06	15.06	15.25	17.33	12.79	○
2.5~3.4	15.33	14.30	13.71	14.48	13.98	13.46	13.80	13.49	12.02	12.66	13.72	15.10	15.92	11.52	○
3.5~4.4	11.64	11.56	10.87	11.66	10.80	11.31	10.94	9.73	10.16	11.02	11.97	12.58	9.46	○	
4.5~5.4	9.17	9.02	9.41	9.06	9.62	8.11	9.47	9.02	9.34	9.81	9.20	9.91	10.31	8.09	○
5.5~6.4	7.62	7.19	8.40	7.70	7.47	7.75	7.62	7.94	8.48	8.36	7.85	8.23	8.88	6.82	○
6.5~7.4	6.47	6.23	6.99	5.93	6.39	6.76	7.25	6.16	7.67	7.93	6.78	6.49	8.37	5.19	○
7.5~8.4	5.27	5.50	5.75	5.61	5.50	6.16	5.53	5.62	6.10	6.01	5.71	5.45	6.41	5.01	○
8.5~9.4	4.23	5.24	4.54	4.38	3.86	5.93	4.41	5.55	5.67	4.91	4.87	4.91	6.52	3.22	○
9.5~	15.72	15.39	17.22	15.86	15.16	19.21	15.03	17.14	17.29	15.99	16.40	16.14	19.49	13.31	○

湿性沈着を考慮した地表面沈着速度の設定について

1. 湿性沈着を考慮した地表面沈着速度の設定について

本評価においては、地表面への沈着を評価する際、降雨による湿性沈着を考慮して地表面沈着濃度を評価している。

以下に今回、湿性沈着を考慮した地表面沈着速度を乾性沈着の4倍として設定した妥当性について示す。

1.1 乾性沈着率と湿性沈着率の算定方法について

以下の計算式から乾性沈着率と地表沈着率（単位時間あたりの沈着量）を求める。ここでは放射性崩壊による減少効果については式に含んでいないが、別途考慮している。また、放出源からの放出が継続する時間と沈着を考慮する時間は同じとしている。

(1) 乾性沈着率

単位放出率あたりの乾性沈着率は線量目標値評価指針の式と同様に以下の式で表される。

$$D_{di} = V_{gd} \cdot \chi / Q_0 \quad \dots \dots \dots \quad (1)$$

D_{di} : 単位放出率あたりの乾性沈着率 [1/m²]

V_{gd} : 沈着速度 [m/s]

χ / Q_0 : 地上の相対濃度 [s/m³] (地上放出時の軸上濃度)

(2) 湿性沈着率

単位放出率当たりの湿性沈着率は線量目標値評価指針に降水時の沈着量評価の参考資料として挙げられている Chamberlain の研究報告*より濃度を相対濃度 (χ/Q) で表現すると以下の式で表される。

$$D_n = \Lambda \cdot \int_0^\infty \chi/Q(z) dz \quad \dots \quad (2)$$

Dri : 単位放出率あたりの湿性沈着率 [$1/m^2$]

Λ : 洗淨係数 [1/s]

$\chi / Q(z)$: 鉛直方向の相対濃度分布 [s/m³]

ここで、 $\chi/Q_{(z)}$ が正規分布をとると仮定すると、

$$D_{ri} = \Lambda \cdot \chi/Q_0 \cdot \sqrt{2\pi} \cdot \Sigma z \quad \dots \dots \dots \quad (3)$$

Σz : 鉛直拡散幅 [m]

χ/Q_0 : 相対濃度 [s/m³] (鉛直方向の軸上濃度分布)

* Chamberlain, A. C. : Aspects of Travel and Deposition of Aerosol and Vapour Cloud, AERE HP/R1261 (1955)

(3) 地表沈着率

上記(1)式と(3)式から、地表沈着率は、以下の式で表される。

$$A = D_{di} + D_{ri} = V_{gd} \cdot \chi/Q_0 + \Lambda \cdot \chi/Q_0 \cdot \sqrt{2\pi} \cdot \Sigma z \quad \dots \dots \dots \quad (4)$$

A : 単位時間あたりの地表沈着率 [1/m²]

1.2 地表面濃度評価時の地表沈着率

今回の評価においてグランドシャイン線量が大きい評価点について、地表沈着率は年間を通じて1時間ごとの気象条件に対して、(1)式及び(3)式から各時間での沈着率を算出し、そのうちの年間97%積算値を取った。一方で、乾性沈着のみを考慮して年間97%積算値を想定した乾性沈着率（すなわち χ/Q の97%積算値×沈着速度）との比を(5)式のようにとると、第1表のとおり、約1.1倍であった。

$$\frac{D_{di} + D_{ri}}{D_{di}} = \frac{\left(V_{gd} \cdot \chi/Q_{0t} + \Lambda \cdot \chi/Q_{0t} \cdot \sqrt{2\pi} \cdot \Sigma z \right)_{97\%}}{V_{gd} \cdot (\chi/Q_0)_{97\%}} \quad \dots \dots \dots \quad (5)$$

()_{97%} : 年間の97%積算値

χ/Q_{0t} : 時刻 t の相対濃度 [s/m³] (鉛直方向の軸上濃度分布)

第1表 泊発電所3号炉における湿性沈着量評価（評価点⑧）

累積出現頻度97%値	χ/Q (s/m ³)	約 4.4×10^{-4}
	① 乾性沈着率 (1/m ²)	約 1.3×10^{-6}
累積出現頻度97%値	② 地表面沈着率 (1/m ²) (乾性+湿性)	約 1.5×10^{-6}
	降雨量 (mm/h)	0
降雨時と非降雨時の比 (②/①)		約 1.1

以上より、湿性沈着を考慮した沈着率は、 χ/Q 97%積算値を使用した場合の乾性沈着率に比べ、4倍を下回る結果が得られたことから、今回の評価において湿性沈着を考慮した沈着速度

を乾性沈着の4倍とすることは保守的な評価であると考えられる。

なお、評価に使用するパラメータを第2表に示す。

第2表 地表沈着関連パラメータ

パラメータ	値	備考
乾性沈着速度 V_{gd}	0.3 (cm/s)	NUREG/CR-4551 Vol. 2
鉛直拡散幅 Σz	気象指針に基づき計算 $\Sigma_z = \sqrt{(\sigma_z^2 + cA/\pi)}$	1時間ごとの値を算出。 ・ 建屋投影面積 A : 2700 (m ²) ・ 形状係数 c : 0.5 ・ σ_z : 鉛直方向の平地の拡散パラメータ (m)
洗浄係数 Λ	$\Lambda = 9.5E-5 \times Pr^{0.8} (s^{-1})$ Pr : 降水強度 (mm/h)	日本原子力学会標準「原子力発電所の確率論的安全評価に関する実施基準（レベル3PSA編）：2008」(NUREG-1150 解析使用値として引用)
気象条件	1997年	1997年1月～1997年12月の1時間ごとの風向、風速、降水量を使用

2. 乾性沈着速度の設定について

乾性の沈着速度 0.3 cm/s は NUREG/CR-4551 (参考文献 1) に基づいて設定している。NUREG/CR-4551 では郊外を対象とし、郊外とは道路、芝生及び木・灌木の葉で構成されるとしている。原子力発電所内も同様の構成であるため、郊外における沈着速度が適用できると考えられる。また、NUREG/CR-4551 では $0.5 \mu\text{m} \sim 5 \mu\text{m}$ の粒径に対して検討されており、種々のシビアアクシデント時の粒子状物質の粒径の検討 (添付 2 参照) から、居住性評価における粒子状物質の大部分は、この粒径範囲内にあると考えられる。

また、W.G.N. Slinn の検討によると、草や水、小石といった様々な材質に対する粒径に応じた乾性の沈着速度を整理しており、これによると $0.1 \mu\text{m} \sim 5 \mu\text{m}$ の粒径では沈着速度は 0.3 cm/s 程度である。

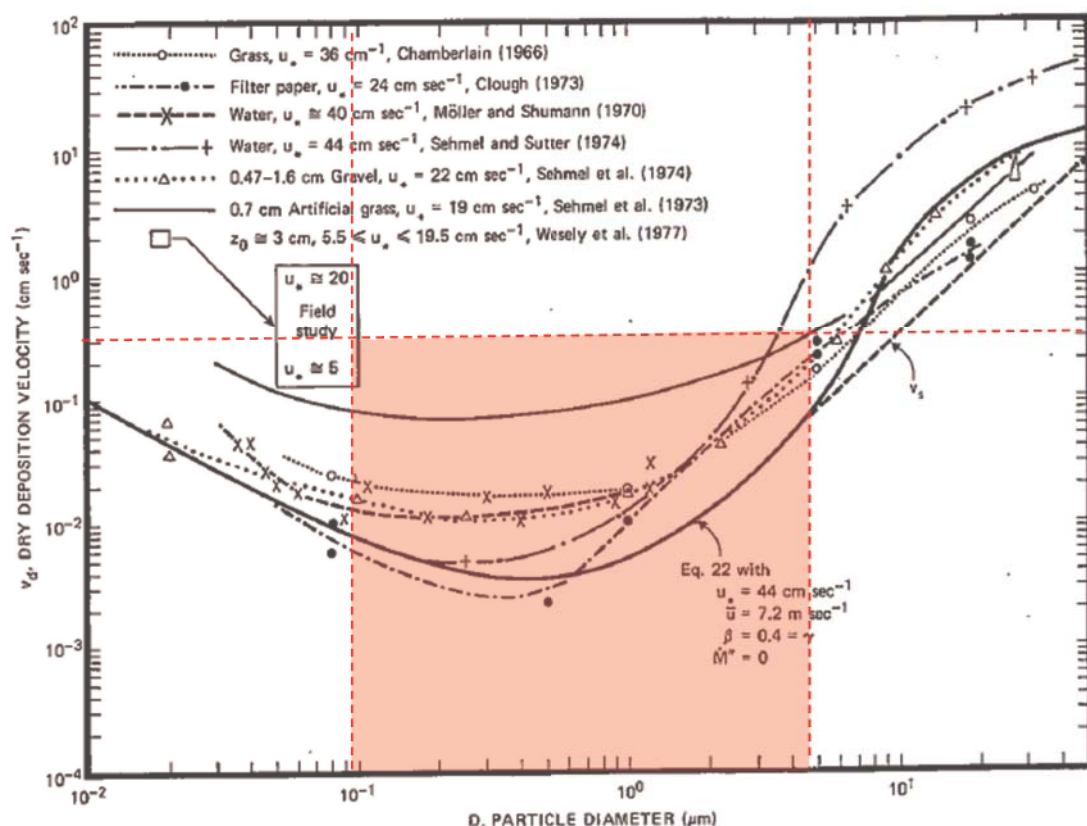


Fig. 4 Dry deposition velocity as a function of particle size. Data were obtained from a number of publications.¹⁹⁻²⁵ The theoretical curve appropriate for a smooth surface is shown for comparison. Note that the theoretical curve is strongly dependent on the value for u_* and that Eq. 22 does not contain a parameterization for surface roughness. For a preliminary study of the effect of surface roughness and other factors, see Ref. 5.

図 様々な粒径における地表面沈着速度 (参考文献 2)

また、本評価における被ばく評価へのシナリオを考慮した場合、エアロゾルの粒径の適用性は以下のとおりである。

シビアアクシデント時に、放射性物質を含むエアロゾルの放出においては、以下の除去過程が考えられる。

①格納容器内の沈着による除去過程

格納容器内のエアロゾルの重力沈降速度は、エアロゾルの粒径の二乗に比例する。例えば、エアロゾル粒径が $5 \mu\text{m}$ の場合、その沈着率は、NUPEC 報告書（参考文献 3）より現行考慮しているエアロゾルの粒径 $1 \mu\text{m}$ の場合に比べ 25 倍となる。したがって、粒径の大きいエアロゾルほど格納容器内に捕獲されやすくなる。

②アニュラス空気浄化設備微粒子フィルタによる除去過程

アニュラス空気浄化設備の微粒子フィルタについては、最大透過粒子径 $0.15 \mu\text{m}$ を考慮した単体試験にて、フィルタ効率性能（99.97 %以上）を確認している。

微粒子フィルタは、粒子径 $0.15 \mu\text{m}$ が最も捕獲しにくいことが明らかとなっており（Ref. JIS Z 4812）、粒子径がこれにより大きくなると、微粒子フィルタの捕獲メカニズム（慣性衝突効果等）によりフィルタ纖維に粒子が捕獲される割合が大きくなる。以上より、 $5 \mu\text{m}$ 以上の粒径の大きいエアロゾルは、最もフィルタを透過しやすい粒子径 $0.15 \mu\text{m}$ に比べ相対的に捕獲されやすいといえる。

このため、本評価シナリオにおいては、アニュラス空気浄化設備起動前では上記①の除去過程にて、相対的に粒子径の大きいエアロゾルは多く格納容器内に捕獲される。また、アニュラス空気浄化系起動後では、①及び②の除去過程で、 $5 \mu\text{m}$ 以上の粒径のエアロゾルは十分に捕獲され、それら粒径の大きなエアロゾルの放出はされにくいと考えられる。

以上より、種々のシビアアクシデント時のエアロゾルの粒径の検討から粒径の大部分は $0.1 \mu\text{m} \sim 5 \mu\text{m}$ の範囲にあること、また、沈着速度が高い傾向にある粒径が大きなエアロゾルは大気へ放出されにくい傾向にあることから、本評価における乾性沈着速度として 0.3 cm/s を適用できると考えている。

参考文献 1

J. L. Sprung 等: Evaluation of severe accident risks: quantification of major input parameters, NUREG/CR-4451 Vol. 2 Rev. 1 Part 7, 1990

参考文献 2

W. G. N. Slinn : Environmental Effects, Parameterizations for Resuspension and for Wet and Dry Deposition of Particles and Gases for Use in Radiation Dose Calculations, Nuclear Safety Vol. 19 No. 2, 1978

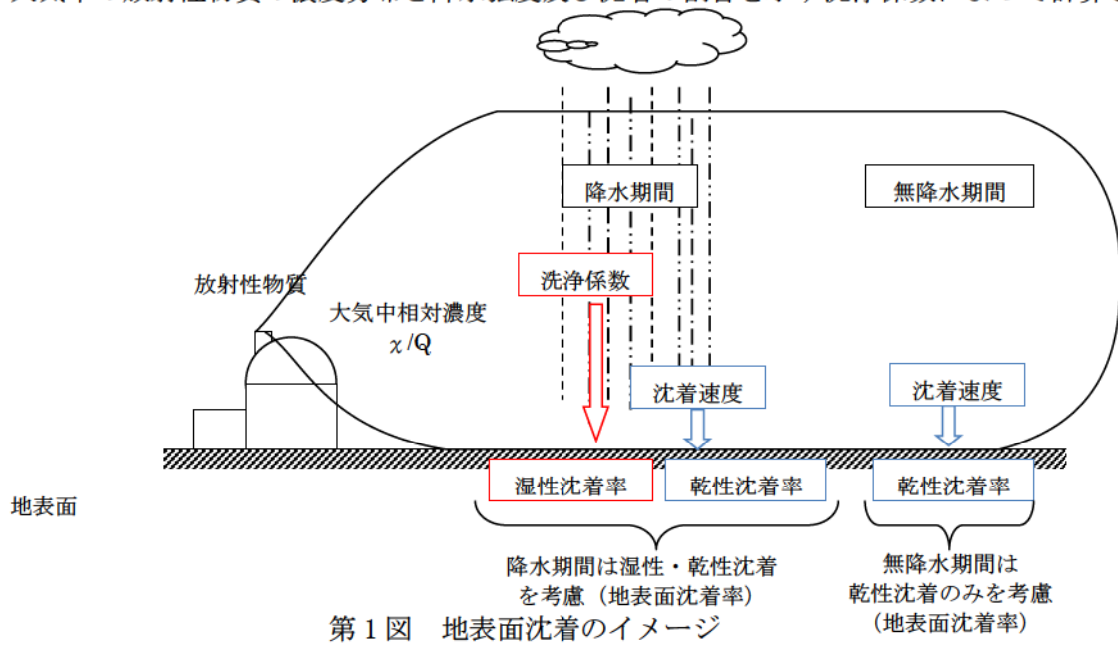
参考文献 3

NUPEC 「平成 9 年度 NUREG-1465 のソースタームを用いた放射性物質放出量の評価に関する報告書 (平成 10 年 3 月)」

地表面沈着率の累積出現頻度 97 % 値の求め方について

1. 地表面沈着について

第1図及び式①に示すように地面への放射性物質の沈着は、乾性沈着と湿性沈着によって発生する。乾性沈着は地上近くの放射性物質が、地面状態等によって決まる沈着割合（沈着速度）に応じて地面に沈着する現象であり、放射性物質の地表面濃度に沈着速度をかけることで計算される。湿性沈着は降水によって放射性物質が雨水に取り込まれ、地面に落下・沈着する現象であり、大気中の放射性物質の濃度分布と降水強度及び沈着の割合を示す洗浄係数によって計算される。



＜地表面沈着率の計算式＞

$$D = D_d + D_w = \chi / Q_0 V_g + \int \chi / Q_{(z)} \Lambda dz \quad \dots \dots \dots \quad ①$$

D : 地表面沈着率 ($1/\text{m}^2$) (単位放出率当たり)

D_d : 乾性沈着率 ($1/\text{m}^2$)

D_w : 湿性沈着率 ($1/\text{m}^2$)

χ / Q_0 : 地上の相対濃度 (s/m^3) (地上放出時の軸上濃度)

$\chi / Q_{(z)}$: 鉛直方向の相対濃度分布 (s/m^3)

V_g : 沈着速度 (m/s)

Λ : 洗浄係数 ($1/\text{s}$)

ただし, $\Lambda = aP^b$

a, b : 洗浄係数パラメータ (-)

P : 降水強度 (mm/hr)

z : 鉛直長さ (m)

2. 地表面沈着率の累積出現頻度 97 %値の求め方

地表面沈着率の累積出現頻度は、気象指針に記載されている χ/Q の累積出現頻度 97 %値の求め方に基づいて計算した。具体的には以下の手順で計算を行った（第2図参照）。

(1) 各時刻における気象条件から、式①を用いて χ/Q 、乾性沈着率、湿性沈着率を1時間ごとに算出する。なお、評価対象方位以外に風が吹いた時刻については、評価対象方位における χ/Q がゼロとなるため、地表面沈着率（乾性沈着率+湿性沈着率）もゼロとなる。

第2図の例は、評価対象方位を NW, NNW とした場合であり、 χ/Q による乾性沈着率及び降水による湿性沈着率から地表面沈着率を算出する。評価対象方位（NW, NNW 方位）以外の方位に風が吹いた時刻については、地表面沈着率はゼロとなる。

(2) 上記(1)で求めた1時間毎の地表面沈着率を値の大きさ順に並びかえ、小さい方から数えて累積出現頻度が 97 %を超えたところの沈着率を、地表面沈着率の累積出現頻度 97 %値とする（地表面沈着率の累積出現頻度であるため、 χ/Q の累積出現頻度と異なる）。

The diagram illustrates the calculation of the cumulative frequency of surface deposition rates. It starts with a main table showing data for various times and wind directions. Annotations explain how specific data points are selected based on evaluation directions (NW, NNW) and non-rainy conditions. The data is then sorted by surface deposition rate in ascending order. A secondary table lists the sorted data, with the last two entries highlighted in red. An arrow points from the secondary table to the text '地表面沈着率の累積出現頻度 97 %値' (Cumulative frequency of surface deposition rate 97 %). A note at the bottom left states: '地表面沈着率の並び替えであり、気象条件によってχ/Qは必ずしも昇順に並ぶとは限らない。(従来のχ/Q計算とは順番が異なる)' (The arrangement is a sorting, and it is not necessarily true that χ/Q is always arranged in ascending order depending on meteorological conditions. (The order is different from conventional χ/Q calculations)).

日時	方位 (風向)	風速 (m/s)	大気 安定度	χ/Q (s/m ³)	乾性沈着率 (1/m ²) (①)		湿性沈着率 (1/m ²) (②)	地表面沈着率 (①+②)
					NW, NNW が評価対象方位の場合	降水がない時刻は、湿性沈着率はゼロ		
1/1 1:00	NW (SE)	1.0	D	$\bigcirc \times 10^{-4}$	$\bigcirc \times 10^{-7}$	0	0	$\bigcirc \times 10^{-7}$
1/1 2:00	NNW (SSE)	2.3	E	$\bigcirc \times 10^{-4}$	$\bigcirc \times 10^{-7}$	1.0	$\bigcirc \times 10^{-6}$	$\bigcirc \times 10^{-6}$
1/1 3:00	E (W)	3.1	D	—	—	1.5	—	0
...
12/21 23:00	NNW (SSE)	2.5	D	$\bigcirc \times 10^{-3}$	$\bigcirc \times 10^{-6}$	0	0	$\bigcirc \times 10^{-6}$

評価対象方位の時刻のみ χ/Q 及び乾性沈着率が出現

地表面沈着率を昇順に並び替え

地表面沈着率の累積出現頻度 97 %値 →

地表面沈着率の並び替えであり、気象条件によって χ/Q は必ずしも昇順に並ぶとは限らない。
(従来の χ/Q 計算とは順番が異なる)

No	出現頻度 (%)	χ/Q (s/m ³)	地表面沈着率 (①+②)
1	0.000	—	0
2	0.003	—	0
...			...
○○	97.004	$\bigcirc \times 10^{-4}$	$\bigcirc \times 10^{-7}$
○○	97.010	$\textcolor{red}{\bigcirc} \times 10^{-5}$	$\bigcirc \times 10^{-7}$
...			...
×××	100.000	$\bigcirc \times 10^{-4}$	$\bigcirc \times 10^{-6}$

第2図 地表面沈着率の累積出現頻度 97 %値の求め方

(評価対象方位が NW, NNW の例)

シビアアクシデント時のエアロゾルの粒径について

シビアアクシデント時に CV 内で発生する放射性物質を含むエアロゾルの粒径分布として $0.1 \mu\text{m} \sim 5 \mu\text{m}$ の範囲であることは、粒径分布に関して実施されている研究を基に設定している。

シビアアクシデント時には CV 内にスプレイ等による注水が実施されることから、シビアアクシデント時の粒径分布を想定し「CV 内でのエアロゾルの挙動」及び「CV 内の水の存在の考慮」といった観点で実施された表 1 の②, ⑤に示す試験等を調査した。さらに、シビアアクシデント時のエアロゾルの粒径に対する共通的な知見とされている情報を得るために、海外の規制機関（NRC など）や各国の合同で実施されているシビアアクシデント時のエアロゾルの挙動の試験等（表 1 の①, ③, ④）を調査した。以上の調査結果を表 1 に示す。

この表で整理した試験等は、想定するエアロゾル発生源、挙動範囲（CV, RCS 配管等）及び水の存在等に違いがあるが、エアロゾル粒径の範囲に大きな違いはなく、CV 内環境でのエアロゾルの粒径はこれらのエアロゾル粒径と同等な分布範囲を持つものと推定できる。

従って、過去の種々の調査・研究により示されている範囲をカバーする値として、 $0.1 \mu\text{m} \sim 5 \mu\text{m}$ の範囲のエアロゾルを想定することは妥当であると考える。

表 1 シビアアクシデント時のエアロゾル粒径についての文献調査結果

番号	試験名又は報告書名等	エアロゾル粒径 (μm)	備考
①	LACE LA2 ^{※1}	約 $0.5 \sim 5$ (図 1 参照)	シビアアクシデント時の評価に使用されるコードでの格納容器閉じ込め機能喪失を想定した条件とした比較試験。
②	NUREG/CR-5901 ^{※2}	$0.25 \sim 2.5$ (添付-1)	CV 内に水が存在し、溶融炉心を覆っている場合のスクラビング効果のモデル化を紹介したレポート。
③	AECL が実施した実験 ^{※3}	$0.1 \sim 3.0$ (添付-2)	シビアアクシデント時の炉心損傷を考慮した 1 次系内のエアロゾル挙動に着目した実験。
④	PBF-SFD ^{※3}	$0.29 \sim 0.56$ (添付-2)	シビアアクシデント時の炉心損傷を考慮した 1 次系内のエアロゾル挙動に着目した実験。
⑤	PHÉBUS FP ^{※3}	$0.5 \sim 0.65$ (添付-2)	シビアアクシデント時の FP 挙動の実験。(左記のエアロゾル粒径は PHÉBUS FP 実験の CV 内のエアロゾル挙動に着目した実験の結果。)

参考文献

- ※1 : J. H. Wilson and P. C. Arwood, Summary of Pretest Aerosol Code Calculations for LWR Aerosol Containment Experiments (LACE) LA2, ORNL
A. L. Wright, J. H. Wilson and P. C. Arwood, PRETEST AEROSOL CODE COMPARISONS FOR LWR AEROSOL CONTAINMENT TESTS LA1 AND LA2
- ※2 : D. A. Powers and J. L. Sprung, NUREG/CR-5901, A Simplified Model of Aerosol Scrubbing by a Water Pool Overlying Core Debris Interacting With Concrete
- ※3 : STATE-OF-THE-ART REPORT ON NUCLEAR AEROSOLS, NEA/CSNI/R (2009)5

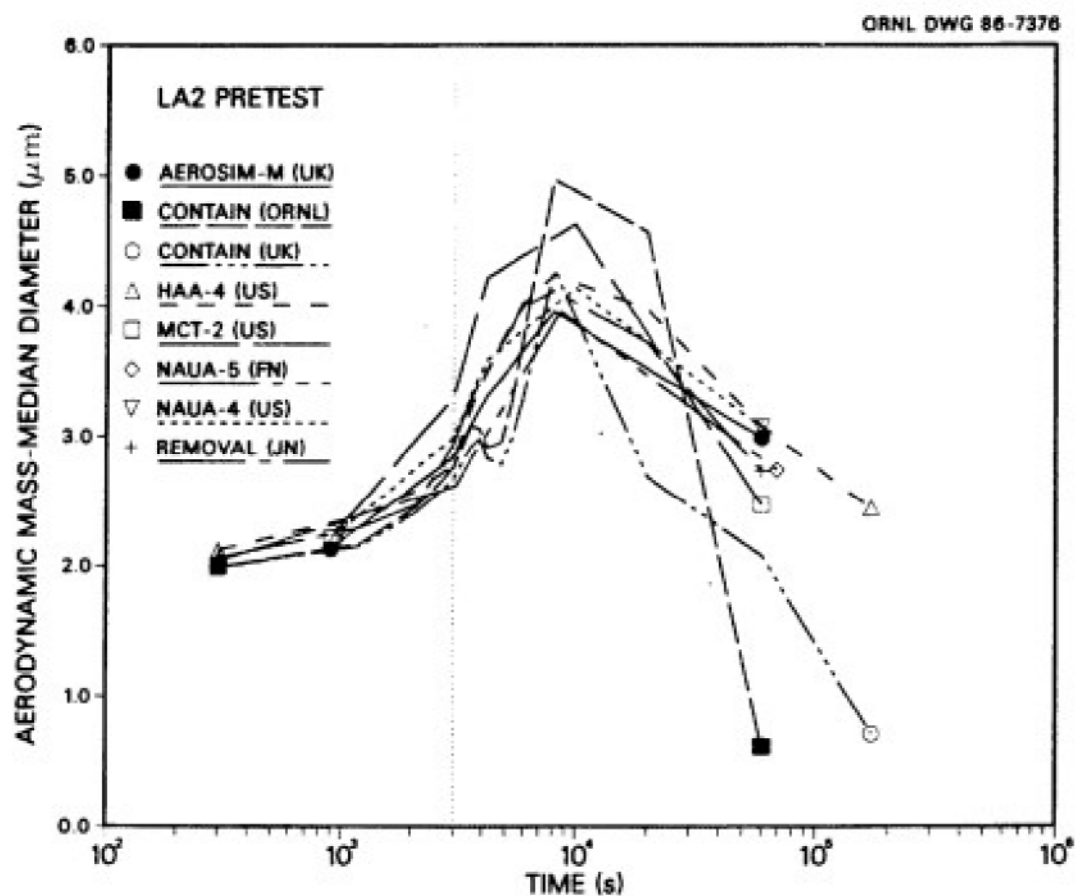


Fig. 11. LA2 pretest calculations — aerodynamic mass median diameter vs time.

第1図 LACE LA2 でのコード比較試験で得られたエアロゾル粒径の時間変化グラフ

so-called "quench" temperature. At temperatures below this quench temperature the kinetics of gas phase reactions among CO, CO₂, H₂, and H₂O are too slow to maintain chemical equilibrium on useful time scales. In the sharp temperature drop created by the water pool, very hot gases produced by the core debris are suddenly cooled to temperatures such that the gas composition is effectively "frozen" at the equilibrium composition for the "quench" temperature. Experimental evidence suggest that the "quench" temperature is 1300 to 1000 K. The value of the quench temperature was assumed to be uniformly distributed over this temperature range for the calculations done here.

(6) Solute Mass. The mass of solutes in water pools overlying core debris attacking concrete has not been examined carefully in the experiments done to date. It is assumed here that the logarithm of the solute mass is uniformly distributed over the range of ln(0.05 g/kilogram H₂O) = -3.00 to ln(100 g/kilogram H₂O) = 4.61.

(7) Volume Fraction Suspended Solids. The volume fraction of suspended solids in the water pool will increase with time. Depending on the available facilities for replenishing the water, this volume fraction could become quite large. Models available for this study are, however, limited to volume fractions of 0.1. Consequently, the volume fraction of suspended solids is taken to be uniformly distributed over the range of 0 to 0.1.

(8) Density of Suspended Solids. Among the materials that are expected to make up the suspended solids are Ca(OH)₂ ($\rho = 2.2 \text{ g/cm}^3$) or SiO₂ ($\rho = 2.2 \text{ g/cm}^3$) from the concrete and UO₂ ($\rho = 10 \text{ g/cm}^3$) or ZrO₂ ($\rho = 5.9 \text{ g/cm}^3$) from the core debris or any of a variety of aerosol materials. It is assumed here that the material density of the suspended solids is uniformly distributed over the range of 2 to 6 g/cm³. The upper limit is chosen based on the assumption that suspended UO₂ will hydrate, thus reducing its effective density. Otherwise, gas sparging will not keep such a dense material suspended.

(9) Surface Tension of Water. The surface tension of the water can be increased or decreased by dissolved materials. The magnitude of the change is taken here to be $S\sigma(w)$ where S is the weight fraction of dissolved solids. The sign of the change is taken to be minus or plus depending on whether a random variable ϵ is less than 0.5 or greater than or equal to 0.5. Thus, the surface tension of the liquid is:

$$\sigma_1 = \begin{cases} \sigma(w) (1-S) & \text{for } \epsilon < 0.5 \\ \sigma(w) (1+S) & \text{for } \epsilon \geq 0.5 \end{cases}$$

where $\sigma(w)$ is the surface tension of pure water.

(10) Mean Aerosol Particle Size. The mass mean particle size for aerosols produced during melt/concrete interactions is known only for situations in which no water is present. There is reason to believe smaller particles will be produced if a water pool is present. Examination of aerosols produced during melt/concrete interactions shows that the primary particles are about 0.1 μm in diameter. Even with a water pool present, smaller particles would not be expected.

Consequently, the natural logarithm of the mean particle size is taken here to be uniformly distributed over the range from $\ln(0.25 \mu\text{m}) = -1.39$ to $\ln(2.5 \mu\text{m}) = 0.92$.

(11) Geometric Standard Deviation of the Particle Size Distribution. The aerosols produced during core debris-concrete interactions are assumed to have lognormal size distributions. Experimentally determined geometric standard deviations for the distributions in cases with no water present vary between 1.6 and 3.2. An argument can be made that the geometric standard deviation is positively correlated with the mean size of the aerosol. Proof of this correlation is difficult to marshall because of the sparse data base. It can also be argued that smaller geometric standard deviations will be produced in situations with water present. It is unlikely that data will ever be available to demonstrate this contention. The geometric standard deviation of the size distribution is assumed to be uniformly distributed over the range of 1.6 to 3.2. Any correlation of the geometric standard deviation with the mean size of the aerosol is neglected.

(12) Aerosol Material Density. Early in the course of core debris interactions with concrete, UO_2 with a solid density of around 10 g/cm^3 is the predominant aerosol material. As the interaction progresses, oxides of iron, manganese and chromium with densities of about 5.5 g/cm^3 and condensed products of concrete decomposition such as Na_2O , K_2O , Al_2O_3 , SiO_2 , and CaO with densities of 1.3 to 4 g/cm^3 become the dominant aerosol species. Condensation and reaction of water with the species may alter the apparent material densities. Coagglomeration of aerosolized materials also complicates the prediction of the densities of materials that make up the aerosol. As a result the material density of the aerosol is considered uncertain. The material density used in the calculation of aerosol trapping is taken to be an uncertain parameter uniformly distributed over the range of 1.5 to 10.0 g/cm^3 .

Note that the mean aerosol particle size predicted by the VANESA code [6] is correlated with the particle material density to the $-1/3$ power. This correlation of aerosol particle size with particle material density was taken to be too weak and insufficiently supported by experimental evidence to be considered in the uncertainty analyses done here.

(13) Initial Bubble Size. The initial bubble size is calculated from the Davidson-Schular equation:

$$D_b = \epsilon \left(\frac{6}{\pi}\right)^{1/3} \frac{V_s^{0.4}}{g^{0.2}} \text{ cm}$$

where ϵ is assumed to be uniformly distributed over the range of 1 to 1.54. The minimum bubble size is limited by the Fritz formula to be:

$$D_b = 0.0105 \Psi (\sigma_t / g(\rho_t - \rho_g))^{1/2}$$

where the contact angle is assumed to be uniformly distributed over the range of 20 to 120° . The maximum bubble size is limited by the Taylor instability model to be:

9.2.1 *Aerosols in the RCS*

9.2.1.1 AECL

The experimenters conclude that spherical particles of around 0.1 to 0.3 μm formed (though their composition was not established) then these agglomerated giving rise to a mixture of compact particles between 0.1 and 3.0 μm in size at the point of measurement. The composition of the particles was found to be dominated by Cs, Sn and U; while the Cs and Sn mass contributions remained constant and very similar in mass, U was relatively minor in the first hour at 1860 K evolving to be the main contributor in the third (very approximately: 42 % U, 26 % Sn, 33 % Cs). Neither break down of composition by particle size nor statistical size information was measured.

9.2.1.2 PBF-SFD

Further interesting measurements for purposes here were six isokinetic, sequential, filtered samples located about 13 m from the bundle outlet. These were used to follow the evolution of the aerosol composition and to examine particle size (SEM). Based on these analyses the authors state that particle geometrical-mean diameter varied over the range 0.29-0.56 μm (elimination of the first filter due to it being early with respect to the main transient gives the range 0.32-0.56 μm) while standard deviation fluctuated between 1.6 and 2.06. In the images of filter deposits needle-like forms are seen. Turning to composition, if the first filter sample is eliminated and “below detection limit” is taken as zero, for the structural components and volatile fission products we have in terms of percentages the values given in Table 9.2-1.

9.2.2 *Aerosols in the containment*

9.2.2.1 PHÉBUS FP

The aerosol size distributions were fairly lognormal with an average size (AMMD) in FPT0 of 2.4 μm at the end of the 5-hour bundle-degradation phase growing to 3.5 μm before stabilizing at 3.35 μm ; aerosol size in FPT1 was slightly larger at between 3.5 and 4.0 μm . Geometric-mean diameter (d_{50}) of particles in FPT1 was seen to be between 0.5 and 0.65 μm ; a SEM image of a deposit is shown in Fig. 9.2-2. In both tests the geometric standard deviation of the lognormal distribution was fairly constant at a value of around 2.0. There was clear evidence that aerosol composition varied very little as a function of particle size except for the late settling phase of the FPT1 test: during this period, the smallest particles were found to be cesium-rich. In terms of chemical speciation, X-ray techniques were used on some deposits and there

試験の概要

試験名又は報告書名等	試験の概要
AECL が実施した実験	CANDU のジルカロイ被覆管燃料を使用した、 1 次系での核分裂生成物の挙動についての試験。
PBF—SFD	米国アイダホ国立工学環境研究所で実施された炉心損傷状態での燃料棒及び炉心のふるまい、核分裂生成物及び水素の放出についての試験。
PHÉBUS FP	フランスカダラッシュ研究所の PHÉBUS 研究炉で実施された、シビアアクシデント条件下での炉心燃料から 1 次系を経て格納容器に至るまでの核分裂生成物の挙動を調べる実機燃料を用いた総合試験。

原子炉格納容器内冷却状況の原子炉格納容器外温度計での確認

重大事故等発生時に、原子炉格納容器（以下、CVという）内の温度・圧力が上昇した場合における、CV内の冷却状況の確認方法について説明する。

1. 現状と課題

重大事故等時におけるCV内の冷却の確認については、重大事故等時において確認可能なCV内全体雰囲気の温度・圧力計により、確認できるようになっている。

しかしながら、より的確に事故等対応の判断を行うためには、CV冷却が行われていることの確認を多様化することが望ましいことから、CV外に設置された温度計でのCV冷却状況確認の可否について検討した。

泊3号炉のCV外温度計の現状は下表のとおりであり、海水通水時の格納容器再循環ユニットの入口・出口温度計だけがトレンド監視不可で、他の温度計はトレンド監視が可能である。

冷却モード	対象ヒートシンク	CV外での温度監視方法等
余熱除去系再循環	余熱除去冷却器 (原子炉補機冷却水冷却器)	余熱除去冷却器の入口・出口温度が、トレンド監視可能 また、 <u>原子炉補機冷却水冷却器の入口・出口温度がトレンド監視可能</u>
格納容器スプレイ系再循環	格納容器スプレイ冷却器 (原子炉補機冷却水冷却器)	格納容器スプレイ冷却器の出口温度が、トレンド監視可能 また、 <u>原子炉補機冷却水冷却器の入口・出口温度がトレンド監視可能</u>
格納容器再循環ユニット冷却(補機冷却水通水)	格納容器再循環ユニット (原子炉補機冷却水冷却器)	<u>格納容器再循環ユニットの入口・出口温度(原子炉補機冷却水冷却器の出口・入口温度)が、トレンド監視可能</u>
格納容器再循環ユニット冷却(海水通水)	格納容器再循環ユニット	格納容器再循環ユニットの入口温度・出口温度ともに、トレンド監視不可。

2. 対応内容

上記のとおり、海水通水時の格納容器再循環ユニット以外のヒートシンクについて、熱交換が正常に行われていることを確認できる温度計が設置されている。

重大事故等時において、CV冷却状況確認は、基本的にはCV圧力監視で対応可能であるが、それに加え、CV冷却状況確認手段に多様性を持たせるために、冷却不調の場合の追加対応であること及び計測が必要となるまでに時間的な裕度があることを踏まえて、記録機能を備えた

可搬型の温度計を配備する。測定にあたっては、格納容器再循環ユニット入口配管と出口配管にて温度を計測する。

なお、重大事故等時の原子炉補機冷却水による自然対流冷却時に、沸騰防止のために原子炉補機冷却水サージタンクを加圧することから、既設の圧力計又は代替の可搬型圧力計にてサージタンクの圧力を計測する。

3. 可搬型温度計測の概要

(1) 温度計測機器の構成

温度ロガー、温度センサー、データコレクタ（データ収集用）

(2) 温度計の仕様

測定範囲：約 200°Cまで計測可能

（格納容器過温破損（全交流動力電源喪失+補助給水失敗）における格納容器
雰囲気温度の最高値（約 141°C）が計測可能であり、余裕をみても十分測定可
能な範囲としている。）

重量：約 100g／台

温度センサー：配管表面にSUSバンド等で取付け（取り外し可能）

電源：リチウム電池（使用可能時間 約 10 カ月）

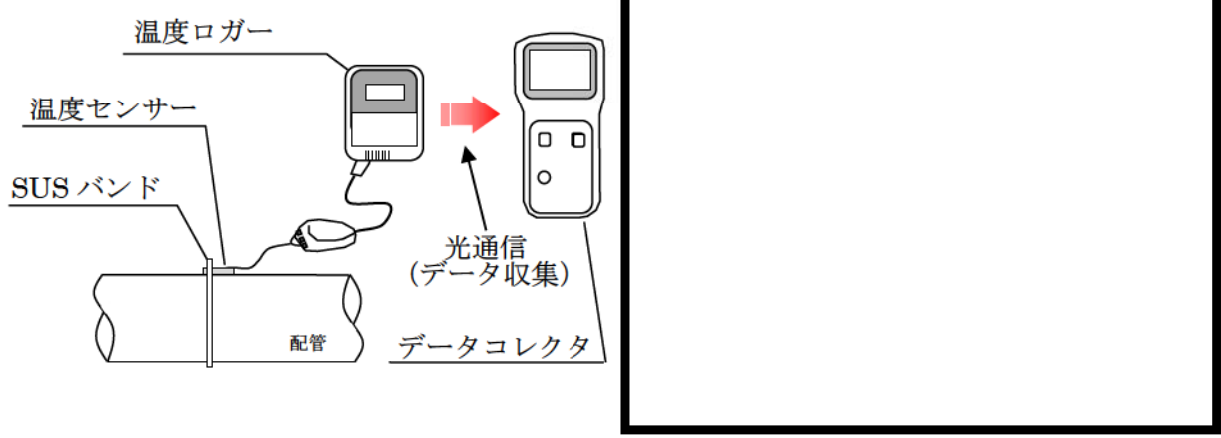
データ保有量：約 10 日分（約 1 分間隔（データ収集計算機（SPDS）相当）のデータ測
定・保有が可能）

(3) 温度計測体制

可搬型計測器の配備に関しては、手順書を作成するとともに、必要な要員を配置し、教育・
訓練等を実施する。

具体的には、当該可搬型温度計測器は可搬型大型送水ポンプ車による格納容器再循環ユニットへの海水の通水の際及び中央制御室での監視が不可となった際に使用するため、可搬型温度計測器の設置は運転員にて行うこととし、温度監視は運転員が行うこととし、社内マニュアルに反映する。

(4) 温度計取付け模式図



枠囲みの範囲は機密に係る事項ですので公開することはできません

- ・現場に温度センサー及び温度ロガーを設置して温度測定を実施。
- ・データの吸い上げは現場で可能。
- ・データコレクタにより、温度のトレンドが確認可能

4. 重大事故等時の格納容器再循環ユニット出入口温度差の監視

重大事故等時において、格納容器内自然対流冷却を実施する場合は、原子炉補機冷却水配管に温度センサーを取付け、被ばく低減のため格納容器から離れた場所で可搬型温度計測装置により温度を監視し、格納容器再循環ユニットの冷却状態を確認する。

格納容器再循環ユニットによる格納容器内自然対流冷却を実施した場合の格納容器再循環ユニット冷却水出入口温度差を表1に示す。また、重大事故等時の格納容器再循環ユニットの除熱性能曲線を図1に示す。この出入口温度差と実際の出入口温度差を比較し、格納容器再循環ユニットの冷却状態を確認する。

C V圧力	飽和蒸気温度 (°C)	除熱量 (MW/台)	冷却水流量 (m ³ /h)	出入口温度差 (°C)
0.283MPa[gage]時 (最高使用圧力時)	132	約 5.6	82	約 60
0.566MPa[gage]時 (最高使用圧力 2倍)	155	約 6.5	82	約 70

表1 格納容器再循環ユニットによる格納容器内自然対流冷却時の出入口温度



図1 重大事故等時の格納容器再循環ユニットの除熱性能曲線

枠囲みの範囲は機密に係る事項ですので公開することはできません

5. 原子炉補機冷却水サージタンク圧力計測の概要

原子炉補機冷却水サージタンク圧力を確認するため、既設圧力計（原子炉補機冷却水サージタンク圧力（AM用））と、代替の可搬型圧力計（原子炉補機冷却水サージタンク圧力（可搬型））にて計測する。

（1）計器仕様

- ・原子炉補機冷却水サージタンク圧力（AM用）

計測範囲：0～1.0MPa[gage]

- ・原子炉補機冷却水サージタンク圧力（可搬型）

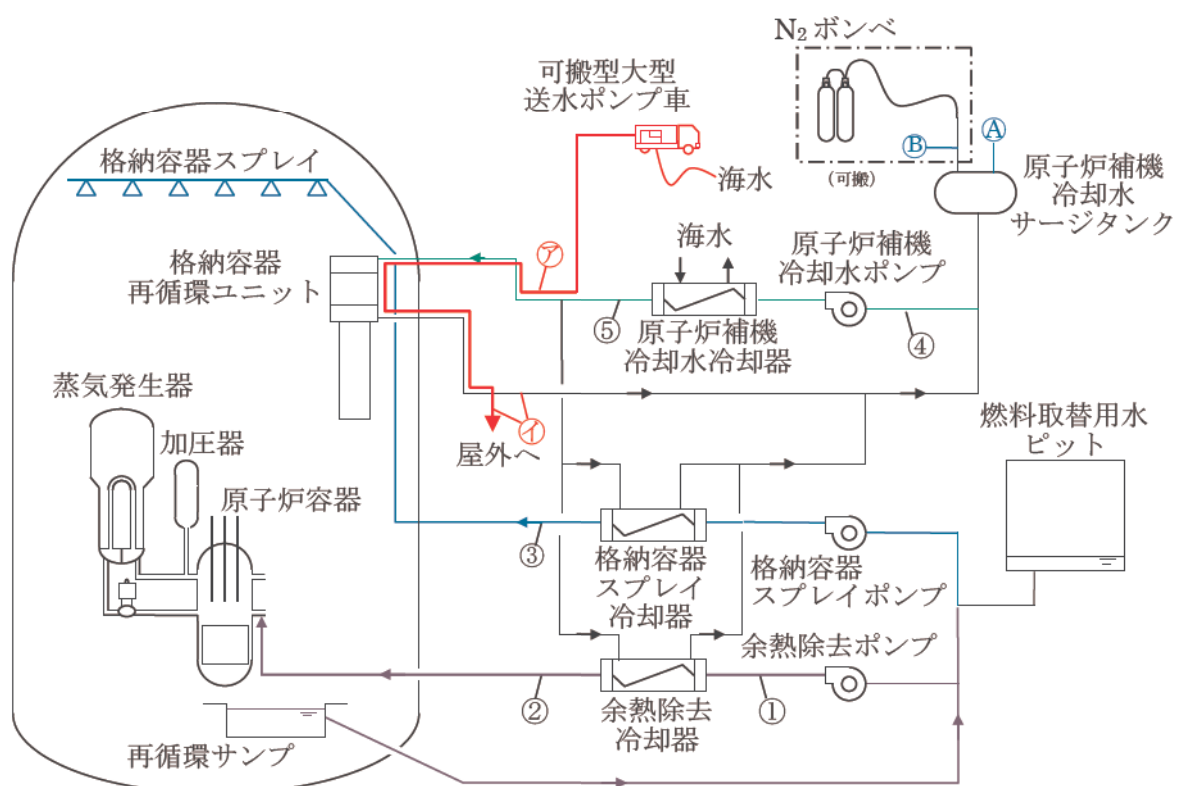
計測範囲：0～1.0MPa[gage]

タンク加圧目標 0.28MPa[gage]

《参考図面》

○泊3号炉 溫度計測計器

原子炉補機冷却水サージタンク圧力



	温度測定位置	温度確認箇所及び確認方法
①	余熱除去冷却器入口	中央指示・PCCS
②	余熱除去冷却器出口	
③	格納容器スプレイ冷却器出口	中央指示・PCCS
④	原子炉補機冷却水戻り母管	中央指示・PCCS
⑤	原子炉補機冷却水冷却器出口	
⑦	格納容器再循環ユニット入口補機冷却水	可搬型温度計測装置
⑧	格納容器再循環ユニット出口補機冷却水	

	計器名称	確認方法
Ⓐ	原子炉補機冷却水 サージタンク圧力 (AM用)	現場指示計
Ⓑ	原子炉補機冷却水 サージタンク圧力 (可搬型)	現場指示計

炉心損傷時におけるC／V破損防止等操作について

重大事故発生時は、MCC I 防止のため代替格納容器スプレイポンプ等による格納容器スプレイにて原子炉下部キャビティ室に注水する必要がある。さらに、原子炉格納容器（以下、C／Vという）圧力が高い状態では、格納容器スプレイによる冷却（減圧）を実施し、海水による自然対流冷却準備が整えば、格納容器再循環ユニットによる自然対流冷却に移行し、格納容器スプレイを停止する。格納容器スプレイ又は自然対流冷却による冷却（減圧）中は、1 Pd (0. 283 MPa [gage]) – 0. 05 MPaとなれば格納容器内の冷却を停止する。また、原子炉容器内に残存デブリの徵候が見られた場合又は、残存デブリの冷却が必要な場合は、格納容器水位の設定位置（炉心発熱有効長上端の0.5m下）までC／V内へ注水する。

以下に、MCC I 防止対応から残存デブリ冷却までの操作におけるC／V注水量の関係について整理する。

(1) 対応操作概要

各操作目的、対応操作概要及び各対応操作に対するC／V注水量の関係を示す。

	操作目的	対応操作概要	技術的能力に係る審査基準
①	MCC I 防止	・代替格納容器スプレイポンプ等により格納容器へスプレイし、格納容器再循環サンプル水位（広域）が81%になればスプレイを停止する。	「1.8 原子炉格納容器下部の溶融炉心を冷却するための手順等」にて整理
②	格納容器冷却	・C／V圧力が0.283MPa以上であれば、代替格納容器スプレイポンプ等によるスプレイを実施する。格納容器再循環ユニットによる自然対流冷却を開始すれば、格納容器スプレイは停止する。格納容器スプレイ又は自然対流冷却による冷却中、C／V圧力が1Pd–0.05MPaまで低下すれば冷却を停止する。	「1.6 原子炉格納容器内の冷却等のための手順等」にて整理
③	残存デブリ冷却	・格納容器冷却中にR／Vに残存デブリの徵候＊が見られた場合は、格納容器水位の設定位置（炉心発熱有効長上端の0.5m下）まで格納容器又は代替格納容器スプレイにより格納容器内へ注水する。 ＊：徵候は、C／V圧力、温度等の上昇により確認する。	「1.4 原子炉冷却材圧力バウンダリ低圧時に発電用原子炉を冷却するための手順等」にて整理



:枠囲みの内容は機密情報に属しますので公開できません。

(2) 炉心損傷後における格納容器内の水素濃度を考慮した減圧運用について

炉心損傷時にはZr-水反応等により水素が発生することから、格納容器内を減圧する際は水素分圧の上昇による水素濃度の上昇に留意し、爆轟に至らないように配慮する必要がある。

a. 炉心損傷時の原子炉格納容器減圧運用

炉心損傷後における原子炉格納容器減圧操作時は、減圧に伴い水素濃度が高くなることから、爆轟領域である水素濃度13 vol%（ドライ）を超えないように配慮する。

そのため、以下の水素濃度を目安に減圧運用を行う。

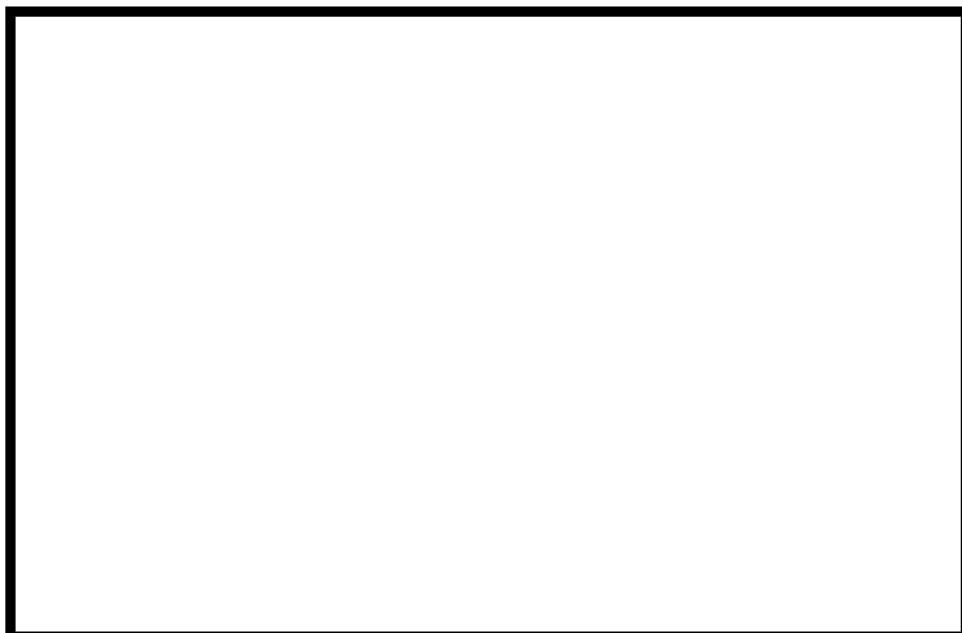
水素濃度目安：8 vol%（ドライ）*

*ただし、減圧を継続する必要がある場合は、8 vol%（ドライ）以上であっても操作の実効性と悪影響を評価し、減圧を継続することもありうる。

炉心損傷後の原子炉格納容器減圧操作については、原子炉格納容器圧力が最高使用圧力（0.283 MPa [gage]）から0.05 MPa低下すれば停止する手順としており、この運用により図1に示すとおり100%のZr-水反応時の水素発生量を仮定した場合でも、大規模な水素燃焼の発生を防止することができる。また、水素濃度は、格納容器内水素濃度計で計測される水素濃度（ドライ）により継続的に監視を行う運用としており、測定による水素濃度が8 vol%（ドライ）未満であれば減圧を継続できる。

（参考：図2に爆轟領域と可燃領域を示した空気、水素、水蒸気の3元図を示す。また、図1に示す75%及び100%のZr-水反応時の空気、水素、水蒸気の関係も示す。）

なお、図1は気体の状態方程式を用い、全炉心内のジルコニウム量の75%（100%）が水と反応した場合に、格納容器内水素濃度が均一になるものとして表したものである。計算には、格納容器内の水素濃度の観点から保守的に厳しい条件を設定している。



:枠囲みの内容は機密情報に属しますので公開できません

(参考)

- 可燃領域

爆轟以外の燃焼反応を起こす領域

- 爆轟領域

強い圧力波を伴い、音速より速い速度で燃焼が伝播する爆轟燃焼が生じる領域

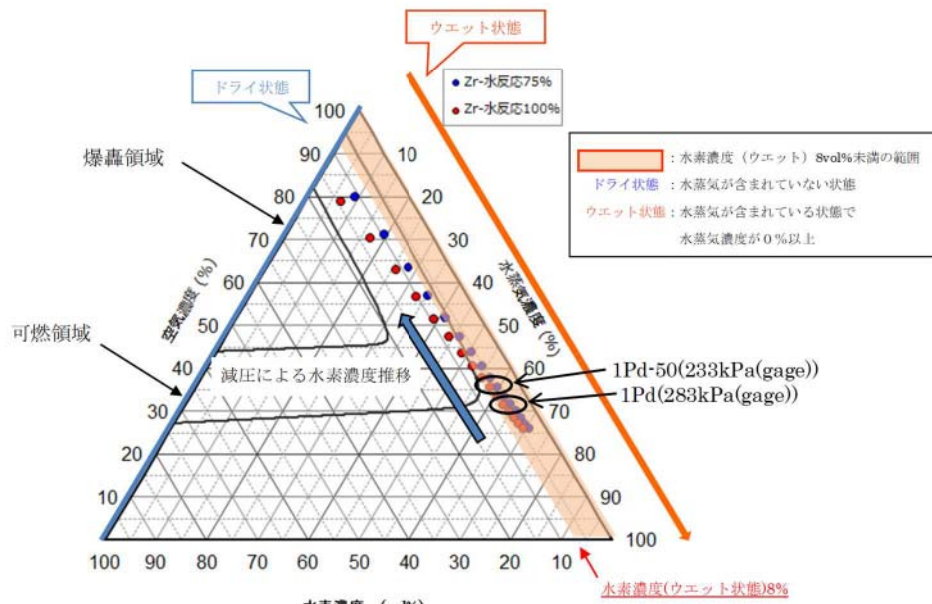


図2 空気、水素、水蒸気の3元図

図2に示した75%及び100%のZr-水反応時の空気、水素、水蒸気の関係については、C/V内を飽和状態と仮定し、気体の状態方程式に基づいて図1を作図しており、図1の横軸(格納容器内圧力)は、下図に示すとおり、水素と空気と水蒸気の各分圧の和になる。

ある温度における各ガスの分圧は、体積が一定の場合、各ガスのモル数に比例するため、1Pd(0.283 MPa G [0.385 MPa (abs)])時の水蒸気濃度の63%は、C/V内ガス全圧(0.385 MPa (abs))に対する水蒸気分圧(0.242 MPa (abs))の比によって算出している。



(3) 格納容器内の局所的な水素濃度分布について

破断口があるBループ室及び原子炉下部キャビティでは、炉内Zr-水反応で発生した水素が破断口から放出されることにより、ウェット水素濃度が比較的高くなる。原子炉下部キャビティのウェット水素濃度は13%以上となるが、その期間は短時間であり、図2のとおり3元図の爆轟領域に達していない。

従って、局所的な水素濃度評価においても、水素爆轟の可能性は低いと判断している。

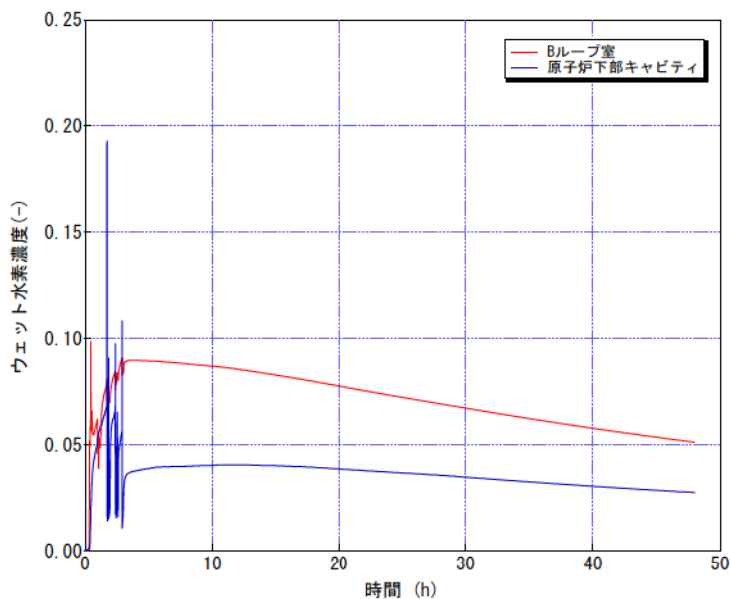


図1 水素濃度の推移

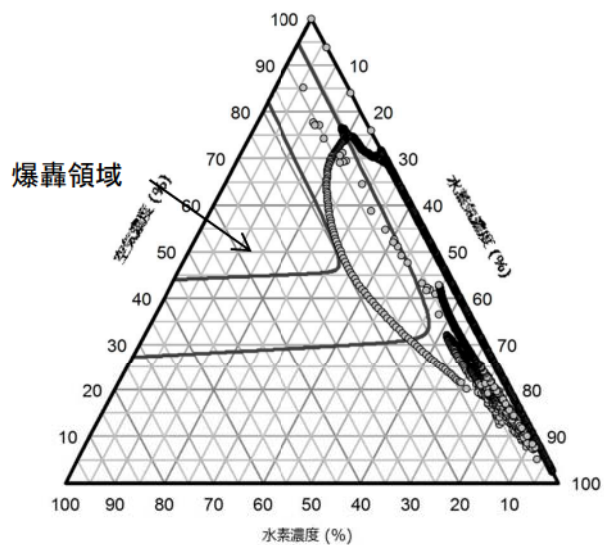


図2 原子炉下部キャビティの3元図

有効性評価添付資料 7.2.4.3 「GOTHICにおける水素濃度分布の評価について」より抜粋

(4) 各対応操作時のC／V注水量管理

C／Vへの注水時は、重要機器及び重要計器の水没を防止するため、C／V内の注水量を管理する必要がある。各操作におけるC／V内注水量の管理については、以下のとおりである。

a. 格納容器スプレイ (MCCI 防止)

格納容器スプレイ中は、原子炉下部キャビティ室の水位が早期に概ね必要水量が蓄水されていることを原子炉下部キャビティ水位により把握でき、また、格納容器再循環サンプ水位（広域）によりC／Vへの注水量を把握することができる。

b. 格納容器冷却（減圧）

格納容器冷却（減圧）中は、代替格納容器スプレイポンプ出口積算流量、燃料取替用水ピット水位等によりC／Vへの注水量を把握し、また、格納容器水位により確認することで、格納容器再循環ユニットによる格納容器内自然対流冷却に影響しない高さまで注水することができる。

c. 残存デブリ冷却

残存デブリ冷却に伴うC／V注水中は、代替格納容器スプレイポンプ出口積算流量、燃料取替用水ピット水位等によるC／Vへの注水量を把握し、また、格納容器水位により確認することで、炉心発熱有効長上端の0.5m下で、かつ格納容器再循環ユニットによる格納容器内自然対流冷却に影響しない高さまで注水することができる。

(5) 格納容器内の水位検知

a. 原子炉下部キャビティ室の水位検知

原子炉下部キャビティ室水位については、格納容器最下階フロアと原子炉下部キャビティ室の間が連通管及び小扉を経由して原子炉下部キャビティ室へ流入する経路が確保されており、格納容器内の水位が T.P. 12.1m フロアを超える場合格納容器再循環サンプルが満水となれば格納容器再循環サンプル水位計により計測が可能である。

更なる監視性向上のため、溶融炉心が原子炉容器を貫通した際の MCCI を抑制することができる水量が蓄水されていることを直接検知する電極式の水位監視装置を設置する。

検知器の設置位置は、解析によって示される MCCI を抑制するための必要水量等には不確かさが含まれるため、早期に概ね必要水量が蓄水されていることを確認する位置として、保守的に原子炉容器破損時に炉心燃料の全量（約 [] が落下した場合の早期冷却固化に必要な水量（約 [] : T.P. 約 [] より 0.1m 低い T.P. 約 [] に設置する。（図 1, 2 参照）

b. 格納容器内の水位検知

格納容器内の水位については、格納容器再循環サンプル水位計による計測に加え、代替格納容器スプレイポンプ出口積算流量計等により測定した注水量から水位の把握が可能であるが、更なる監視性向上のため、格納容器注水を行う際の上限レベルを直接検知する電極式の水位監視装置を設置する。（図 1 参照）

検知器の設置位置は、炉心冷却性も十分確保できる位置として、炉心発熱有効長上端（T.P. 約 [] の 0.5m 下（T.P. 約 [] に設置する。

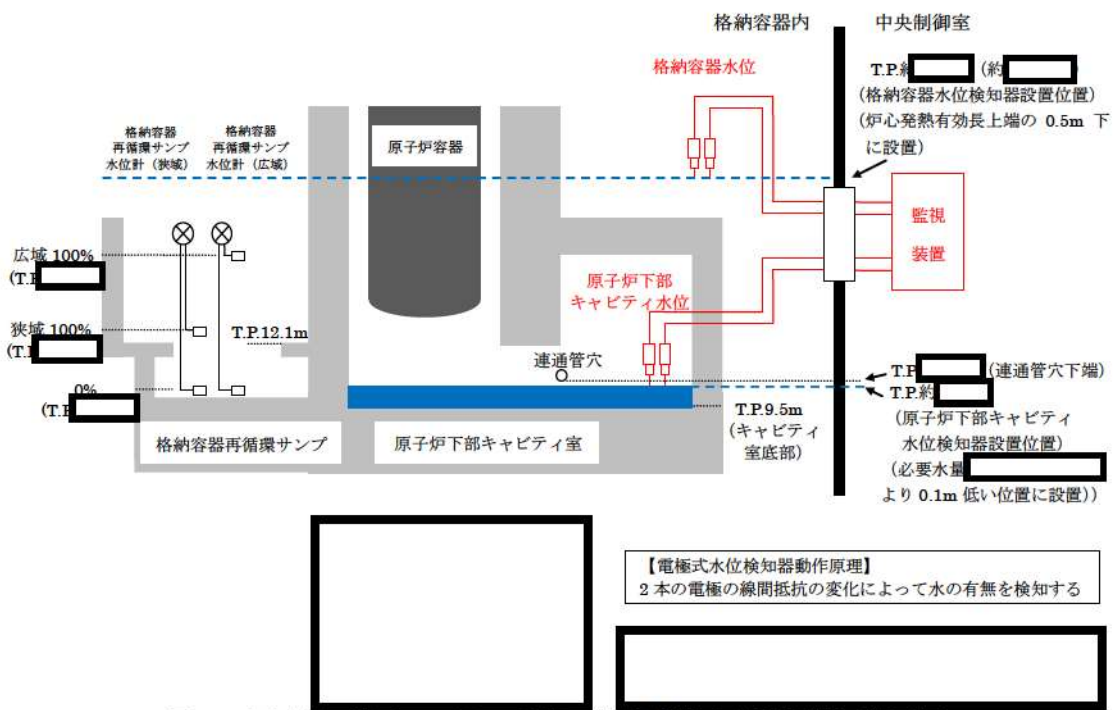


図 1. 原子炉下部キャビティ水位・格納容器水位監視装置概要図

[] : 桁組みの内容は機密情報に属しますので公開できません



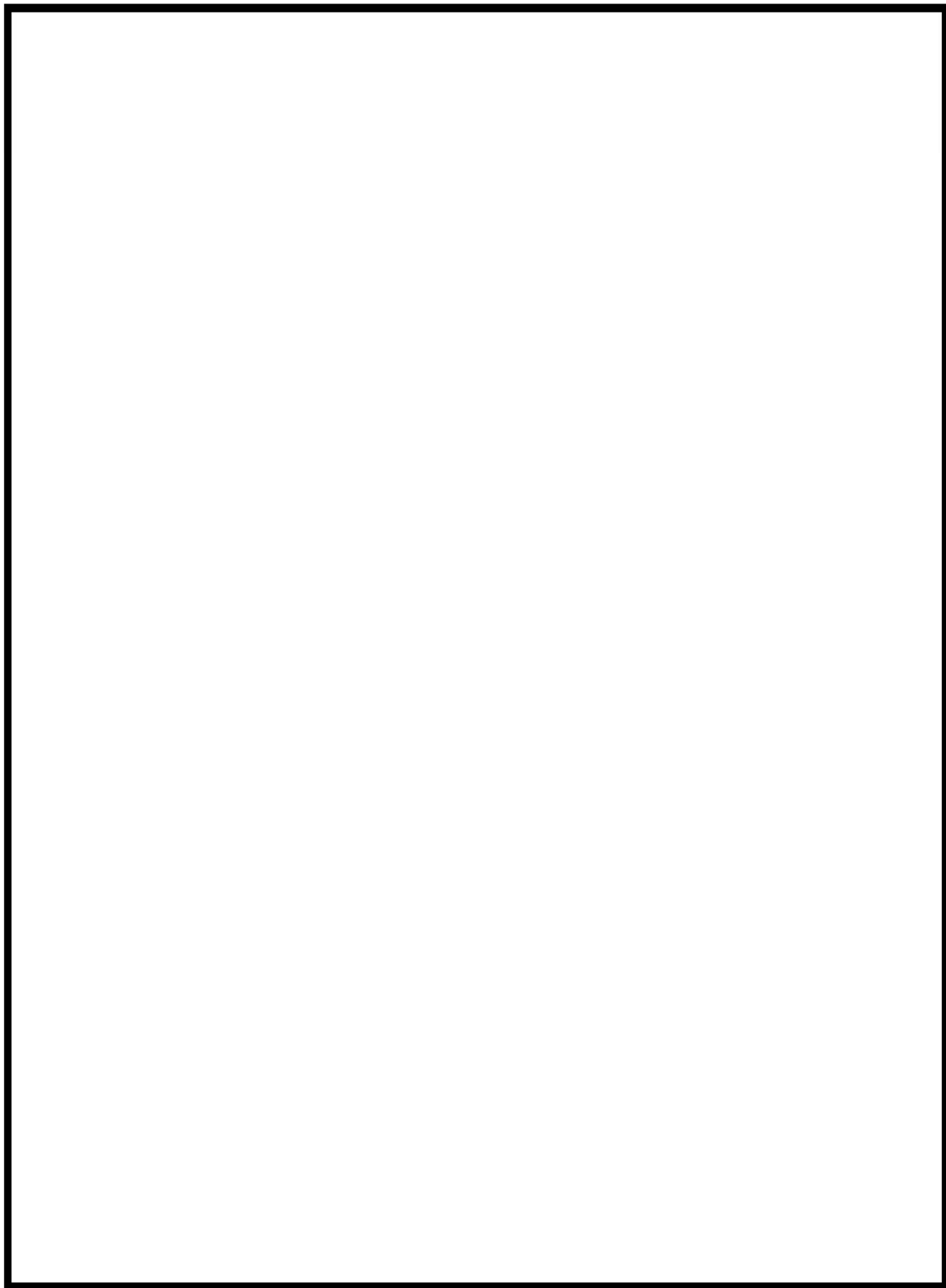
図2. 格納容器内への注水量と水位の関係



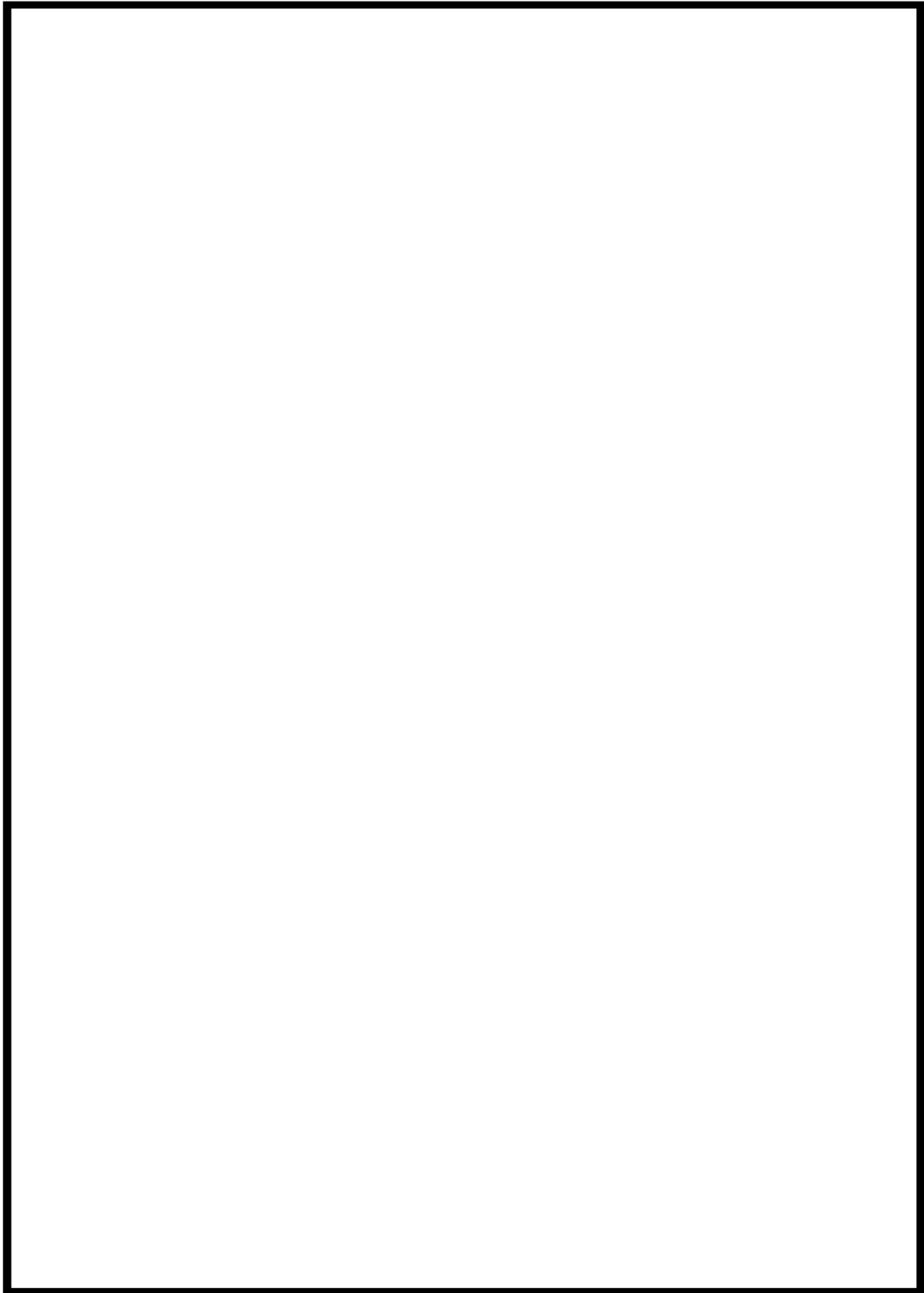
: 枠囲みの内容は機密情報に属しますので公開できません

(6) 格納容器内水量と格納容器内水位の関係

格納容器内水量と格納容器内水位の関係について、以下の図のとおりである。



: 枠囲みの内容は機密情報に属しますので公開できません



: 枠囲みの内容は機密情報に属しますので公開できません

(7) 格納容器圧力計が使用できない場合のスプレイ停止判断について

重大事故時は、格納容器再循環ユニットによる格納容器内自然対流冷却が開始すれば、格納容器スプレイを停止するが、原子炉容器内に残存デブリの徵候が見られた場合又は、残存デブリの冷却が必要な場合は、格納容器水位の設定位置 (T.P. [] m 炉心発熱有効長上端の 0.5m 下) までC／V内へ注水する。

格納容器再循環サンプル水位（広域）81%から格納容器水位の設定位置までに設置されている格納容器圧力計は4台 (T.P. 約 [] m) 使用できなくなるものの、2台の格納容器圧力計は格納容器水位の設定位置、かつ格納容器再循環ユニットダクト開放部よりも高い位置 (T.P. 約 [] m) にあるためC／V圧力は監視可能である。

また格納容器内温度計は、十分な高所 (T.P. 約 [] m) に設置しており、水没の可能性は極めて低く、格納容器圧力計が動作不能となった場合でも、C／V内の温度変化を監視することで、飽和蒸気圧力と飽和蒸気温度の相関関係からC／V圧力を推定することができる。

[] : 枠囲みの内容は機密情報に属しますので公開できません

(8) 原子炉下部キャビティ室への流入について

a. 原子炉下部キャビティ室への流入経路

原子炉格納容器にスプレイされた水は、図1、図2、図3に示すとおり、格納容器最下階フロアに流下する。主な流下経路は以下のとおり。

- ① 格納容器とフロア床最外周部の隙間
- ② 各フロアの外周通路部の階段・開口部（ハッチ等）
- ③ ループ室内の床のグレーチング
- ④ 原子炉キャビティ底部に設置した格納容器最下階への連通管（6B×2）

さらに格納容器最下階フロアの加圧器逃がしタンクエリアに溜まった水は、以下の経路により原子炉下部キャビティ室に流入する。（なお、RCS配管破断水も同様の経路で原子炉下部キャビティ室に流入する。）

- ⑤ 格納容器最下階フロアの加圧器逃がしタンクエリアから原子炉下部キャビティ室に通じる連通管（6B×1）
- ⑥ C/Vサンプから下部キャビティ室に通じる床ドレン配管を逆流（4B×1）

また原子炉容器付近にスプレイされた水の一部は、下記の経路からも直接原子炉下部キャビティ室に流下する。

- ⑦ 原子炉容器と原子炉キャビティの隙間（原子炉容器シールリング部、原子炉容器と1次遮蔽コンクリートの隙間）

また、更なる信頼性の向上を図るため、原子炉下部キャビティ室への入口扉に開口部（小扉）を設置し、原子炉下部キャビティ室へ繋がる通水経路の多重性を確保した。

- ⑧ 原子炉下部キャビティ室への入口扉の小扉（200mm×500mm）

: 原子炉下部キャビティ室への流入経路 (⑤ ⑥ ⑦ ⑧)
 } : 格納容器最下階への流入経路 (① ② ③ ④)

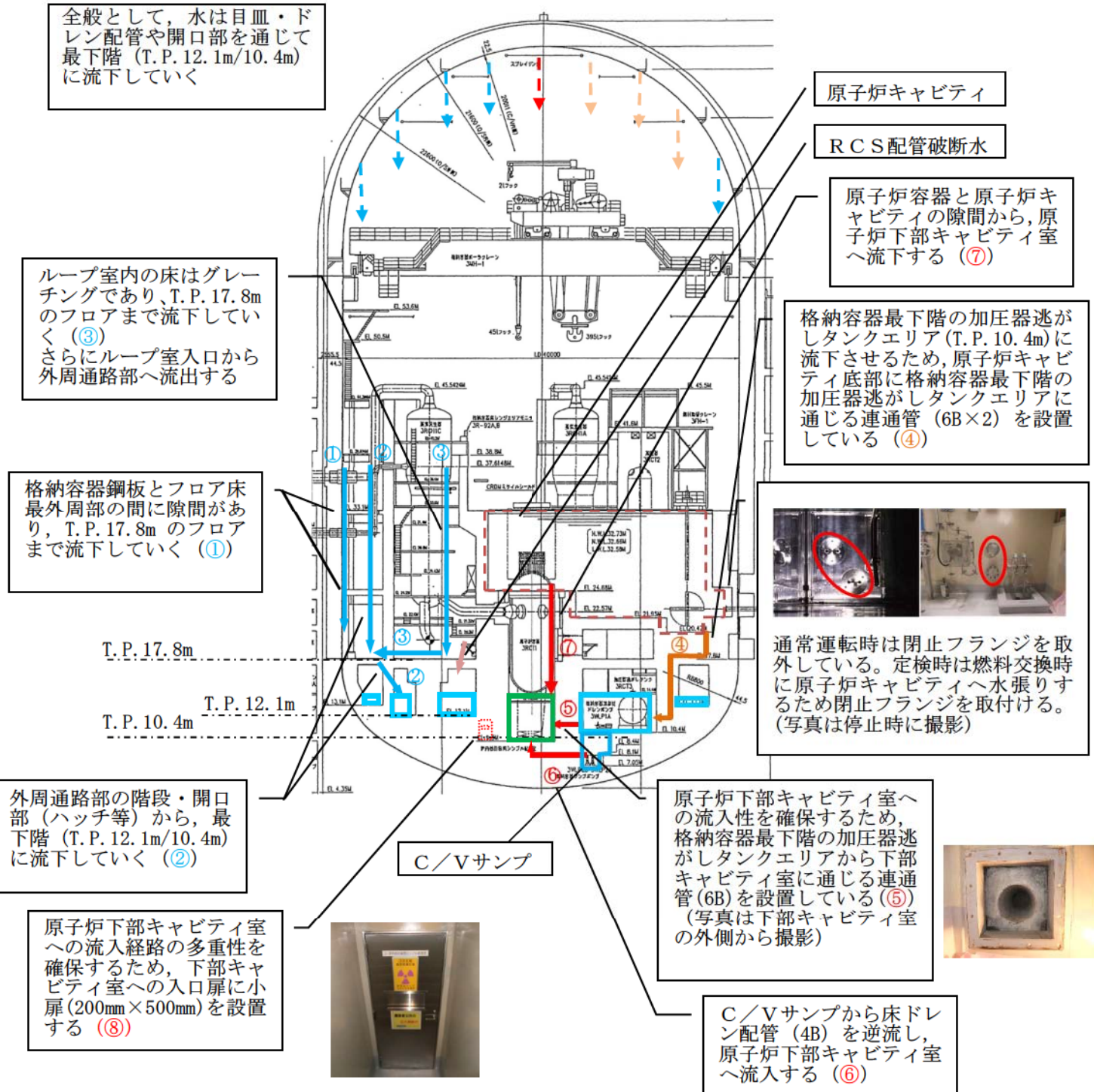


図1 格納容器スプレイ水及びRCS配管破断水の原子炉下部キャビティ室への流入経路

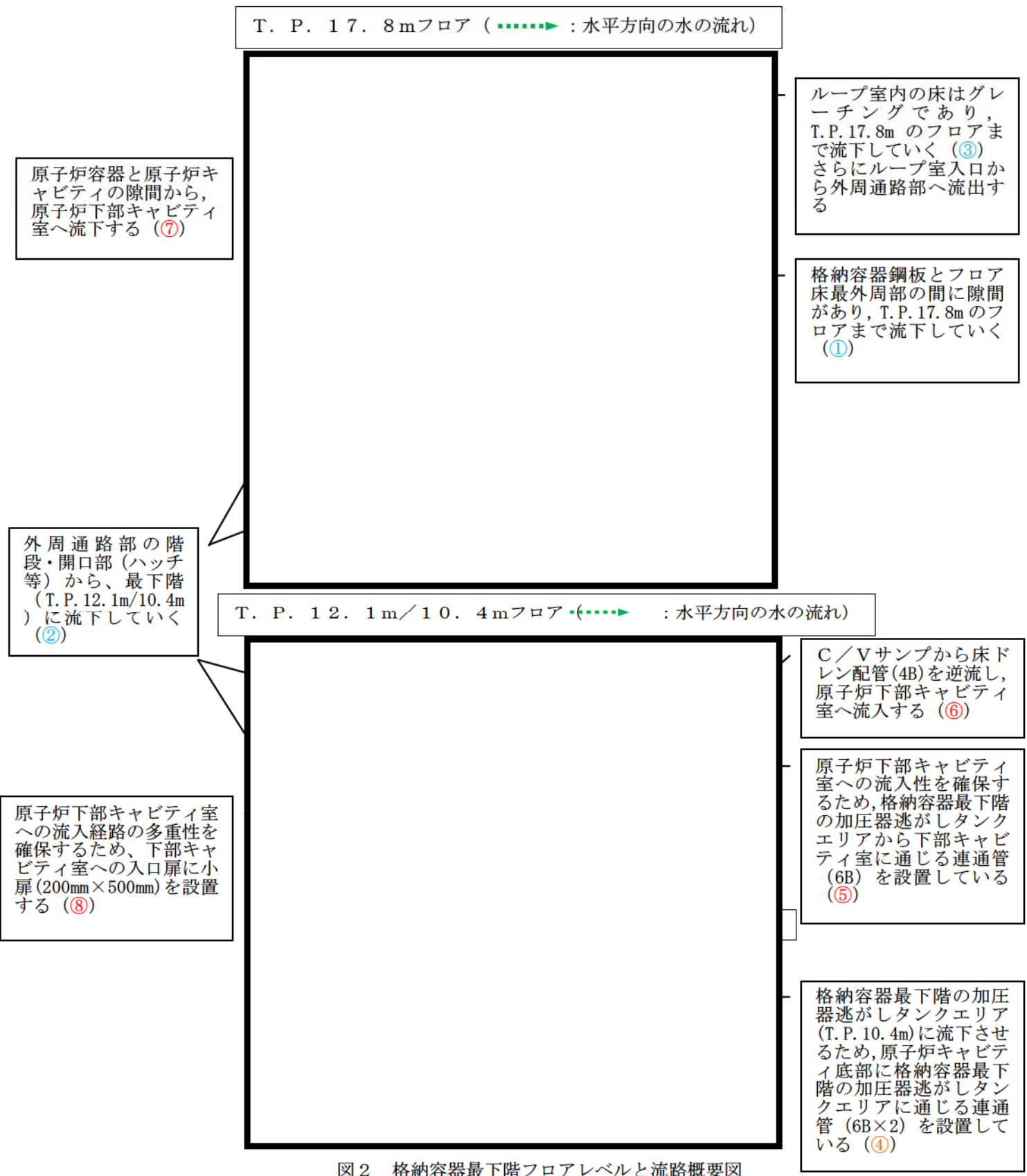


図2 格納容器最下階フロアレベルと流路概要図

枠囲みの範囲は機密に係る事項ですので公開することはできません。

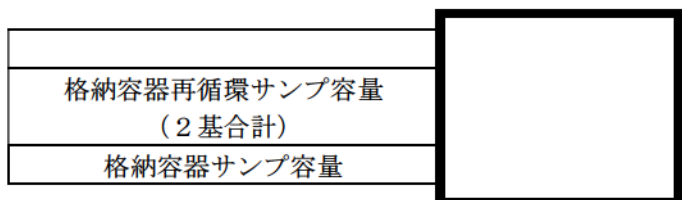
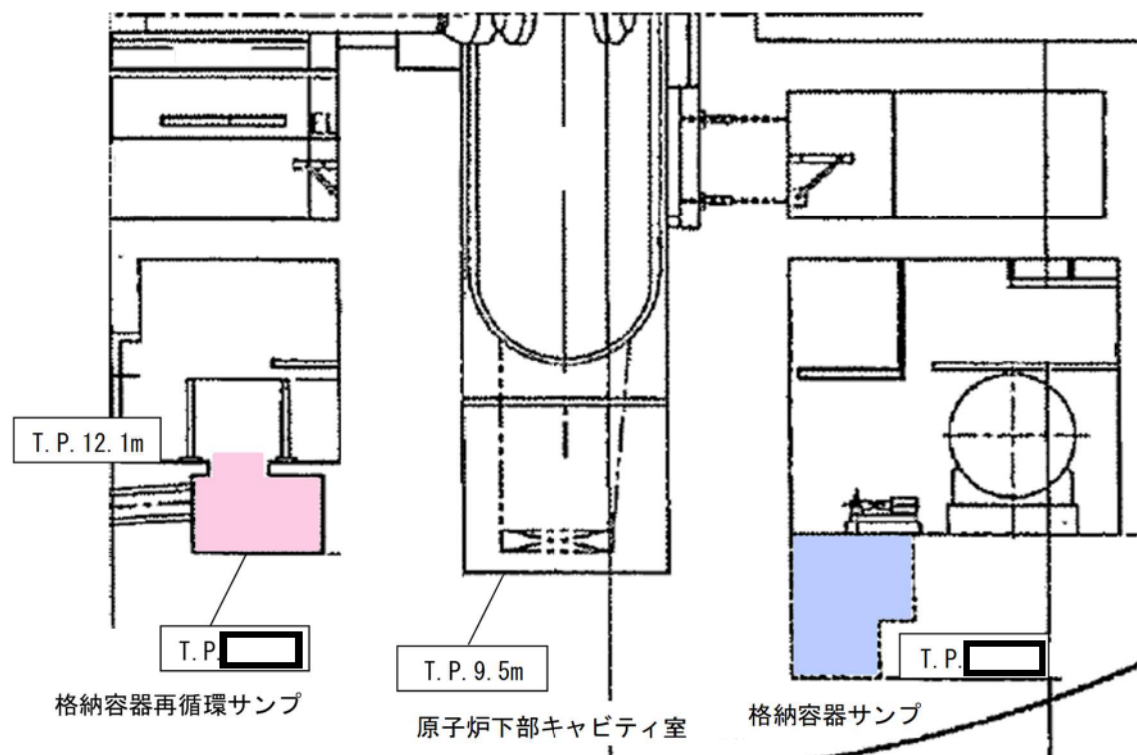


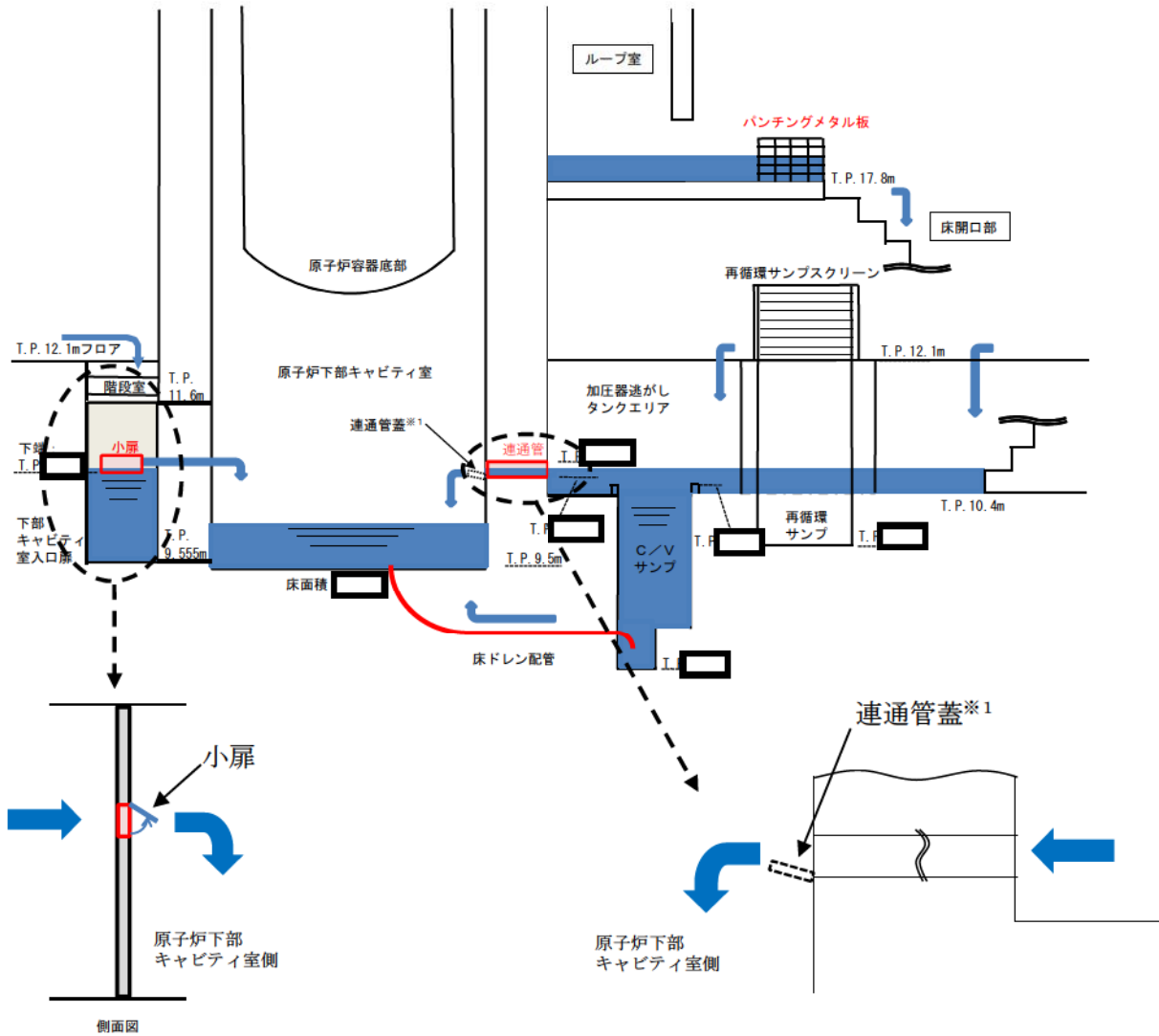
図3. 格納容器内断面図

枠囲みの範囲は機密に係る事項ですので公開することはできません。

b. 原子炉下部キャビティ室への流入箇所

格納容器の最下階エリアからは、原子炉下部キャビティ室に通じる以下の開口部（連通管及び小扉）を経由して原子炉下部キャビティ室へ流入する。

原子炉下部キャビティ室に流入する経路断面概要を図4に、また、最下階エリア及び原子炉下部キャビティ室の水位と格納容器内への注水量の関係を図5及び図6に示す。



※1 通常運転時において、原子炉下部キャビティ室と格納容器最下階エリアの空調バランスを考慮し、連通管蓋を設置。

図4 原子炉下部キャビティ室までの流入経路断面概要図

枠囲みの範囲は機密に係る事項ですので公開することはできません。



本関係図の設定条件は以下のとおりである。

- (a) MCC I の発生に対して最も影響の大きい「大破断LOCA+ECCS注入失敗+格納容器スプレイ失敗」(格納容器過圧破損防止)シナリオの有効性評価における解析により、原子炉容器破損時(約1.6時間後※2)に合計 []^{※2}の溶融炉心が原子炉下部キャビティ室に落下するとの結果を得ている。この初期に落下する溶融炉心の物量について、解析の不確かさを考慮して、泊3号炉に装荷される炉心有効部の全量約 []と想定し、これが原子炉下部キャビティ室に落下した際に蓄水した水により冷却するに必要な水量として約 []とした。

※2 解析では、初期炉心熱出力を2%大きめに設定しており、また、炉心崩壊熱も大きめの発熱量で推移すると想定している。そのため、原子炉容器破損時間や溶融炉心落下量は実態よりも早め・大きめになり、数値は十分保守的である。

- (b) 大破断LOCA時には短時間に大流量が格納容器内へ注水されるため、連通管を主経路として原子炉下部キャビティ室に通水されるため、上図においては以下については考慮しないこととした。

- ・C/Vサンプからのドレン配管逆流による流入
- ・原子炉容器外周隙間からの流入

図5 格納容器内への注水量と水位の関係（既設連通管のみから流入の場合）

[] は、商業機密に属しますので公開できません。



本関係図の設定条件は以下のとおりである。

- (a) 溶融炉心の物量及び必要な冷却水量の設定については、図5と同じ。
- (b) 追設する小扉の流入性確認のため、上図においては保守的に以下については考慮しないこととした。
 - ・既設の連通管からの流入
 - ・C／Vサンプからのドレン配管逆流による流入
 - ・原子炉容器外周隙間からの流入
- (c) 保守的に、大破断L O C A時の初期の流入水（R C S配管破断水（約 [REDACTED]）は、既設の連通管が設置されている加圧器逃がしタンクエリアに流入し、このうち当該エリアの容積に相当する水が滞留水になると仮定した。また加圧器逃がしタンクエリアが満水となった後にオーバーフローし、階段室及び下部キャビティ室に流入すると仮定した。
- (d) 実際にはR C S配管破断水及びスプレイ水は、加圧器逃がしタンクエリア（既設連通管側）及び階段室（追設小扉側）に同時に流入し、階段室（追設小扉側）にも早期に流入することから、上記は保守的な仮定である。

図6 格納容器内への注水量と水位の関係（追設小扉のみから流入の場合）

枠囲みの範囲は機密に係る事項ですので公開することはできません。

(a) 連通管

原子炉下部キャビティ室へ水が流入するように格納容器最下階フロアから原子炉下部キャビティ室に通じる連通管を設置している。(図 7)

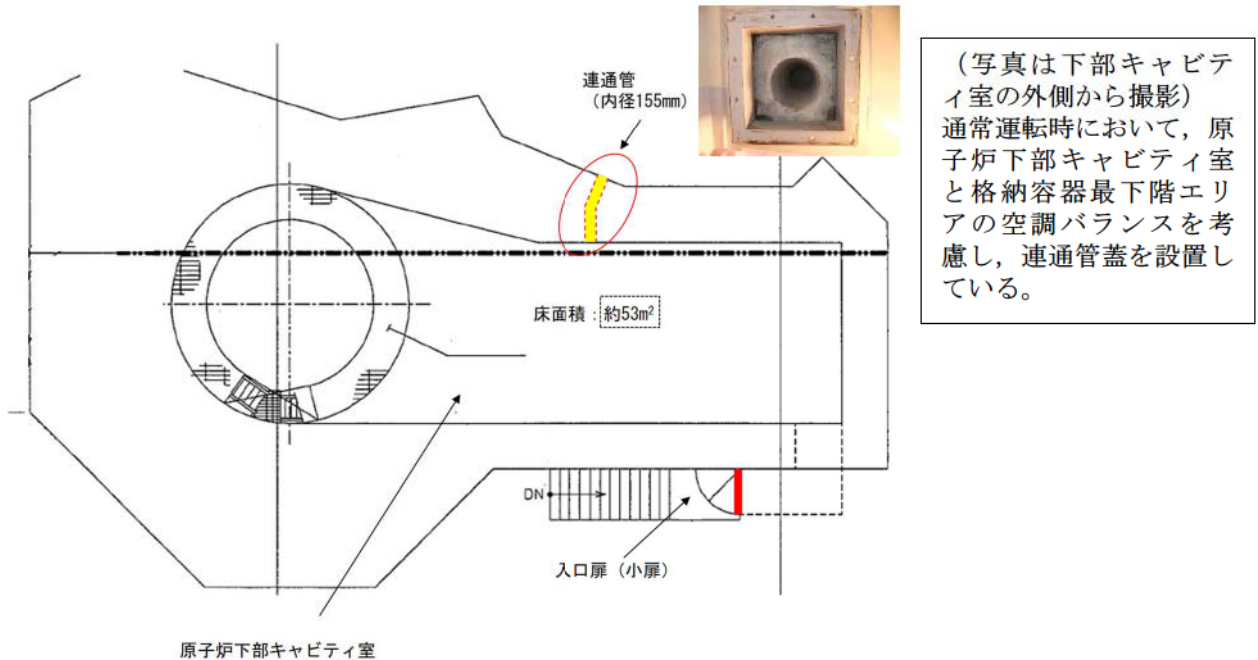


図 7 連通管設置状況

(b) 小扉

原子炉下部キャビティ室への水の流入経路の多重性を確保するため、原子炉下部キャビティ室の入口扉に開口部（小扉）を設置した。(図 8)

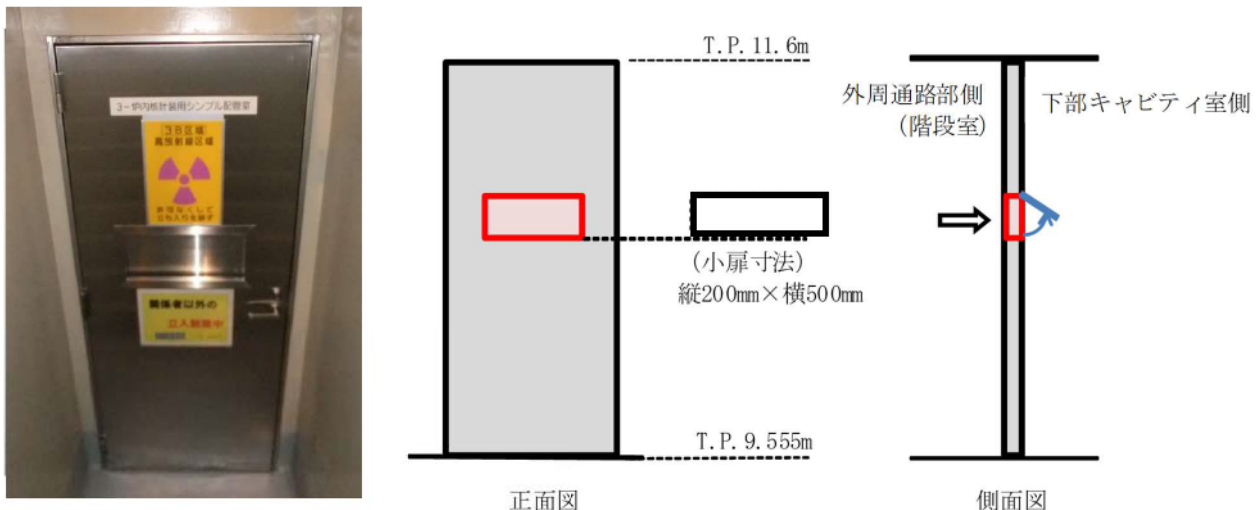


図 8 原子炉下部キャビティ室入口扉小扉設置状況

枠囲みの範囲は機密に係る事項ですので公開することはできません。

c. 原子炉下部キャビティ室への流入健全性について

(a) 原子炉下部キャビティ室内側からの閉塞の可能性について

溶融炉心が原子炉下部キャビティ室に落下した際、溶融炉心等で原子炉下部キャビティ室への連通管及び小扉が内側から閉塞しないことを以下のとおり確認した。

- 「大破断 L O C A + E C C S 注入失敗 + 格納容器スプレイ失敗」(格納容器過圧破損防止)シナリオの有効性評価における解析により、下表に示すとおり①溶融炉心（全量）(約 [] トン) と②炉内構造物等約 [] の合計約 [] が、L O C A 後 3 時間までに原子炉から落下するとの結果を得ている。
- 上述の結果に解析結果が持つ不確定性を考慮し、保守的に以下を想定して、物量が多くなるよう②炉内構造物等の重量を約 [] とし、合計 1 5 0 トン分が原子炉下部キャビティ室に堆積することを想定する。

I. 実際に溶融が想定される炉内構造物については、下部炉内構造物のうち、溶融炉心が下部プレナムへ落下する際に接触する構造物の表面の一部と、滞留する下部プレナム内にある構造物であり、これらは約 [] である。これらを多く見積もり、下部炉心板以下の全構造物約 [] の溶融を想定する。

II. 原子炉容器については、クリープ破損により開口部を生じさせる形態となり、原子炉容器そのものは落下しない。なお、解析結果では原子炉容器の溶融量はほぼ 0 であり、溶融物全体の余裕の中で考慮する。

III. 原子炉容器下部の計装案内管については、原子炉容器との固定部が溶融されることにより、全てがその形状を保持したまま落下することを想定する。また、原子炉下部キャビティ室にあるサポート等についても、全て溶融することを想定する。これらの総重量は [] である。

以上を全て合計した約 [] に対して、保守的になるように切りが良い数値として、②炉内構造物等の重量を約 [] と設定した。

	構成物	材料	重量 (解析)	重量 (今回想定)	比重	体積
①	溶融炉心（全量）	U O 2			約 1 1	約 1 7 m ³
		Z r O 2			約 6	
②	炉内構造物等	S U S 3 0 4 等			約 8	
合計				約 1 5 0 トン		

※：空隙を考慮せず。

以上のように保守的に設定した条件の場合において、原子炉下部キャビティ室に蓄積される溶融炉心等は約 1 7 m³ となる。これら溶融炉心等が平均的に原子炉下部キャビティ室に堆積すると仮定した場合、原子炉下部キャビティ室の水平方向断面積は約 [] であるので、堆積高さは約 [] となる。原子炉下部キャビティ室への連通管まで約 [] 以上あることから、溶融炉心等の堆積高さを多めに見た場合でも原子炉下部キャビティ室への連通管及び小扉が内側から閉塞することはない。

枠囲みの範囲は機密に係る事項ですので公開することはできません。

(b) 原子炉下部キャビティ室外側からの閉塞の可能性について

原子炉下部キャビティ室への流入口である連通管と小扉は、以下の理由により外側からの閉塞の可能性は極めて低く、流路の健全性について問題ないと考える。

I. 原子炉下部キャビティ室への連通管（内径155mm）及び小扉（200mm×500mm）には、再循環サンプスクリーンのように異物を除去するためのストレーナやフィルタは設置していないため、閉塞が発生する可能性は極めて小さい。

（参考）再循環サンプスクリーンの閉塞メカニズム

- ① 異物を除去するための細かいメッシュ（数mm）のスクリーンへの纖維質デブリの蓄積（初期デブリベッドの形成）
- ② 蓄積した纖維質デブリの隙間への粒子状異物の混入（混合デブリベッドの形成）
- ③ 混合デブリベッドの圧縮による、再循環サンプスクリーンの閉塞

※想定するデブリ

- ・破損保温材（纖維質）：ロックウール
- ・その他粒子状異物：塗装
- ・堆積異物（纖維質、粒子）

⇒連通管や小扉については、上記①が発生しないため、閉塞の可能性は極めて低い。

II. 大破断LOCA時に発生する主なデブリは、蒸気発生器や1次冷却材配管の保温材であり、大破断LOCA時のジェット水流により飛ばされ、床・壁等に衝突することにより微細化されるが、纖維長の長い纖維質保温材については大きな塊として残留する可能性がある。しかし、これらの連通管（内径155mm）及び小扉（200mm×500mm）を一気に閉塞させるような大きな塊の保温材は、以下の理由により流路を閉塞させる可能性は極めて低い。

- ・クロスオーバーレグの保温材を除き蒸気発生器室のグレーチング（3cm×10cm程度のメッシュ）で捕捉される。（図9）
- ・万が一蒸気発生器室床面（T.P. 17.3m）に落下しても、蒸気発生器室入口から連通管に至るまでのT.P. 17.3mの通路及びT.P. 12.1/10.4mの通路等が複雑かつ長いことから連通管及び小扉までは到達し難い。（図10）

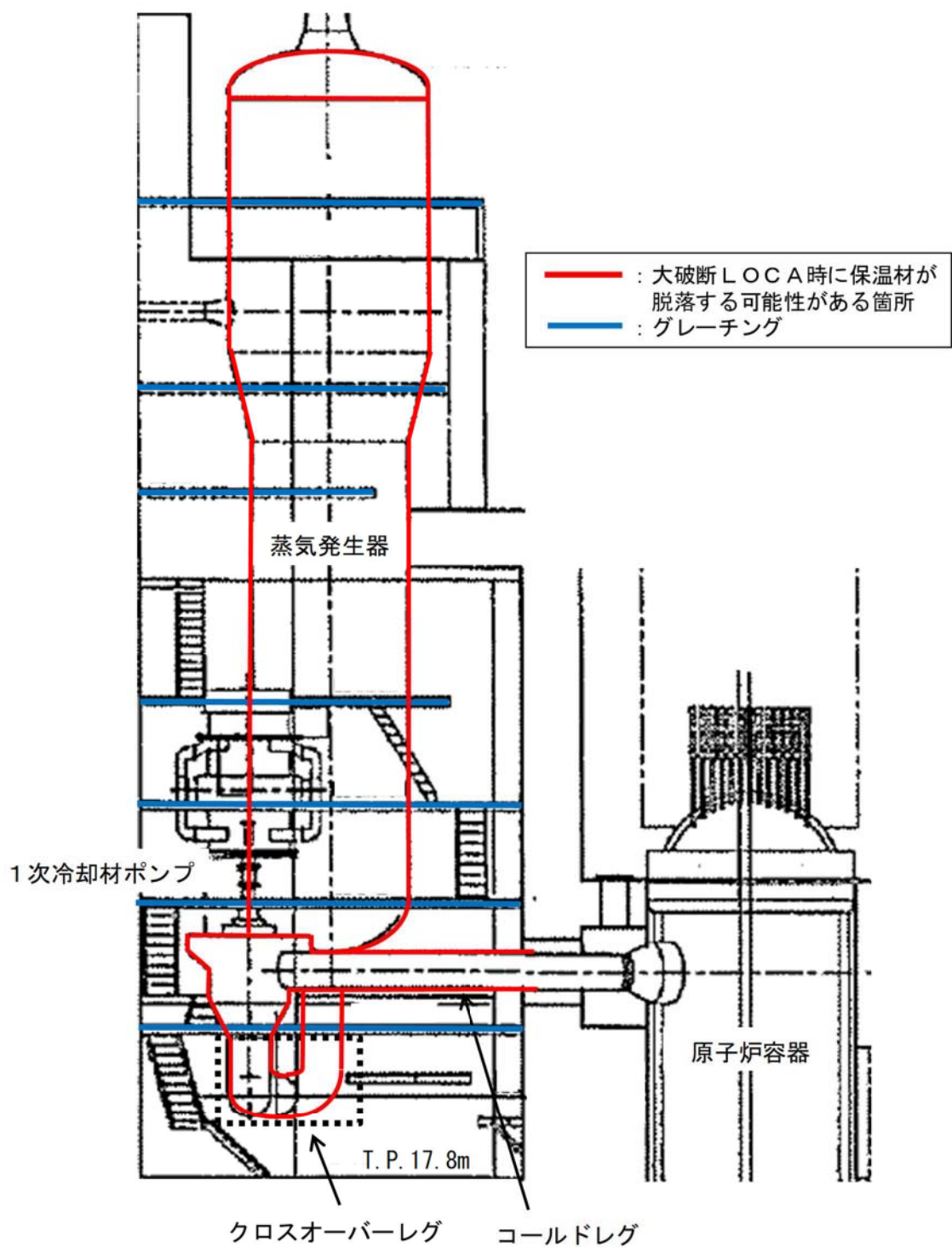
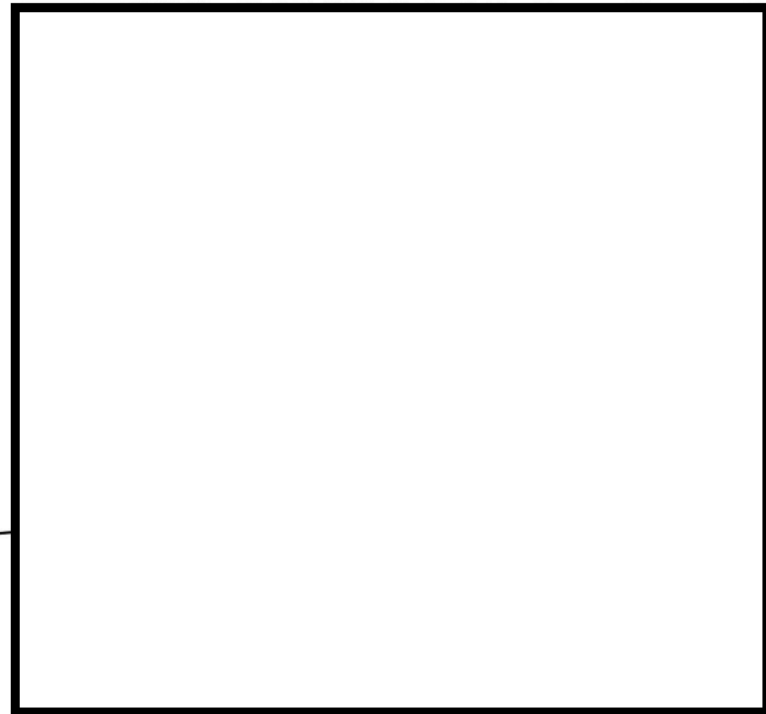


図9 各機器とグレーチングの位置関係



T. P. 17. 8m フロア



T. P. 10. 4m フロア

図10 各ループ室から原子炉下部キャビティ室までの流路

枠囲みの範囲は機密に係る事項ですので公開することはできません。

d. 保温材等のデブリ対策

ループ室内のグレーチングの開口部等を通過した大型保温材や、クロスオーバーレグの大型保温材が、万が一連通管（内径155mm）及び小扉（200mm×500mm）に到達することを防止するため、T.P. 17.8mの外周通路部床面の階段開口部（2箇所）の手摺部に、グレーチングと同程度のメッシュ間隔のパンチングメタル板を設置した（この他に機器搬入口の開口部が1箇所あるが、既にグレーチングが設置済み）

なお、それぞれの開口部面積は十分大きく、かつ万が一1箇所の開口部が閉塞したとしても、他の2箇所から水は流れるため、流路確保の観点からも信頼性は高い。

大型の破損保温材等を捕捉するため、階段開口部周囲を囲むように手摺にパンチングメタルを設置した。
(次ページ写真A)

T.P. 17.8 m フロア

----- : 水平方向の水の流れ

→ : 下層階への水の流れ

□ : 床開口部

LOCA発生場所
(蒸気発生器室内)

LOCA時の大型の破損保温材を含んだ水は、蒸気発生器室入口を経由し、階段開口部2箇所及び機器搬入口1箇所を通過して、C/V最下階へ流下する。

従ってこの3箇所で、大型の破損保温材等を補足できるよう、対処を図る。



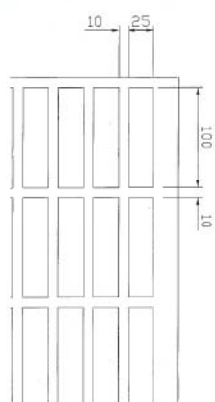
機器搬入口の開口部には既にグレーチングが設置されており、大型の破損保温材等は捕捉される。

大型の破損保温材等を捕捉するため、階段開口部周囲を囲むように手摺にパンチングメタルを設置した。
(次ページ写真B)

枠囲みの範囲は機密に係る事項ですので公開することはできません。



(写真A)
階段開口部に設置したパンチングメタル



(写真B)
階段開口部に設置したパンチングメタル

e. まとめ

原子炉下部キャビティ室への注水を確実にするために、以下の対策を実施した。

(図 1 1)

① 原子炉下部キャビティ室への流入経路確保

原子炉下部キャビティ室入口扉に小扉を設置した。

また、原子炉下部キャビティ室への連通管を従来より設置している。

② 保温材等のデブリ対策

T. P. 17.8m の外周通路部床面の階段開口部（2箇所）の手摺部に、グレーチングと同程度のメッシュ間隔のパンチングメタル板を設置した。

これらの対策により、以下に示す効果が期待できることから、原子炉下部キャビティ室への注水を確実に実施することができる。

大破断 LOCA により発生する大型の保温材等のデブリは、デブリ捕捉用のパンチングメタル及びグレーチングにより補足することができるため原子炉下部キャビティ室に設置した連通管及び小扉の外側にこれらのデブリが到達することはない。また、連通管及び小扉についてはデブリにより閉塞し難い構造であるため、外側から通水経路が閉塞することはない。

溶融炉心等が平均的に原子炉下部キャビティ室に堆積することを想定した場合においても、連通管及び小扉の設置高さは堆積高さと比べて高いことから、内側から注水経路が閉塞することはなく有効に機能する。

なお、運転中の定期的な巡視において、原子炉下部キャビティ室への連通管、小扉及び格納容器再循環サンプスクリーンの周辺に、閉塞に繋がる異物がないことを目視にて確認する。また、定期的に連通管及び小扉の健全性確認を実施する。

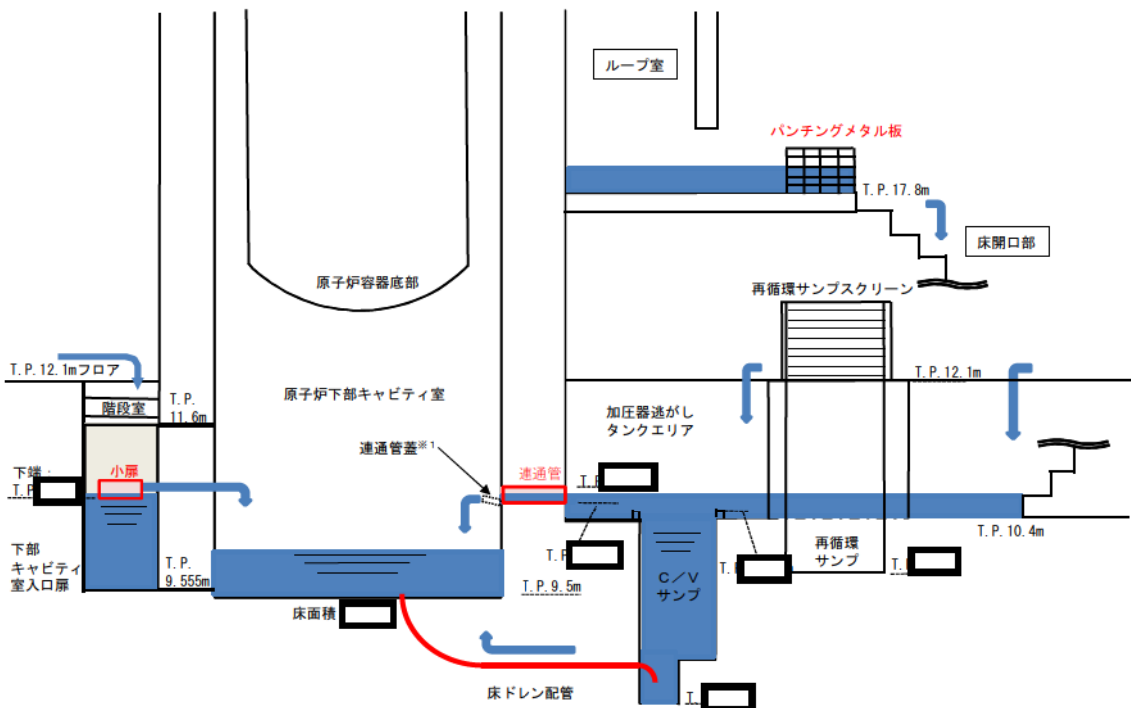


図 1 1 原子炉下部キャビティ室までの流入経路断面図

枠囲みの範囲は機密に係る事項ですので公開することはできません。

原子炉下部キャビティ室への蓄水時間について

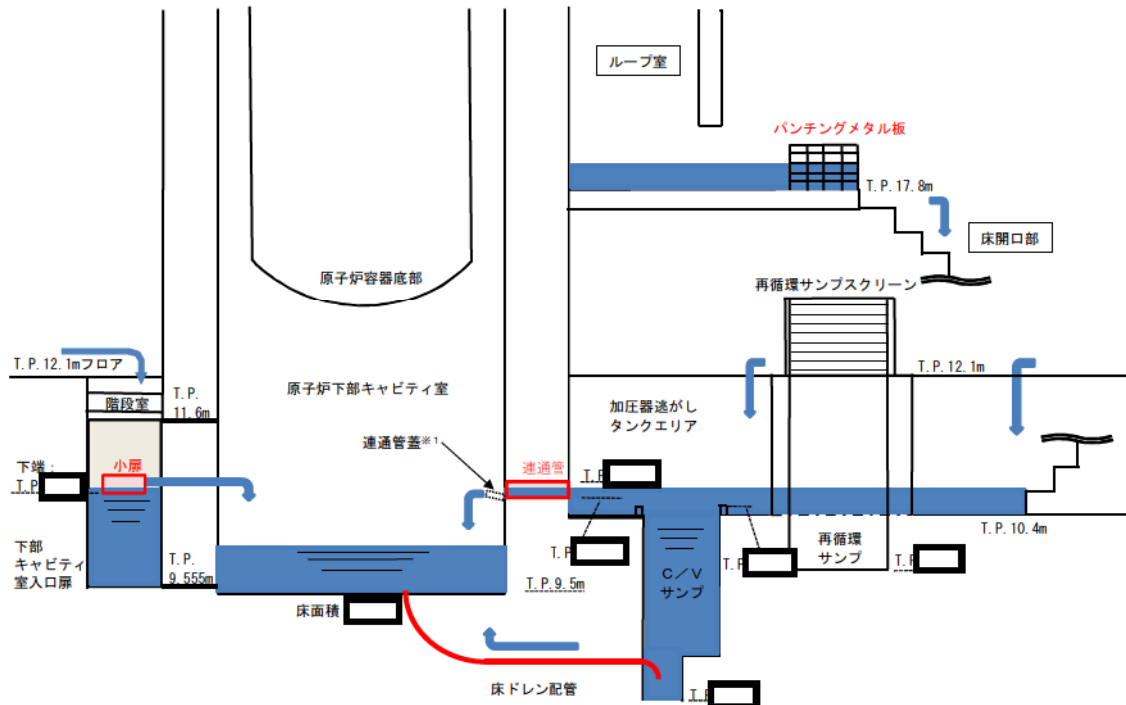
1. 原子炉下部キャビティ室への流入箇所

格納容器の最下階エリアからは、図1に示すとおり原子炉下部キャビティ室に通じる開口部（連通管及び小扉）を経由して原子炉下部キャビティ室へ流入する。

また、図2及び図3に連通管又は小扉から原子炉下部キャビティ室へ流入する場合の、最下階エリア及び原子炉下部キャビティ室の水位と格納容器内への注水量の関係を示す。

原子炉下部キャビティ室に通じる開口部は2箇所（連通管及び小扉）あり、仮にどちらか一方が閉塞した場合においても、図2及び図3のとおり冷却に必要な冷却水の確保は可能である。

なお、解析コードMAAPによると、図4のとおり溶融炉心等を常温まで冷却するのに必要な水量を上回る冷却水が、原子炉容器破損時（約1.6時間後）までに確保可能である。



※1 通常運転時において、原子炉下部キャビティ室と格納容器最下階エリアの空調バランスを考慮し、連通管蓋を設置。

図1 原子炉下部キャビティ室までの流入経路断面概要図

枠囲みの範囲は機密に係る事項ですので公開することはできません。

本関係図の設定条件は以下のとおりである。

- (a) MCCI の発生に対して最も影響の大きい「大破断 LOCA+ECCS 注入失敗+格納容器スプレイ失敗」(格納容器過圧破損防止) シナリオの有効性評価における解析により、原子炉容器破損時（約 1.6 時間後※2）に合計 []^{*2} の溶融炉心が原子炉下部キャビティ室に落下するとの結果を得ている。この初期に落下する溶融炉心の物量について、解析の不確かさを考慮して、泊 3 号機に装荷される炉心有効部の全量約 [] と想定し、これが原子炉下部キャビティ室に落下した際に蓄水した水により冷却するのに必要な水量として約 [] とした。
※2 解析では、初期炉心熱出力を 2% 大きめに設定しており、また、炉心崩壊熱も大きめの発熱量で推移すると想定している。そのため、原子炉容器破損時間や溶融炉心落下量は実態よりも早め・大きめになり、数値は十分保守的である。
- (b) 大破断 LOCA 時には短時間に大流量が格納容器内へ注水されるため、連通管を主経路として原子炉下部キャビティ室に通水されるため、上図においては以下については考慮しないこととした。
- ・ C/V サンプからのドレン配管逆流による流入
 - ・ 原子炉容器外周隙間からの流入

図 2 格納容器内への注水量と水位の関係（既設連通管のみから流入の場合）

枠囲みの範囲は機密に係る事項ですので公開することはできません。

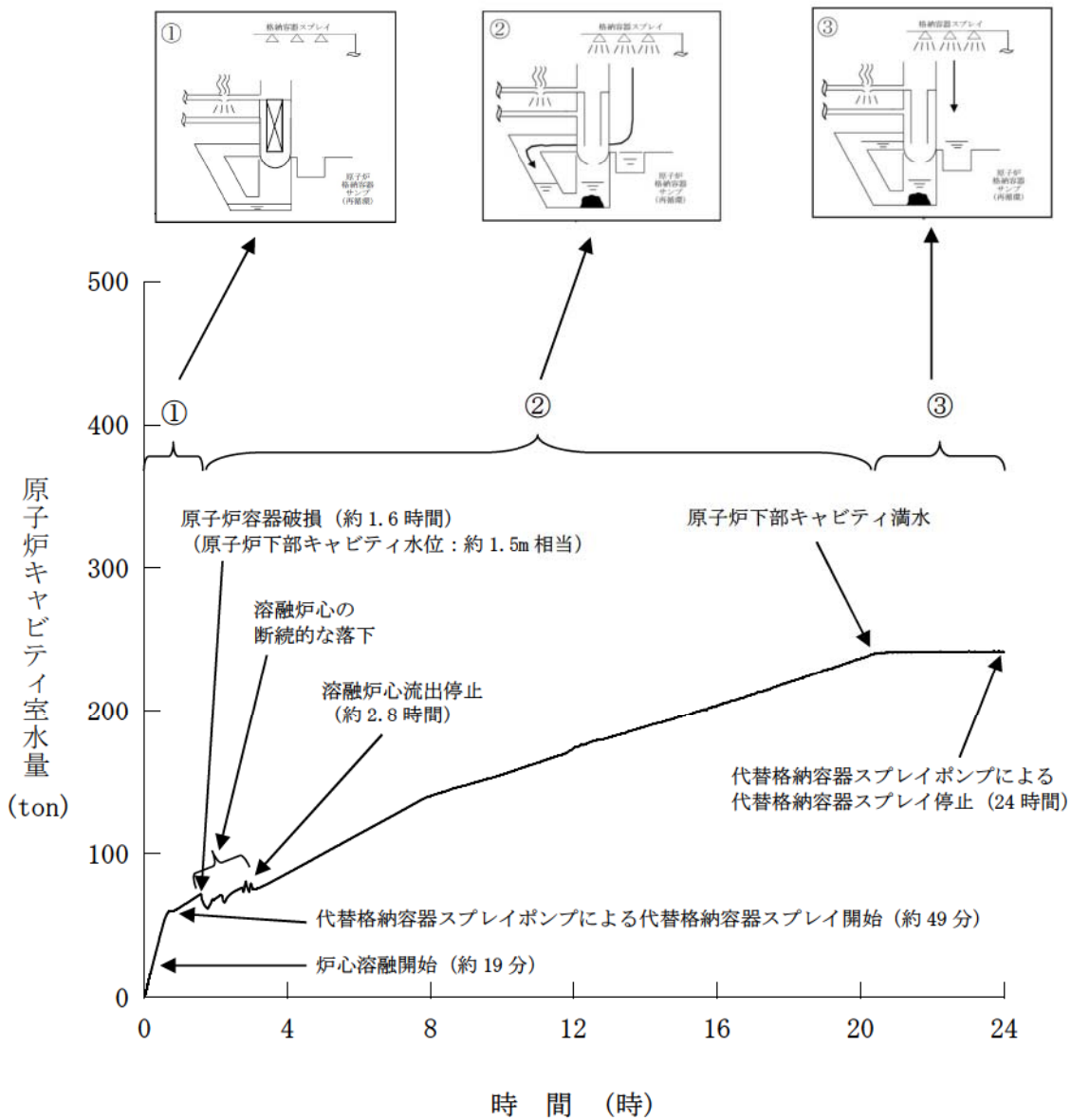


本関係図の設定条件は以下のとおりである。

- (a) 溶融炉心の物量及び必要な冷却水量の設定については、図 2 と同じ。
- (b) 追設する小扉の流入性確認のため、上図においては保守的に以下については考慮しないこととした。
 - ・既設の連通管からの流入
 - ・C／V サンプからのドレン配管逆流による流入
 - ・原子炉容器外周隙間からの流入
- (c) 保守的に、大破断 LOCA 時の初期の流入水（RCS 配管破断水（約 [] ）は、既設の連通管が設置されている加圧器逃がしタンクエリアに流入し、このうち当該エリアの容積に相当する水が滞留水になると仮定した。また加圧器逃がしタンクエリアが満水となった後にオーバーフローし、階段室及び下部キャビティ室に流入すると仮定した。
- (d) 実際には RCS 配管破断水及びスプレイ水は、加圧器逃がしタンクエリア（既設連通管側）及び階段室（追設小扉側）に同時に流入し、階段室（追設小扉側）にも早期に流入することから、上記は保守的な仮定である。

図 3 格納容器内への注水量と水位の関係（追設小扉のみから流入の場合）

枠囲みの範囲は機密に係る事項ですので公開することはできません。



解釈一覧

1. 「手順着手の判断基準」及び「操作手順」解釈一覧

対応手段	1.7.2.1 交流動力電源及び原子炉補機冷却機能健全時の手順等 (1) 格納容器スプレイ a. 格納容器スプレイポンプによる格納容器スプレイ	
	記載内容	解釈
操作手順 ②	格納容器スプレイポンプを起動	「2. 操作対象機器一覧（添付資料1.7.10-(3)）」参照

対応手段	1.7.2.1 交流動力電源及び原子炉補機冷却機能健全時の手順等 (2) 格納容器内自然対流冷却 a. C, D一格納容器再循環ユニットによる格納容器内自然対流冷却	
	記載内容	解釈
操作手順 ②	原子炉補機冷却水系統を加圧するための系統構成	「2. 操作対象機器一覧（添付資料1.7.10-(4)(5)）」参照
操作手順 ③	原子炉補機冷却水サーボタンク加圧用可搬型窒素ガスボンベにより原子炉補機冷却水サーボタンクを0.28MPa[gage]まで加圧操作	「2. 操作対象機器一覧（添付資料1.7.10-(4)(5)）」参照
操作手順 ⑤	C, D一格納容器再循環ユニット冷却水入口弁, 出口弁の開操作により原子炉補機冷却水を通水	「2. 操作対象機器一覧（添付資料1.7.10-(4)(5)）」参照
操作手順 ⑦	格納容器内温度が上昇し, C, D一格納容器再循環ユニットのダクト開放機構が開く温度	ダクト開放機構作動温度: 110°C

対応手段	1.7.2.1 交流動力電源及び原子炉補機冷却機能健全時の手順等 (3) 代替格納容器スプレイ a. 代替格納容器スプレイポンプによる代替格納容器スプレイ	
	記載内容	解釈
判断基準	格納容器へスプレイするために必要な燃料取替用水ピット等の水位が確保されている	<ul style="list-style-type: none"> ・燃料取替用水ピット水位: □%以上 ・補助給水ピット水位: □%以上

[]枠囲みの内容は機密情報に属しますので公開できません。

添付資料 1.7.10-(2)

対応手段	1.7.2.2 全交流動力電源又は原子炉補機冷却機能喪失時の手順等 (1) 格納容器内自然対流冷却 a. 可搬型大型送水ポンプ車を用いたC, D-格納容器再循環ユニットによる格納容器内自然対流冷却	
	記載内容	解釈
操作手順 ②	可搬型大型送水ポンプ車によるC, D-格納容器再循環ユニットへの海水通水のため、原子炉補機冷却水系統の系統構成	「2. 操作対象機器一覧（添付資料1.7.10-(6)(7)）」参照
操作手順 ④	可搬型ホースを原子炉補機冷却水系統のホース接続口と接続	「2. 操作対象機器一覧（添付資料1.7.10-(6)(7)）」参照
操作手順 ⑦	水中ポンプを可搬型ホースと接続	「2. 操作対象機器一覧（添付資料1.7.10-(6)(7)）」参照
操作手順 ⑧	可搬型温度計測装置を取り付け	「2. 操作対象機器一覧（添付資料1.7.10-(6)(7)）」参照
操作手順 ⑪	可搬型大型送水ポンプ車を起動	「2. 操作対象機器一覧（添付資料1.7.10-(6)(7)）」参照
操作手順 ⑫	原子炉補機冷却水系統の弁を開操作し、C, D-格納容器再循環ユニットへ海水通水	「2. 操作対象機器一覧（添付資料1.7.10-(6)(7)）」参照

対応手段	1.7.2.2 全交流動力電源又は原子炉補機冷却機能喪失時の手順等 (2) 代替格納容器スプレイ a. 代替格納容器スプレイポンプによる代替格納容器スプレイ	
	記載内容	解釈
判断基準	格納容器へスプレイするために必要な燃料取替用水ピット等の水位が確保されている	・燃料取替用水ピット水位：□%以上 ・補助給水ピット水位：□%以上

[REDACTED] 枠囲みの内容は機密情報に属しますので公開できません。

2. 操作対象機器一覧

対応手段	1.7.2.1 交流動力電源及び原子炉補機冷却機能健全時の手順等 (1) 格納容器スプレイ											
	a. 格納容器スプレイポンプによる格納容器スプレイ											
概略系統												
操作対象機器												
操作手順番号	操作内容	操作対象機器	状態の変化	操作場所	備考							
②	格納容器スプレイポンプ起動	A-格納容器スプレイポンプ	停止→起動	中央制御室	交流電源							
②		B-格納容器スプレイポンプ	停止→起動	中央制御室	交流電源							

対応手段	1.7.2.1 交流動力電源及び原子炉補機冷却機能健全時の手順等 (2) 格納容器内自然対流冷却 a. C, D-格納容器再循環ユニットによる格納容器内自然対流冷却 (1/2)				
概略系統					
<p>The diagram illustrates the emergency cooling system for the reactor building. It shows the flow of cooling water from the reactor building through various heat exchangers (A, B, C, D) and pumps (A, B, C, D) to the sea. Key components include the mobile temperature measurement device, mobile large water pump truck, and mobile nitrogen gas pump truck. Various valves are labeled with numbers such as ①#1 to ②#10.</p>					
操作対象機器					
操作手順番号	操作内容	操作対象機器	状態の変化	操作場所	備考
②	系統構成	C-原子炉補機冷却海水ポンプ	停止→起動	中央制御室	うち1台使用 交流電源
②		D-原子炉補機冷却海水ポンプ	停止→起動	中央制御室	
②		C-原子炉補機冷却水ポンプ	停止→起動	中央制御室	
②		D-原子炉補機冷却水ポンプ	停止→起動	中央制御室	
②#1		A-余熱除去冷却器補機冷却水出口弁	全閉確認	中央制御室	交流電源
②#2		B-余熱除去冷却器補機冷却水出口弁	全閉確認	中央制御室	交流電源
②#3		A-格納容器スプレイ冷却器補機冷却水出口弁	全閉確認	中央制御室	交流電源
②#4		B-格納容器スプレイ冷却器補機冷却水出口弁	全閉確認	中央制御室	交流電源
②#5	加圧操作準備	原子炉補機冷却水サージタンクペント弁	全閉確認	中央制御室	直流電源、制御用空気
②#6		ホース	ホース接続	原子炉建屋T.P.43.6m	-
②#7		配管	配管接続	原子炉建屋T.P.43.6m	-
②#8		原子炉補機冷却水サージタンク加圧用可搬型窒素ガスボンベ金弁	全閉→全開	原子炉建屋T.P.43.6m	-
②#9		原子炉補機冷却水サージタンク加圧用窒素供給パネル入口弁1	全閉→全開	原子炉建屋T.P.43.6m	-
②#10		原子炉補機冷却水サージタンク加圧用窒素供給パネル入口弁2	全閉→全開	原子炉建屋T.P.43.6m	-

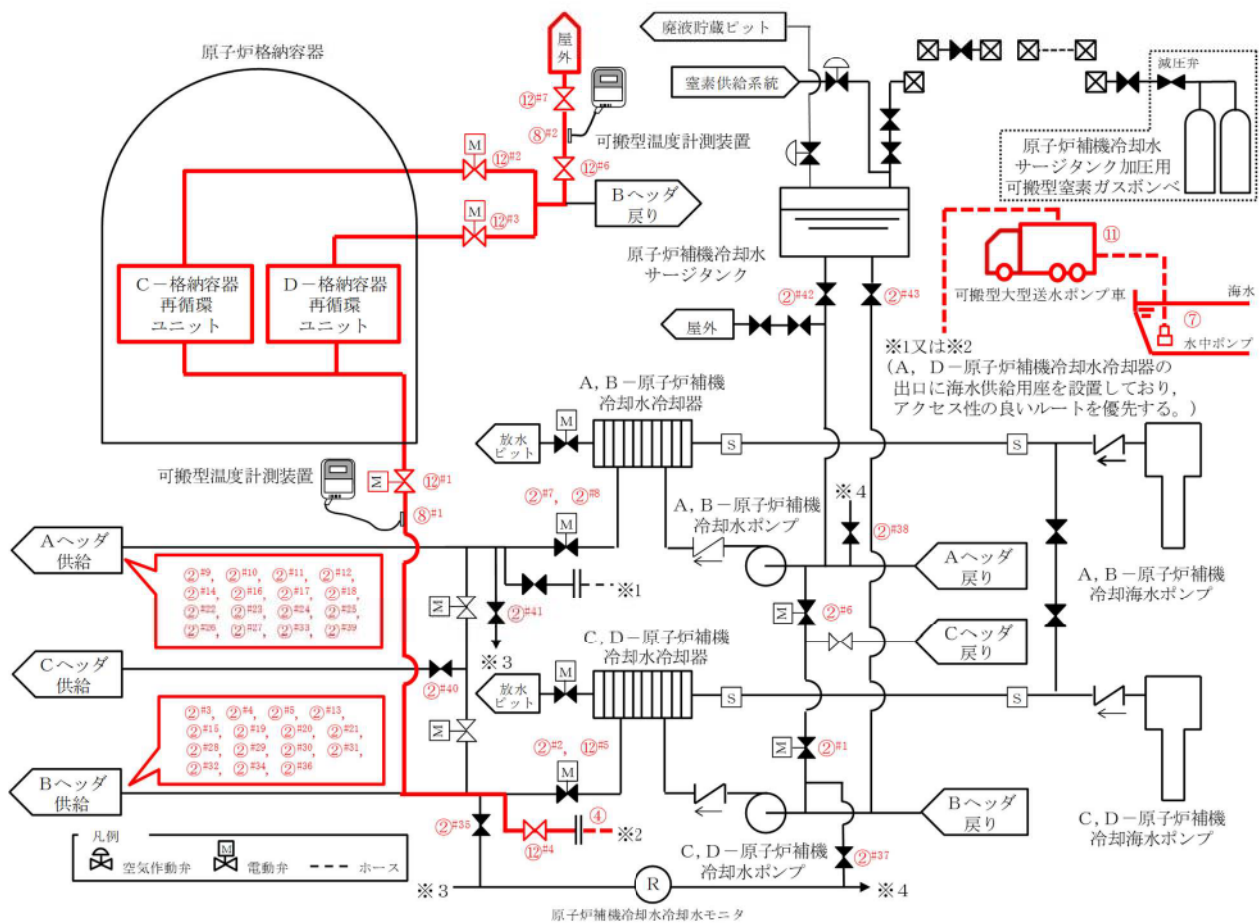
次頁へつづく

対応手段	1.7.2.1 交流動力電源及び原子炉補機冷却機能健全時の手順等 (2) 格納容器内自然対流冷却 a. C, D - 格納容器再循環ユニットによる格納容器内自然対流冷却 (2 / 2)				
操作手順番号	操作内容	操作対象機器	状態の変化	操作場所	備考
③ ^{#1} ③ ^{#2} ③ ^{#3} ③ ^{#4} ③ ^{#5} ③ ^{#6} ③ ^{#7} ③ ^{#8}	加圧操作	原子炉補機冷却水サービングタンク加圧用窒素供給パネル減圧弁	全閉→調整開	原子炉建屋T.P.43.6m	—
		原子炉補機冷却水サービングタンク加圧用窒素供給パネル出口弁	全閉→全開	原子炉建屋T.P.43.6m	—
		原子炉補機冷却水サービングタンク薬品添加口第2止め弁	全閉→全開	原子炉建屋T.P.43.6m	—
		原子炉補機冷却水サービングタンク薬品添加口第1止め弁	全閉→全開	原子炉建屋T.P.43.6m	—
		原子炉補機冷却水サービングタンク可搬型圧力計接続用配管窒素供給止め弁	全閉→調整開	原子炉建屋T.P.43.6m	—
		原子炉補機冷却水サービングタンク可搬型圧力計接続用配管窒素供給止め弁	調整開→全閉	原子炉建屋T.P.43.6m	—
		原子炉補機冷却水サービングタンク薬品添加口第1止め弁	全開→全閉	原子炉建屋T.P.43.6m	—
		原子炉補機冷却水サービングタンク薬品添加口第2止め弁	全開→全閉	原子炉建屋T.P.43.6m	—
⑤ ^{#1} ⑤ ^{#2} ⑤ ^{#3}	通水操作	C, D-C/V再循環ユニット補機冷却水入口C/V外側隔離弁	全閉→全開	中央制御室	交流電源
		C-C/V再循環ユニット補機冷却水出口C/V外側隔離弁	全閉→全開	中央制御室	交流電源
		D-C/V再循環ユニット補機冷却水出口C/V外側隔離弁	全閉→全開	中央制御室	交流電源

1 ~ : 同一操作手順番号内に複数の操作又は確認を実施する弁があることを示す。

対応手段	<p>1.7.2.2 全交流動力電源又は原子炉補機冷却機能喪失時の手順等</p> <p>(1) 格納容器内自然対流冷却</p> <p>a. 可搬型大型送水ポンプ車を用いたC, D-格納容器再循環ユニットによる格納容器内自然対流冷却(1/2)</p>
------	--

概略系統（Bトレイン接続口使用の場合）



操作対象機器（Bトレンド接続口使用の場合）

操作手順番号	操作内容	操作対象機器	状態の変化	操作場所	備考
② ^{#1}	系統構成	原子炉補機冷却水戻り母管B側連絡弁	全開→全閉	中央制御室	交流電源
② ^{#2}		C一原子炉補機冷却水冷却器補機冷却水出口弁	全開→全閉	中央制御室	交流電源
② ^{#3}		B一余熱除去冷却器補機冷却水出口弁	全閉確認	中央制御室	交流電源 Bヘッダ供給負荷
② ^{#4}		B一格納容器スプレイ冷却器補機冷却水出口弁	全閉確認	中央制御室	交流電源 Bヘッダ供給負荷
② ^{#5}		B一使用済燃料ビット冷却器補機冷却水入口弁	全開→全閉	中央制御室	交流電源 Bヘッダ供給負荷
② ^{#6}		原子炉補機冷却水戻り母管A側連絡弁	全開→全閉	中央制御室	交流電源
② ^{#7}		A一原子炉補機冷却水冷却器補機冷却水出口弁	全開→全閉	中央制御室	交流電源
② ^{#8}		B一原子炉補機冷却水冷却器補機冷却水出口弁	全開→全閉	中央制御室	交流電源
② ^{#9}		A一余熱除去冷却器補機冷却水出口弁	全閉確認	中央制御室	交流電源 Aヘッダ供給負荷
② ^{#10}		A一格納容器スプレイ冷却器補機冷却水出口弁	全閉確認	中央制御室	交流電源 Aヘッダ供給負荷
② ^{#11}		A一使用済燃料ビット冷却器補機冷却水入口弁	全開→全閉	中央制御室	交流電源 Aヘッダ供給負荷
② ^{#12}		A, B-C/V再循環ユニット補機冷却水入口C/V外側隔離弁	全開→全閉	中央制御室	交流電源 Aヘッダ供給負荷
② ^{#13}		格納容器界面気ガスサンプル冷却器補機冷却水入口弁	全開→全閉	原子炉建屋T.P. 24.8m	Bヘッダ供給負荷

次頁へつづく

対応手段	1.7.2.2 全交流動力電源又は原子炉補機冷却機能喪失時の手順等 (1) 格納容器内自然対流冷却				
	a. 可搬型大型送水ポンプ車を用いたC, D-格納容器再循環ユニットによる格納容器内自然対流冷却(2/2)				
操作手順番号	操作内容	操作対象機器	状態の変化	操作場所	備考
		A-サンブル冷却器補機冷却水入口弁	全開→全閉	原子炉建屋T.P. 17.8m	Aヘッダ供給負荷
		B-サンブル冷却器補機冷却水入口弁	全開→全閉	原子炉建屋T.P. 17.8m	Bヘッダ供給負荷
		B-充てんポンプ、電動機補機冷却水A供給ライン第1切替弁	全開→全閉	原子炉補助建屋T.P. 10.3m	Aヘッダ供給負荷
		B-充てんポンプ、電動機補機冷却水A供給ライン第2切替弁	全開→全閉	原子炉補助建屋T.P. 10.3m	Aヘッダ供給負荷
		A-充てんポンプ、電動機補機冷却水出口弁	全開→全閉	原子炉補助建屋T.P. 10.3m	Aヘッダ供給負荷
		B-充てんポンプ、電動機補機冷却水B供給ライン第1切替弁	全閉確認	原子炉補助建屋T.P. 10.3m	Bヘッダ供給負荷
		B-充てんポンプ、電動機補機冷却水B供給ライン第2切替弁	全閉確認	原子炉補助建屋T.P. 10.3m	Bヘッダ供給負荷
		C-充てんポンプ、電動機補機冷却水出口弁	全開→全閉	原子炉補助建屋T.P. 10.3m	Bヘッダ供給負荷
		B-高圧注入ポンプ、電動機補機冷却水出口弁	調整開→全閉	原子炉補助建屋T.P. -1.7m	Bヘッダ供給負荷
		B-高圧注入ポンプ、油冷却器補機冷却水出口弁	全開→全閉	原子炉補助建屋T.P. -1.7m	Bヘッダ供給負荷
		B-格納容器スプレイポンプ補機冷却水出口止め弁	全開→全閉	原子炉補助建屋T.P. -1.7m	Bヘッダ供給負荷
		B-余熱除去ポンプ、電動機補機冷却水出口弁	調整開→全閉	原子炉補助建屋T.P. -1.7m	Bヘッダ供給負荷
		B-余熱除去ポンプ、補機冷却水出口弁	調整開→全閉	原子炉補助建屋T.P. -1.7m	Bヘッダ供給負荷
		A-余熱除去ポンプ、電動機補機冷却水出口弁	調整開→全閉	原子炉補助建屋T.P. -1.7m	Aヘッダ供給負荷
		A-余熱除去ポンプ、補機冷却水出口弁	調整開→全閉	原子炉補助建屋T.P. -1.7m	Aヘッダ供給負荷
		A-格納容器スプレイポンプ電動機補機冷却水出口弁	調整開→全閉	原子炉補助建屋T.P. -1.7m	Aヘッダ供給負荷
		A-格納容器スプレイポンプ補機冷却水出口弁	調整開→全閉	原子炉補助建屋T.P. -1.7m	Aヘッダ供給負荷
		A-高圧注入ポンプ、電動機補機冷却水出口弁	調整開→全閉	原子炉補助建屋T.P. -1.7m	Aヘッダ供給負荷
		A-高圧注入ポンプ、油冷却器補機冷却水出口弁	全開→全閉	原子炉補助建屋T.P. -1.7m	Aヘッダ供給負荷
		A-制御用空気圧縮装置補機冷却水入口弁	全開→全閉	原子炉建屋T.P. 10.3m	Aヘッダ供給負荷
		B-制御用空気圧縮装置補機冷却水入口弁	全開→全閉	原子炉建屋T.P. 10.3m	Bヘッダ供給負荷
		原子炉補機冷却水モニタBライン入口止め弁	全開→全閉	原子炉建屋T.P. 2.3m中間	—
		C, D-原子炉補機冷却水ポンプ電動機補機冷却水出口弁	全開→全閉	原子炉建屋T.P. 2.3m中間	Bヘッダ供給負荷
		原子炉補機冷却水モニタBライン戻り弁	全開→全閉	原子炉建屋T.P. 2.3m中間	—
		原子炉補機冷却水モニタAライン戻り弁	全開→全閉	原子炉建屋T.P. 2.3m中間	—
		A, B-原子炉補機冷却水ポンプ電動機補機冷却水出口弁	全開→全閉	原子炉建屋T.P. 2.3m中間	Aヘッダ供給負荷
		C-原子炉補機冷却水供給管止め弁	全開→全閉	原子炉建屋T.P. 2.3m中間	—
		原子炉補機冷却水モニタAライン入口止め弁	全開→全閉	原子炉建屋T.P. 2.3m中間	—
		原子炉補機冷却水Aサージライン止め弁	全開→全閉	原子炉建屋T.P. 43.6m	—
		原子炉補機冷却水Bサージライン止め弁	全開→全閉	原子炉建屋T.P. 43.6m	—
④	原子炉補機冷却水系統のホース接続口と接続	ホース	ホース接続	原子炉建屋T.P. 2.3m	—
		ホース	ホース接続	屋外	—
		可搬型温度計測装置取付け	取付け	原子炉建屋T.P. 10.3m中間	—
		可搬型温度計測装置	取付け	原子炉建屋T.P. 17.8m	—
		可搬型大型送水ポンプ車起動	停止→起動	屋外	—
		C, D-C/V再循環ユニット補機冷却水入口C/V外側隔離弁	全閉→全開	中央制御室	交流電源
		C-C/V再循環ユニット補機冷却水出口C/V外側隔離弁	全閉→全開	中央制御室	交流電源
		D-C/V再循環ユニット補機冷却水出口C/V外側隔離弁	全閉→全開	中央制御室	交流電源
		D-原子炉補機冷却水冷却器出口海水供給ライン止め弁(S.A対策)	全閉→全開	原子炉建屋T.P. 2.3m	—
		D-原子炉補機冷却水冷却器補機冷却水出口弁	全閉→全開	中央制御室	交流電源
		C, D-格納容器再循環ユニット補機冷却水排水ライン止め弁(S.A対策)	全閉→全開	原子炉建屋T.P. 17.8m	—
		C, D-格納容器再循環ユニット補機冷却水排水ライン絞り弁(S.A対策)	全閉→調整開	原子炉建屋T.P. 17.8m	—
# 1～：同一操作手順番号内に複数の操作又は確認を実施する弁があることを示す。					